

SCIENTIFIC SERIES

784-ј
1988

ISSN—0132—6074



საქართველოს სსრ მეცნიერებათა აკადემიის მაცნე

ИЗВЕСТИЯ АКАДЕМИИ НАУК ГРУЗИНСКОЙ ССР

PROCEEDINGS OF THE ACADEMY OF SCIENCES
OF THE GEORGIAN SSR

197
197
784-ј.
ა მ ა მ ი
ს ე რ ი ა
СЕРИЯ
ХИМИЧЕСКАЯ

1988 N1

თბილისი ტბილისი - ТБИЛИСИ - VOL.
TBILISI

14



Известия Академии наук Азербайджанской ССР,
серия химическая, 1988, т. 14, № 1, 1—80



საქართველოს სსრ მეცნიერებათა აკადემიის გამცენტრ
ИЗВЕСТИЯ АКАДЕМИИ НАУК ГРУЗИНСКОЙ ССР

ე ფ ა ღ ი ს ხ ა რ ი ა СЕРИЯ ХИМИЧЕСКАЯ

ტომი 14, № 1
Том 14, № 1

ეჭრნალი დაარსდა 1975 წელს
Журнал основан в 1975 году

გამოცემა „მეცნიერება“ თაბილი
ИЗДАТЕЛЬСТВО «МЕЦНИЕРЕБА» ТБИЛИСИ 1988

რედაქციის მისამართი:

380060, თბილისი-60, კუტუზოვის ქ. 19, ოთახი 18
ტელ. 37-86-78

Адрес редакции:

380060, Тбилиси 60, Кутузова 19, комната 18
тел. 37-86-78

Корректор Н. Ахобадзе

Сдано в набор 18.11.1987; подписано к печати 11.02.1988; формат бумаги 70×108¹/₁₆; бумага № 1; высокая печать; усл. печ. л. 7,0; уч.-изд. л. 5,8;
УЭ 09654; тираж 1100; заказ 3796; цена 90 коп.

გამომცემლობა „მეცნიერება“, თბილისი, 380060, კუტუზოვის ქ., 19
Издательство «Мецниереба», Тбилиси, 380060, ул. Кутузова, 19

საქართველოს სსრ მეცნ. აკადემიის სტამბა, თბილისი, 380060, კუტუზოვის ქ., 19
Типография АН Грузинской ССР, Тбилиси, 380060, ул. Кутузова, 19

სარედაქციო კოლეგია

რ. აგლაძე, ა. ავალიანი, თ. ანდრონიკაშვილი (რედაქტორის მთადგილი), ფ. ბრუ-
უჩეკი (სწავლული მღივანი), ფ. თავაძე, ლ. მელიქაძე, ნ. ფირცხალავა,
ე. ქემერტელიძე, გ. ციცაშვილი (რედაქტორი), პ. ცისკარიშვილი, კ. ჭავარიძე
(რედაქტორის მთადგილი)

პასუხისმგებელი მდივანი ვ. შუბლაძე

РЕДАКЦИОННАЯ КОЛЛЕГИЯ

Р. И. Агладзе, А. Ш. Авалиани, Т. Г. Андronikashvili (зам. редактора),
Ф. И. Броучек (ученый секретарь), К. Г. Джапаридзе (зам. редакто-
ра), Э. П. Кемертелидзе, Л. Д. Меликадзе, Н. И. Пирцхалава, Ф. Н. Та-
вадзе, Г. В. Цицишвили (редактор), П. Д. Чискаришвили.

Ответственный секретарь В. В. Шубладзе

EDITORIAL BOARD

R. I. Agladze, A. Sh. Avaliani, T. G. Andronikashvili (Associate Editor),
F. I. Brouchek (Scientific Secretary), K. G. Japaridze (Associate Editor),
E. P. Kemertelidze, L. D. Melikadze, N. I. Pirtskhalava, F. N. Tavadze,
G. V. Tsitsishvili (Editor), P. D. Tsiskarishvili.

Executive Secretary V. V. Shubladze

ქურნალი გამოდის 3 თვეში ერთხელ
Журнал выходит раз в 3 месяца

შ 0 6 1 5 რ ს 0

პრაორგანული და ანალიზური ჩიმია

ა შ ლ უ მ ბ ე გ ა შ ვ ი ლ ი ვ., ო ს ტ რ ი უ მ ო ვ ი ე., მ ი ქ ა ძ ე შ. კ ა ლ ს დ ა ც ი-
ლ ე ბ ა ბ ე რ ი ლ ი უ მ ი ს, უ რ ა ნ ი ს, ს კ ა ნ დ ი უ მ ი ს, ი შ ვ ი ა თ მ ი წ ა თ ა ე ლ ე მ ე ნ ტ ე ბ ი ს ა დ ა 10
უ მ ი ს ა გ ა ნ - ც ი ნ ა მ თ ი ლ ფ ე ნ ი ლ ი დ რ ი ს ი ლ ა მ ი ნ ი თ
გ ა ფ რ ი ნ დ ა შ ვ ი ლ ი ვ., წ ყ ა ლ ი ბ ა ძ ე ლ. კ ა ღ მ ი უ მ ი ს დ ი ე თ ი ლ დ ი თ ი კ ა რ ბ ა-
მ ა ტ ი დ ა ნ კ ა ღ მ ი უ მ ი ს ს უ ლ ფ ი დ ი ს თ ხ ე ლ ი ფ ე ნ ი ს გ ა მ ო ლ ე ჭ ვ ა 16
ტ ი რ ი რ ი ნ გ ა ძ ე ლ., ი კ ა მ ო ვ ი ვ. ა ნ ჯ ა ფ ა რ ი ძ ე ლ. ქ ს ი ლ ე ნ ი ლ ი ს ნ ა რ ი ნ ჭ ი თ
ბ ი ს მ შ უ ტ ი ს ფ ი რ მ ე ტ რ ი უ ლ ი გ ა მ ა ს ზ ლ ე რ ი ს მ ე თ ი დ ი ს ა ხ ა ლ ი ვ ა რ ი ა ნ ტ ი 20

ო რ გ ა ნ უ ლ ი ჩ ი მ ი ა

ჩ ი ვ ა ძ ე გ., შ ე წ ი რ უ ლ ი გ. პ რ ი პ ი ლ ე ნ ი ს უ ა ნ გ ვ ი თ ი ა მ ი ნ ი ლ ი ზ ი მ ი ს მ ი ლ ი ფ ა ც ი რ ე-
ბ უ ლ კ ა ლ ი ნ პ ტ ი ლ ი ლ ი ს ტ ე 10
კ უ პ რ ა შ ვ ი ლ ი ბ., მ ე ლ ი ძ ე ბ ე ლ., კ ა მ ი ა ნ ვ ი ვ. ფ ი ს ვ ა ნ ნ ი ვ თ ი ე რ ე ბ ა-
თ ა ფ ი რ ე მ ი უ რ ი გ ა რ დ ა ჭ მ ი ნ ი ს პ რ ი ლ უ ქ ე ტ ე ბ ი ს პ მ რ - ს პ ე ქ ე ტ რ უ ლ ი ა ნ ა ლ ი ზ ი 24
28

ფ ი ზ ი დ ი პ უ რ ი ჩ ი მ ი ა

ტ ა ბ ა შ ი ძ ე ნ., ს ე მ ი ა გ., ტ ე პ ლ ი ც კ ა ზ ა თ. ა ლ კ ი ლ - დ ა ა რ ი ლ - ჩ ა მ ნ ა ც ე ლ ე ბ-
ლ ე ბ ი ს გ ა ვ ლ ე ნ ა ფ ე ნ ა ნ ტ რ ე ნ უ ლ ი ნ ა ხ შ ი რ წ ყ ა ლ ბ ა დ ე ბ ი ს შ თ ა ნ ტ ე მ ი ს ე ლ ე ქ ტ რ ი ნ უ ლ
ს პ ე ქ ე ტ რ ე ბ ზ ე 34
ა ნ ე ლ ი გ., თ ა ფ ჩ ი ა შ ვ ი ლ ი გ. ნ ა ხ ე ვ რ ა დ ა მ ტ ა რ უ ლ ი თ ვ ი ს ე ბ ე ბ ი ს შ ე წ ი ნ ე მ ა-
ლ ა ლ მ ი დ ე კ უ ლ უ რ ი შ ე ნ ა ე რ ი ს წ ა რ მ ი ქ მ ი ს მ ა ღ ა ლ ი წ ი ნ ე ვ ი ს პ ი რ ი ბ ე ბ ი ს პ ი ლ ი ქ-
ლ ი რ ბ უ ტ ა დ ე ნ ი ს პ ი ლ ი მ ე რ ი ზ ა ც ი ს დ რ ი ს 37
ა ვ ა ლ ი ა ნ ი ა., ხ ა რ ჩ ი ლ ა ძ ე ი., ჯ მ უ ხ ა ძ ე ზ. ე ლ ე ქ ტ რ ი ლ ი ზ ი ს პ რ ი ც ე ს ი ს
პ ი რ ი ბ ე ბ ი ს გ ა მ კ ვ ლ ე ვ ა ს ი ს ტ ე მ ა შ ი Cu-Al-Ca|CaCl₂, NaCl|Cl₂(C) 41
ს ა რ უ ხ ა ნ ი შ ვ ი ლ ი ა., მ ი ნ დ ი ნ ი ვ., გ ა ლ უ ა შ ვ ი ლ ი ე., ზ ე ვ ი ნ ი გ.
კ უ რ ე ბ ი ს კ ა თ ა მ ე ტ რ ე ბ ი ს გ ა ა ნ გ ა რ ი შ ე ბ ა ნ. ლ ა ნ დ ი ა ს ა ლ გ ო რ ი თ მ ი ს ს ა ფ უ ქ ე ლ ი ნ 46
გ ა ნ ბ ი ძ ე მ., ლ ა ჭ ა ვ ა ნ. ქ რ ი მ ა ტ რ ი გ რ ა ზ ი უ ლ ი მ ე თ ი დ ი თ ნ ა ვ ე რ ი დ ა უ ნ ა ვ ე რ ი
(C₁-C₄) ნ ა ხ შ ი რ წ ყ ა ლ ბ ა დ ე ბ ი ს ნ ა რ ე ვ ი ს დ ა ყ ა ფ ი ა უ ლ ტ რ ა ს ი ლ ზ ე 51

ტ ე რ ი ლ ი გ ი ბ ი ა

ა გ ლ ა ძ ე რ., შ ე ნ გ ე ლ ი ა გ. დ ე ლ ი ბ ა შ ვ ი ლ ი ს. მ ა ნ გ ა ნ უ მ ი ს ო ქ ს ი ღ უ რ ი
მ ა ნ გ რ ე ბ ი ს კ ა თ ა მ ე ტ რ ე ბ ი ა ღ დ ე გ რ ე ნ ა რ ი ნ ი ს ი ნ ე ნ ბ ი ს შ ე მ ც ე ლ ე გ რ ი რ დ მ ჟ ა ვ ა ბ ე ს ა რ ე ბ შ ი 57
მ თ დ ე ბ ა ძ ე რ., ვ ა ს ე რ მ ა ნ ი ი. მ ი ნ ე ბ ი ს პ ი ლ ე ნ დ თ ა ნ, ვ ე რ ც ხ ლ თ ა ნ დ ა ნ კ ე ლ ა ნ
მ ი ს ა რ ჩ ი ღ ლ ა ვ ა დ 63

მ ი კ ლ ი ვ ა მ ი კ ლ ი ვ ა დ

ვ ა რ დ ი ს ა ნ ი ძ ე გ., ჩ ა ჩ უ ა ნ., ჭ ი რ ა შ ე ძ ე გ. ს ი ლ ი ც ი უ მ შ ე მ ც ე ლ ი ა ზ ი-
ს ა ლ ე ბ ი ს რ ა ღ ი ა ც უ ლ - ქ ი მ ი ს უ რ ი ბ ი ს გ ა რ დ ა შ ე ნ ე ბ ი 66
ს ა ყ ვ ა რ ე ლ ი ძ ე თ. ო რ გ ა ლ ე ნ ტ ა ნ ი ნ კ ა ბ ა ლ ტ ი ს ა დ ა ნ ი ე ლ ი ს კ ა მ ბ ლ ე ქ ს ა ე რ თ ე ბ ი 70
პ ი ს ტ რ ი დ ი ნ ი ს ა ზ ი მ ე თ ი ნ უ რ ნ ა წ ა რ ა მ ე ბ თ ა ნ 72
გ ვ ა რ დ წ ი თ ე ლ ი მ., დ ე ვ დ ა რ ი ა ნ ი რ. ტ რ ი ა ლ უ ლ ი პ რ ი ტ რ ი რ ი პ უ ლ ი ტ ა უ ტ ი-
შ ე რ ი ზ ა ც ი ს ფ უ რ მ ა ლ უ რ - ა ლ ვ ე ბ რ უ ლ ი დ ა ხ ა ს ი თ ე ბ ა 72
ა ლ ა ნ ი ა. ც ი კ ლ ი გ ა ლ ე გ ი ნ ი დ A-ს მ ი ღ ბ ა Astragalus Falcatus Lam-დ ა 72
ა ბ უ ლ ა ძ ე მ., ბ ე ჭ ა რ ა შ ვ ი ლ ი გ., ძ ო წ ე ნ ი ძ ე ზ., ლ ო რ თ ე ი ფ ა ნ ი ძ ე დ 76
მ ა მ ა გ უ ლ ა შ ვ ი ლ ი ვ. წ ყ ა ლ ბ ა დ ი ს ა ლ ი ს პ ე ტ ე რ ი გ ე ნ უ ლ ი ი ნ კ ი ბ ი რ ე ბ ა
გ ვ ა რ დ წ ი თ ე ლ ი დ., ბ ა რ ა ბ ა ძ ე შ. 2-მ ე თ ი ლ ნ ა ფ ტ ა ლ ი ნ ი ს ც ი კ ლ ი ა ლ ე კ ი ლ ი რ ე-
ბ ა 2,5-დ ი ქ ლ ი რ - 2,5-დ ი მ ე თ ი ლ ჭ ე ქ ს ა ნ ი თ 79

СОДЕРЖАНИЕ

НЕОРГАНИЧЕСКАЯ И АНАЛИТИЧЕСКАЯ ХИМИЯ

Кулумбагашвили В. А., Остроумов Э. А., Микадзе Ш. Г. Отделение олова от бериллия, урана, скандия, РЭ и иттрия при помощи N-циннамоилфенилгидроксиламина	7
Гаприндашвили В. Н., Цкаlobadze M. A. Осаждение тонких пленок сульфида кадмия из диэтилдитиокарбамата кадмия	12
Торонджадзе Д. Д., Акимов В. К., Анджапаридзе Д. И. Новый вариант фотометрического определения висмута с помощью ксиленолового оранжевого	18

ОРГАНИЧЕСКАЯ ХИМИЯ

Чивадзе Г. О., Шецирули Г. И. Окислительный аммонолиз пропилена на модифицированном клиноптиолите	22
Купрашвили Б. Г., Меликадзе Л. Д., Камьянин В. Ф. ПМР-спектральный анализ продуктов фотохимических превращений смолистых веществ	26

ФИЗИЧЕСКАЯ ХИМИЯ

Табашидзе Н. И., Семья Г. В., Теплицкая Т. А. Влияние алкил- и арилзамещения на электронные спектры поглощения фенантреновых углеводородов	30
Анели Д. Н., Топчиашвили М. И. Образование высокомолекулярного соединения с полупроводниковыми свойствами при полимеризации полихлорбутадиена под высоким давлением	35
Авалиани А. Ш., Харчиладзе И. В., Джмухадзе З. Д. Исследование условий электролиза в системе Cu-Al-Ca CaCl ₂ , NaCl Cl ₂ (C)	38
Саруханишвили А. В., Миндин В. Ю., Галуашвили Ж. С., Зевин М. Я. Расчет термодинамических параметров инконгруэнто и конгруэнто плавящихся силикатов на основе алгоритма Н. А. Ландия	42
Кобидзе М. Н., Гачава Н. С. Хроматографическое разделение смесей предельных и непредельных углеводородов (C ₁ —C ₄) на ультрасиле	48

ТЕХНОЛОГИЯ

Агладзе Р. И., Шенгелия Дж. Г., Делибашвили С. В. Катодное восстановление оксидных марганцевых руд в сернокислых растворах, содержащих ионы железа	53
Модебадзе О. Е., Вассерман И. Э. Стекла для спайвания с медью, серебром и никелем	59

КРАТКИЕ СООБЩЕНИЯ

Вардосанидзе Г. О., Чачуа Н. Д., Чиракадзе Г. Г. Радиационно-химические превращения кремнийсодержащего азокрасителя	65
Сакварелидзе Т. Н. Комплексные соединения двухвалентных кобальта и никеля с азометиновыми производными гистидина	68
Гвердцители М. И., Девдариани Р. О. Формально-алгебраическая характеристика триадной прототропной таутомерии	71
Алания М. Д. Циклогалегинозид А из <i>Astragalus Falcatus</i> Lam.	73
Абуладзе М. К., Безарашвили Г. С., Дзоценидзе З. Г., Лордкипанидзе Д. Н., Мамагулашвили В. Г. Гетерогенное ингибиование пламени водорода	75
Гвердцители Д. Д., Барабадзе Ш. Ш. Циклоалкилирование 2-метилнафталина 2,5-дихлор-2,5-диметилгексаном	78

C O N T E N T S

INORGANIC AND ANALYTICAL CHEMISTRY

Kulumbegashvili V. A., Ostroumov E. A., Mikadze Sh. G. Isolation of tin from berilium, uranium, scandium, rare-earth elements, and yttrium by N-cinnamoylphenylhydroxylamine	10
Gaprindashvili V. N., Tskalobadze L. A. Deposition of CPS thin films from cadmium diethyldithiocarbamate	17
Toronjadze D. D., Akimov V. K., Anjaparidze P. I. A new variant of photometric determination of bismuth by means of xylenol orange	20

ORGANIC CHEMISTRY

Chivadze G. O., Shetsiruli G. I. Oxidative ammonolysis of propylene on modified clinoptilolite	25
Kuprashvili B. G., Melikadze L. D., Kamyanov V. P. The PMR spectral analysis of the products of photometrical conversion of resinous compounds	29

PHISICAL CHEMISTRY

Tobashidze N. I., Sem'ya G. V., Teplitskaya T. A. The effect of alkyl- and aryl- substitution on electron absorption spectra of phenanthrene hydrocarbons	34
Aneli D. N., Topchiashvili M. I. Production of a high-molecular compound with semiconducting properties by polymerization of polychlorbutadiene under high pressure	37
Avaliani A. Sh., Kharchiladze I. V., Jmukhadze Z. D. Studies of electrolysis conditions in the Cu-Al-Ca/CaCl ₂ , NaCl/Cl ₂ (C) system	41
Sarukhanishvili A. V., Mindin V. Yu., Galuashvili Zh. S., Zevin M. Y. Computation of thermodynamic parameters for congruently and incongruently fusing silicates on the basis of Landia's algorithm	47
Kobidzé M. N., Gachava N. S. Chromatographic separation of saturated and unsaturated (C ₁ —C ₇) hydrocarbon mixtures on ultrasil	51

TECHNOLOGY

Agladze R. I., Shengelia J. G., Delibashvili S. V. Cathodic reduction of manganese oxides ores in sulphate solutions containing iron ions	57
Modebadze O. E., Vasserman I. E. Glasses for sealing with copper, silver, nickel and aluminium	64

SHORT COMMUNICATIONS

Vardosanidze G. O., Chachua N. D., Chirakadze G. G. Radiation chemical transformations of silicon containing azoic dye	67
Sakvarelidze T. N. Complex compounds of bivalent cobalt and nickel with azomethine derivatives of histidine	70
Gverdtsiteli M. I., Devdariani R. O. Formal-algebraic characterization of the triad prototropic tautomerism	72
Alania M. D. Cyclogaleginoside A from <i>Astragalus falcatus</i> Lam.	74
Abuladze M. K., Bezarashvili G. S., Dzotsenidze Z. G., Lordkipanidze D. N., Mamagulashvili V. G. Heterogeneous inhibition of hydrogen flame	76
Gverdtsiteli D. D., Barabade Sh. Sh. Cycloalkylation of 2-methylnapthalene by 2,5-dichloro-2,5-dimethylhexane	79

НЕОРГАНИЧЕСКАЯ И АНАЛИТИЧЕСКАЯ ХИМИЯ

УДК 543.21

В. А. КУЛУМБЕГАШВИЛИ, Э. А. ОСТРОУМОВ, Ш. Г. МИКАДЗЕ

ОТДЕЛЕНИЕ ОЛОВА ОТ БЕРИЛЛИЯ, УРАНА, СКАНДИЯ, РЗЭ
И ИТТРИЯ ПРИ ПОМОЩИ
N-ЦИННАМОИЛФЕНИЛГИДРОКСИЛАМИНА

В настоящее время для определения олова предложено большое количество реагентов. Природные и технологические материалы по содержанию олова и сочетанию его с другими элементами настолько разнообразны, что при анализе этих объектов встречается целый ряд сложных задач, решение которых существующими методами затруднено. Поэтому целесообразно развитие исследований, направленных на разработку методов анализа с применением новых реагентов.

С этой целью мы поставили задачу изучить возможность осаждения, отделения и определения олова при помощи одного из производных фенилгидроксиламина — N-циннамоилфенилгидроксиламина (ЦФГА). На основе исследования взаимодействия ЦФГА с ионами олова (II, IV) были установлены: оптимальные условия и влияние различных факторов на количественное осаждение олова; состав образующегося соединения, соответствующий формуле $(C_{15}H_{12}O_2N)_2SnCl_2$, и разработан новый метод гравиметрического определения олова и отделения его от марганца, никеля, кобальта, цинка, алюминия, хрома и меди [1].

В предлагаемой статье приводятся результаты исследования по отделению олова от бериллия, урана (VI), редкоземельных элементов и постоянно сопутствующего им иттрия, а также скандия, который часто встречается в природных соединениях вместе с РЗЭ, особенно с иттриевой подгруппой.

Реакции ионов бериллия, урана (IV), скандия, РЗЭ и иттрия с ЦФГА ранее не изучались. Относительно урана (VI) имеются качественные данные, где отмечено, что при pH 7 он образует осадок оранжево-красного цвета [2].

Нами установлено, что в оптимальных условиях количественного осаждения олова (II, IV) бериллий, уран (VI), скандий, РЗЭ и иттрий ЦФГА не осаждаются. Это свойство мы использовали для отделения олова от указанных элементов. Необходимо было определить величину сорбции бериллия, урана, скандия, РЗЭ и иттрия осадком олова, т. е. установить степень загрязнения осадка олова примесями отделяемых элементов и подобрать условия количественного разделения.

Для проведения опытов были приготовлены стандартные растворы хлорида олова (II, IV), бериллия, уранила, скандия. Раствор хлорида олова готовили растворением металлического олова в HCl, а хлоридов бериллия и уранила из солей $BeCl_2 \cdot 4H_2O$ и $UO_2Cl_2 \cdot H_2O$; хлорида скандия — растворением Sc_2O_3 в HCl. Растворы хлоридов РЗЭ и иттрия готовили из препаратов суммы их окислов, обогащенных цериевой группой — $\sum TR_{Ce}$ (получена из монацита) и обогащенных иттриевой группой — $\sum TR_y$ (из ксенотитма); состав препаратов указан в таблице 1. Навески препаратов растворяли в HCl при нагревании, Ce (IV) восстанавливали до Ce (III) этанолом. Все металлы,

окислы и соли были квалификации х.ч. или ч.д.а.; навески брали с таким расчетом, чтобы концентрация растворов была ~ 1 мг/мл, считая на оксиды. Титры устанавливали гравиметрически, для опытов брали точно отмеренные объемы. В качестве реагента применяли 2%-ный раствор ЦФГА в этаноле. Растворимость ЦФГА в этаноле при 18° составляет 0,97 г в 100 мл [2]. Однако при нагревании до $\sim 50^\circ$ растворимость ЦФГА значительно увеличивается и можно получить 2%-ный раствор, который после охлаждения до комнатной температуры в течение 4—5 час не выделяет кристаллы. В случае выделения кристаллов реагент вновь подогревают на водяной бане до растворения, используя раствор после охлаждения. pH растворов измеряли на приборе pH-673 М.

Таблица 1

Состав суммы цериевых и иттриевых земель

TR	Состав, %	
	Σ TRCe (из монацита)	Σ TRY (из ксенотима)
La ₂ O ₃	16,6	5,2
CeO ₂	34,8	6,4
Pr ₆ O ₁₁	2,6	3,7
Nd ₂ O ₃	13,4	3,4
Sm ₂ O ₃	4,1	2,9
Eu ₂ O ₃	0,9	0,1
Gd ₂ O ₃	5,1	2,0
Tb ₂ O ₃	1,5	1,9
Y ₂ O ₃	12,3	24,4
Dy ₂ O ₃	3,7	3,0
Ho ₂ O ₃	0,5	20,5
Er ₂ O ₃	2,3	15,8
Tm ₂ O ₃	0,2	4,2
Yb ₂ O ₃	1,7	0,8
Lu ₂ O ₃	0,2	5,8
	99,9	100,1

Для выяснения вопроса о возможности отделения олова от бериллия, урана, скандия, РЗЭ и иттрия были поставлены опыты в следующих условиях: в растворах объемом ~ 100 мл, содержащих олово и отделяемые элементы в различных весовых соотношениях, прибавлением HCl устанавливали pH 0,4—0,5, нагревали до ~ 60 — 70° и осаждали олово прибавлением по каплям при постоянном помешивании 2%-ного этанольного раствора ЦФГА с таким расчетом, чтобы на каждые ~ 10 мг SnO₂ приходилось не менее 6 мл реагента. После осаждения стаканы помещали на кипящую водяную баню и периодически перемешивали до полной коагуляции осадка (10—15 мин), затем стаканы отставляли и после охлаждения до комнатной температуры осадки отфильтровывали на фильтрах «синяя лента», промывали ~ 100 — 150 мл 0,3 н HCl и в конце — водой до полного удаления хлор-ионов. Фильтры с осадками переносили во взвешенные фарфоровые тигли, слегка подсушивали, смачивали несколькими каплями H₂SO₄ (1:1), высушивали, обугливали, озоляли на электроплитке и прокаливали в муфельной печи при $\sim 100^\circ$ до постоянного веса SnO₂. Результаты опытов приведены в таблице 2. Весовые количества, полученные при опытах, были вполне удовлетворительными и отличались от взятых в пределах точности взвешивания, т. е. увеличения веса за счет загрязнения осадка примесью отделяемых элементов не наблюдалось. Для установления степени возможного загрязнения, проявленные препараты диоксида олова из тиглей переносили в фарфоровые лодочки, помещали в кварцевую трубку и в токе водорода при нагревании восстанавливали диоксид олова до металла. Содержание олова в восстановленном диоксиде олова было в пределах точности взвешивания.

Для установления степени возможного загрязнения, проявленные препараты диоксида олова из тиглей переносили в фарфоровые лодочки, помещали в кварцевую трубку и в токе водорода при нагревании восстанавливали диоксид олова до металла. Содержание олова в восстановленном диоксиде олова было в пределах точности взвешивания.

мое лодочек переносили в стаканы, растворяли при нагревании в HCl с прибавлением HNO_3 и, продолжая нагревание, небольшими порциями прибавляли бром до полной отгонки олова. В растворах проводили фотометрическое определение соответствующих отделяемых элементов. Скандиний определяли ализариновым красным С [3], бериллий, уран, редкоземельные элементы с иттрием — при помощи арсена-назо 1; бериллий — при pH 6 в среде цитратного буферного раствора [4], при определении урана в качестве буфера применяли 25%-ный раствор уротропина [5], сумму редкоземельных элементов с иттрием — при pH 7,2 в среде триэтаноламинного буфера [6].

Результаты опытов по отделению олова от бериллия, урана, скандия, РЗЭ и иттрия (табл. 2) показывают, что уже при однократном

Таблица 2

Отделение олова от бериллия, урана, скандия и редкоземельных элементов с иттрием

Взято, мг	SnO_2 , мг		Найдены примеси в осадке олова, мг	Взято, мг	SnO_2 , мг		Найдены примеси в осадке олова, мг
	найдено	ошибка			найдено	ошибка	
SnO_2	BeO			BeO	SnO_2	U_3O_8	
1,0	100,0	1,0	0,0	0,008	1,0	100,0	1,1
4,9	50,0	4,9	0,0	0,004	4,9	50,0	4,9
9,8	10,0	9,9	+0,1	0,002	9,8	10,0	9,8
29,4	1,0	29,4	0,0	0,002	29,4	1,0	29,3
	Sc_2O_3			Sc_2O_3	$\Sigma \text{TR}_{\gamma}$		$\Sigma \text{TR}_{\gamma}$
1,0	100,0	0,9	-0,1	0,003	1,0	100,0	1,0
4,9	50,0	4,9	0,0	0,002	4,9	50,0	4,9
9,8	10,0	9,9	+0,1	0,002	9,8	10,0	9,6
29,4	1,0	29,4	0,0	0,001	29,4	1,0	29,4
	ΣTRGe			ΣTRGe			
1,0	100,0	1,1	+0,1	0,005			
4,9	50,0	5,0	+0,1	0,005			
9,8	10,0	9,8	0,0	0,005			
29,4	1,0	29,2	-0,2	0,005			

осаждении ЦФГА количественно отделяет олово от указанных элементов, степень загрязнения осадка олова примесями отделяемых элементов не выходит за пределы микрограммовых количеств, что свидетельствует о высокой эффективности разделения. Фильтраты после отделения олова можно упарить до малого объема, разрушить органические вещества обработкой смесью $\text{HNO}_3 + \text{H}_2\text{SO}_4$ и после разбавления водой и нейтрализации аммиаком осаждать и определять бериллий, уран, скандий или сумму РЗЭ с иттрием при помощи коричной кислоты или коричнокислого аммония [7].

Таким образом из кислых растворов (pH 0,3—1,0) ЦФГА количественно осаждает олово (II, IV) в виде $(\text{C}_{15}\text{H}_{12}\text{O}_2\text{N})_2\text{SnCl}_2$ и при этом позволяет отделить его от бериллия, урана (VI), скандия, РЗЭ и иттрия (а также от марганца, никеля, кобальта, цинка, алюминия, хрома и меди).

Выполнение определения. Осаждение олова (II) и олова (IV) следует вести из солянокислых растворов pH 0,4—0,5. В объеме раствора ~ 100 мл содержание олова не должно превышать 30 мг SnO_2 и на каждые ~ 10 мг SnO_2 для осаждения следует применять по 6 мл 2%-ного раствора ЦФГА в этаноле (при содержании менее 10 мг SnO_2 для полного осаждения необходимы те же 6 мл реагента). Раствор, содержащий олово и отделяемые от него элементы, разбавляют



водой до \sim 100 мл, устанавливают pH 0,4—0,5, нагревают \sim 60—70° и по каплям при постоянном перемешивании приливают HCl до необходимое количество реагента, для коагуляции образующегося осадка стакан переносят на водяную баню на 10—15 мин, периодически перемешивая. Затем стакан снимают с бани и после охлаждения до комнатной температуры осадок отфильтровывают на фильтре «синяя лента», промывают \sim 100—150 мл \sim 0,4 н HCl водой до удаления хлор-ионов. Фильтр с осадком переносят во взвешенный фарфоровый тигель, подсушивают, смачивают несколькими каплями H_2SO_4 (1:1), высушивают, озолят и прокаливают при \sim 1000° до постоянного веса SnO_2 . Метод отделения и определения олова можно рекомендовать для применения при анализе природных и технологических материалов, содержащих 1—99% олова. Погрешность метода с применением ЦФГА находится в пределах, принятых для гравиметрических методов анализа. Метод характеризуется относительным стандартным отклонением, не превышающим 0,03%.

Тбилисский государственный университет
Институт океанологии
им. П. П. Ширшова АН СССР

Поступило 12.04.1985

8. კულტმებაგავილი, 9. ოსტროუმოვი, შ. მიქაძე

კალას დაცილება ბერილიუმის, ურანის, სკანდიუმის, იაზინათმიჯათა ელემენტებისა და იტრიუმისაგან N-ცინამილფენილჰიდროამინით

რეზიუმე

მარილმჟავა ხსნარებიდან (pH 0,3—1,0) N-ცინამოილფენილჰიდროამინი (ცფჰა) რაოდენობრივად ლექას კალას ($\text{C}_{15}\text{H}_{12}\text{O}_2\text{N}_2\text{SnCl}_2$) და რაოდენობრივად აცილებს მას ბერილიუმის, ურანის, სკანდიუმის, იაზინათმიჯათა ელემენტებისა და იტრიუმისაგან. შემუშავებულია აღნიშნული ელემენტების თანაობისას კალას გრავირეტრული განსაზღვრის ახალი მეთოდი.

განსაზღვრის შედეგების ფარდობითი სტანდარტული გადახრა არ აღემატება 0,03%-ს.

V. A. KULUMBEGASHVILI, E. A. OSTROUMOV, Sh. G. MIKADZE

ISOLATION OF TIN FROM BERILIUM, URANIUM, SCANDIUM, RARE-EARTH ELEMENTS, AND YTTRIUM BY N-CINNAMOYLPHENYL-HYDROXYLAMINE

Summary

Tin is precipitated from hydrochloric acid solutions (pH 0,3—0,4) by N-cinnamoylphenylhydroxylamine (CPHA), the corresponding formula being $(\text{C}_{15}\text{H}_{12}\text{O}_2\text{N})_2\text{SnCl}_2$. At pH 0,4—0,5 tin can be precipitated and isolated from berillium, uranium (VI), scandium, rare-earth elements, and yttrium. A gravimetric method for determination of tin in the presence of these elements has been developed.



A solution containing not more than 30 mg of SnO_2 is deluted by water to the volume—100 ml, while adjusting pH 0.4÷0.5 and heated 60÷70°C, then 20 ml of 2% CPHA solution is dropwise added while stirring. The precipitate is placed on a waterbath (coagulation), cooled, filtered with „paper filter“, washed with 150 ml of 0.3N HCl and water till chlorine ions are removed. The precipitate in a porcelain crucible is dried, made wet by H_2SO_4 , ashed and then calcinated to the constant weight of SnO_2 . Relative standard deviation is not more than 0.03%.

ЛІТЕРАТУРА — REFERENCES

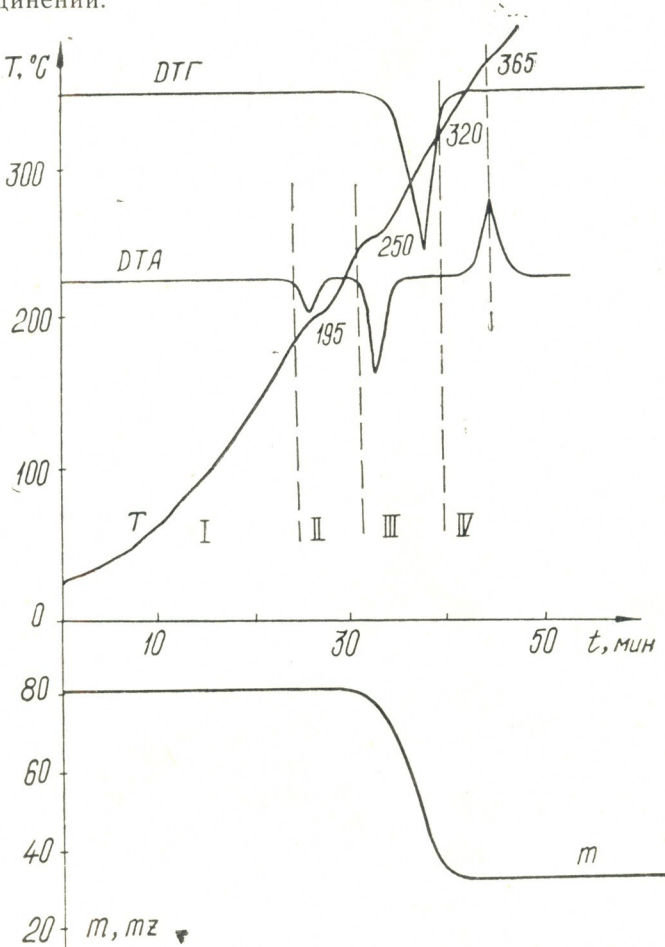
1. Кулумбагашвили В. А., Остроумов Э. А. Сб.: Химический анализ морских осадков, М.: Наука, 1980, с. 83.
2. Жаровский Ф. Г., Сухомлин Р. И. Укр. хим. журн., 1964, т. 30, 750.
3. Ebeli A. R., Lergn M. W. Analyt. Chem., 1955, v. 27, № 10, 1551.
4. Кузнецов В. И. Ж. аналит. химии, 1955, т. 10, вып. 5, 276.
5. Марков В. К., Виноградов А. В., Елинсон С. В., Клыгин А. Е., Монсеев В. К. Уран, методы его определения, М.: Атомиздат, 1960, с. 190—193.
6. Зайковский Ф. В., Башмакова В. С. Ж. аналит. химии, 1959, т. 14, вып. 1, 50.
7. Остроумов Э. А., Волков И. И. Применение коричной кислоты в аналитической химии, М.: Наука, 1969, с. 43—72.

УДК 541.135.6

В. Н. ГАПРИНДАШВИЛИ, Л. А. ЦКАЛОБАДЗЕ

ОСАЖДЕНИЕ ТОНКИХ ПЛЕНОК СУЛЬФИДА КАДМИЯ ИЗ ДИЭТИЛДИТИОКАРБАМАТА КАДМИЯ

Анализ химических методов [1—5] нанесения тонких фоточувствительных пленок на поверхность различных материалов указывает на преимущество метода осаждения пленок из хелатных металлоорганических соединений.



1. Термограмма диэтилдитиокарбамата кадмия

Преимущества этого метода заключаются в том, что он позволяет получать фоточувствительные слои, удовлетворяющие как физическим, так и технологическим требованиям.

В настоящей работе приводятся результаты исследования нанесения на поверхность стекла пленки сульфида кадмия, которая по физи-

ческим свойствам является наиболее подходящей для изготовления фоторезисторов.

В качестве исходного реагента испытан диэтилдитиокарбамат кадмия. Для получения последнего использованы диэтилдитиокарбамат натрия (NaDDK) и хлорид кадмия марки ч.д.а.

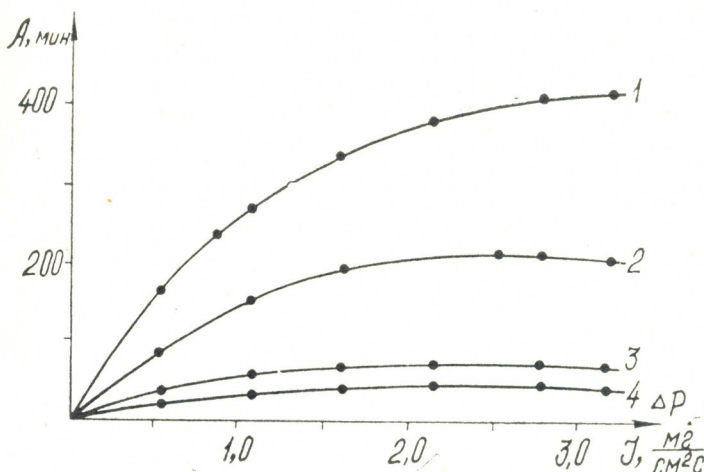
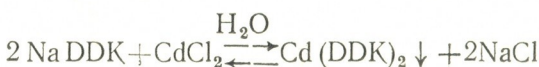


Рис. 2. Изотермы скорости нанесения слоя сульфида кадмия: 1—310°; 2—200°—(из раствора ВКС); 3—310°; 4—200°—(из пара ВКС)

NaDDK·3H₂O первоначально подвергается экстракционной очистке от примеси меди посредством четыреххлористого углерода до содержания меди $1 \cdot 10^{-5}$ г/см³. Путем обменной реакции в водном растворе диэтилдитиокарбамата натрия (0,02 М) и хлорида кадмия (0,01 М) в соответствии со стехиометрическим уравнением выделяется диэтилдитиокарбамат кадмия:



С увеличением рН реакционной среды от 5 до 11 достигается максимальный выход Cd(DDK)₂. Осадок Cd(DDK)₂ промывается до появления отрицательной реакции на Cl⁻ и высушивается при температуре 60—80°.

С целью обоснованного выбора исходного реагента для получения полупроводниковых слоев проведен анализ термического разложения ВКС (внутрикомплексное соединение) кадмия на дифференциальном термографе 0—1500 Д фирмы MOM.

Дифференциально-термографические кривые разбиты на отдельные участки, характеризующиеся агрегатным состоянием и фазовыми переходами (рис. 1).

На I участке происходит нагрев образца до температуры плавления ($T_{\text{пп}} \sim 195^\circ$).

На II участке имеется эндотермический пик, характеризующий теплоту плавления исходного карбамата, а об испарении последнего свидетельствует кривая $m(f)$, фиксирующая уменьшение массы жидкой фазы Cd(DDK)₂ на рассматриваемом участке.

На III участке происходит разложение Cd(DDK)₂, о чем свидетельствуют резкое уменьшение веса и эндотермический пик (кривая DTA, $T_{\text{пр}} = 250^\circ$), соответствующий энергии разложения ВКС. Эндотер-

мический пик на кривой ДТГ разложения $\text{Cd}(\text{DDK})_2$ прекращается при $T=320^\circ$, при этом соотношение массы остатка и начальной массы $\text{Cd}(\text{DDK})_2$ указывает на выделение CdS .

В зоне IV участка при $T=360^\circ$ имеется экзотермический пик, который можно отнести к теплоте, выделяющейся при кристаллизации порошка CdS .

Рентгенографический анализ порошка CdS , полученного в результате термического разложения исходного ВКС кадмия, подтвердил наличие кристаллической структуры вюрцитной фазы CdS , которая яв-

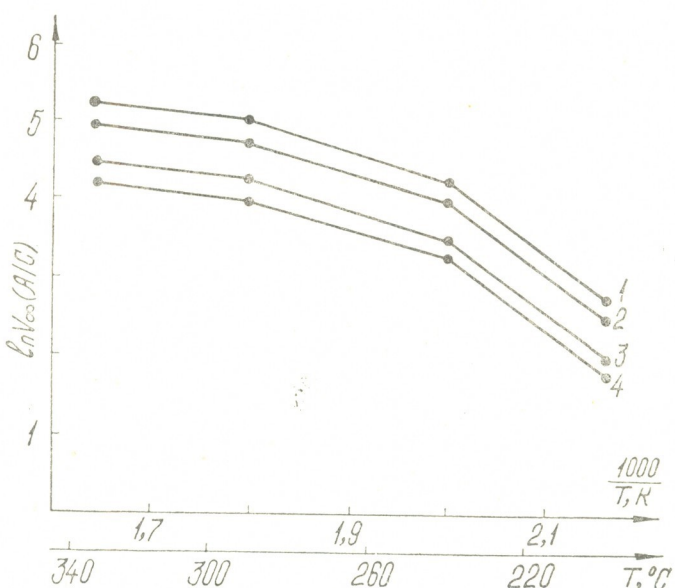


Рис. 3. Активационные кривые нанесения слоя сульфида кадмия: 1,2 — из раствора ВКС, 3,4 — из пара ВКС

ляется при данных условиях термодинамически устойчивой.

В настоящей работе для осаждения тонких пленок CdS на поверхности подложки (стекла) опробованы способы пульверизации ВКС и осаждения из паровой фазы.

В качестве растворителя $\text{Cd}(\text{DDK})_2$ применен пиридин, который полностью удовлетворяет требованиям, предъявляемым к растворителю ВКС (Ткип—115,6° ниже Тразлж. ВКС; диэлектрическая проницаемость в пределах 10—20 способствует дезактивации возбужденных радикалов продуктов разложения ВКС). Транспортировка раствора в подложку осуществляется путем пульверизации, а пары ВКС кадмия доставляются в зону нахождения подложки диффузионноконвективно. Схемы установок и методики исследования описаны в [5].

Интенсивность потока ВКС $\text{CdS}(I)$ в процессе осаждения тонких пленок CdS менялась в диапазоне 0—4 мг/см²·сек. Необходимый перепад давлений (или перенасыщение — ΔP) поддерживался изменением объема кварцевого цилиндра, в котором происходит осаждение, а температура подложки (T_{pd}) — от 200 до 310°.

Зависимость скорости роста толщины пленок от технологических параметров I , $T_{\text{пд}}$, ΔP можно записать: в случае пульверизации исходного ВКС $V=f(I, T_{\text{пд}})$, а в случае осаждения из паровой фазы $V=f(\Delta P, T_{\text{пд}})$.

Кинетические кривые, полученные при различных температурах подложки (рис. 2), свидетельствуют, что скорость роста толщины пле-

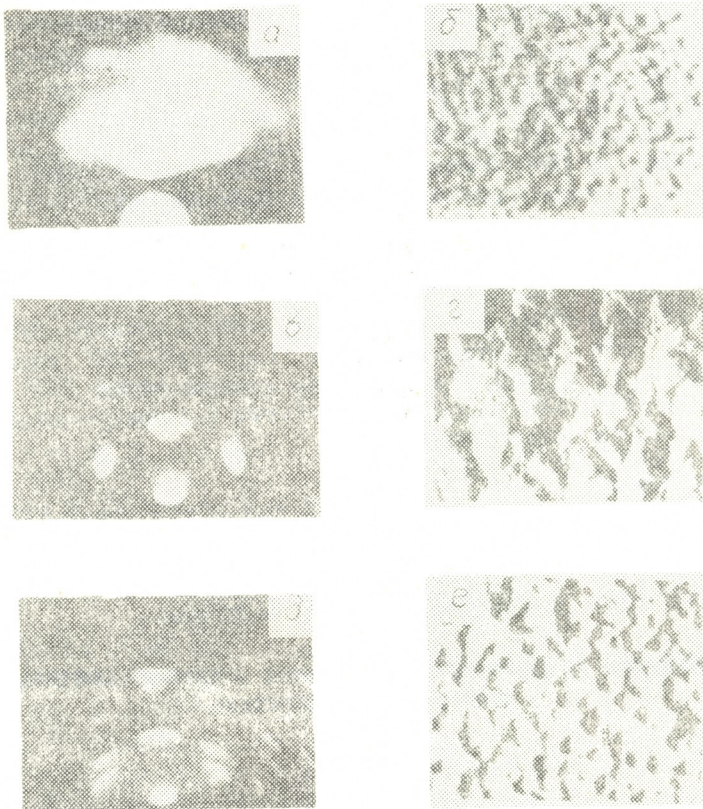


Рис. 4. Электронограммы и микрорельеф слоя сульфида кадмия:
а, б — в интервале $310 - 340^\circ$; в, г — в интервале $310 - 240^\circ$;
д, е — в интервале $240 - 200^\circ$

нок в основном зависит от интенсивности (I) потока ВКС или от перенасыщения (ΔP).

Статистически вероятное рассмотрение процесса позволяет аппроксимировать зависимость скорости от технологических параметров выражениями:

$$V = V_\infty(T_{\text{пд}}) (1 - e^{-k_1})$$

$$V = V_\infty(T_{\text{пд}})(1 - e^{-K\Delta\rho})$$

где K — скоростная активность $Cd(DDK)_2$, которая не зависит от температуры и определяется свойствами исходного ВКС, а $V_\infty(T_{\text{пд}})$ является активационным членом и аппроксимируется выражением:

$$V_\infty(T_{\text{пд}}) = V_0 \exp \left(-\frac{E}{KT_{\text{пд}}} \right),$$

где V_0 — (как и K) является характеристикой исходного ВКС, E — энергия активации процесса роста. Активационные кривые в координатах

$\ln V \propto -f\left(\frac{1}{T_{pd}}\right)$, построенные по экспериментальным и расчетным данным, характеризуются тремя кинетическими областями (рис. 3).

Результаты исследования структуры и фазового состава пленок, полученных в соответствии с кинетическими областями, на электронном микроскопе УЭМВ-100 методом реплик и на электрографе ЭГ-100 А методом «на отражение» указывают, что пленки CdS, осажденные в первой кинетической области, являются аморфными с линейным размером зерен 100—200 Å при толщине 200 Å (рис. 4 а, б). Текстурированные пленки CdS гексагональной модификации образовывались во второй кинетической области (рис. 4 в, г). Диапазон температур подложки, при которой образуются пленки с наименьшими углами разориентации ($\leq 10^\circ$), составляет 240—260° при толщине пленок от 0,8 до 1,2 μ. Размер зерна пленок, осажденных при этих условиях, составляет 2000—3000 Å. В третьей кинетической области образуются рыхлые с плохой адгезией к подложке пленки CdS (рис. 4 д, е), структура и микрорельеф которых не исследовалась.

Из анализа данных кинетики роста пленок следует, что наиболее совершенный слой CdS образуется при $T_{pd} = 240—260^\circ$, интенсивности потока ВКС $= 1,5—2 \text{ мг}/\text{см}^2 \cdot \text{с}$ и перенасыщении паров ВКС $\Delta P = 0,9—1,2$ в экспериментально подобранном объеме (цилиндр—высота 6—9 см, диаметр 10—12 см) реакционной зоны.

Институт неорганической химии
и электрохимии АН ГССР

Поступило 29.05.1985

3. გაფრინდაჟვილი, ლ. ჭალობაძე

კაფეიშვილის დიეთილდიოთიონკარბაზატიდან კაფეიშვილ სულფილის
თხელი უანის გამოლევება

რეზიუმე

გამოკვლეულია ნატრიუმის დიეთილდიონკარბაზატისა და კადმიუმის ქლორიდის წყალხსნარში ურთიერთქმედებით მიღებული კადმიუმის დიეთილდიოთიონკარბაზატის თერმული დაშლის მექანიზმი. ნაჩვენებია, რომ თერმული დაშლის პროცესში წარმოიქმნება ვიურციტული მოლიფიკაციის CdS კრისტალები.

მინის ზედაპირზე CdS თხელი ფენის დასმა განხორციელებულია Cd(DDK)₂-ის პირიდინში გახსნით მიღებული ხსნარის გაფრქვევისა და ორთქლების მეთოდებით.

CdS ფენის სისქის ზრდის სიჩქარეზე შემოწმებული ტექნოლოგიური პარამეტრებიდან ძირითად გავლენას ახდენს Cd(DDK)₂-ს გაფრქვევის ინტენსიობა და სარეაქციო არეში ამ ნაერთის ორთქლით გაფერების სიღიძე.

ორივე მეთოდისათვის დადგენილია CdS თხელი ფენის დასმის კინეტიკური კანონზომიერებანი.

დადგენილია, რომ სინის ზედაპირზე CdS-ის ფენის დასმის პროცესისათვის შერჩეულ პირობებში ტემპერატურა სარეაქციო ზონაში $= 240—260^\circ$, გაფრქვევის ინტენსიობა $= 1,5—2,0 \text{ мг}/\text{см}^2 \cdot \text{с}$, სარეაქციო არის Cd(DDK)₂-ს ორთქლით გაფერება $\Delta P = 0,9—1,2$, ცილინდრული ფორმის სარეაქციო ზონის დიამეტრი $= 10—12 \text{ см}$, სიმაღლე $6—9 \text{ см}$ აკმაყოფილებს მის მიმართ წაყენებულ მოთხოვნებს.

DEPOSITION OF CdS THIN FILMS FROM CADMIUM DIETHYLDITHIO-CARBAMATE

С у м м а г у

The process of producing photosensitive films from cadmium diethyldithiocarbamate by sputtering and vapour deposition has been studied.

The mechanism of $\text{Cd}(\text{DDC})_2$ thermal decomposition has approved the presence of the wurtzite phase crystalline structure of the isolated CdS .

It has been shown that the growth rate of the film thickness over the substrate temperatures $210\text{--}320^\circ$ depends primarily on intracomplex compound (ICC) flux density or on vapour supersaturation.

The most perfect CdS film has been produced at T_{sub} of $240\text{--}260^\circ\text{C}$, ICC flux density of $1.5\text{--}2 \text{ mg/cm}^2\cdot\text{s}$, and ICC vapour supersaturation of $0.9\text{--}1.2$.

ლიტერატურა — REFERENCES

1. Франкомб М. Х., Джонсон Дж. В. Физика твердых пленок. т. 5, М.: Мир, 1972, с. 217.
2. Луценко Н. П., Ярембели Е. И., Медведева В. С. Изв. АН СССР: Металлургия, 1965, 10, 49—54.
3. Урицкая А. А. Канд. диссерт., Свердловск, 1966, с. 81.
4. Разуваев и др. Металлоорганические соединения в электронике, М.: Наука, 1973.
5. Жаровский Л. Ф. Сб.: Полупроводниковая техника и микроэлектроника, вып. 17, 1974, с. 78.



УДК 543+546.87:541.486

Д. Д. ТОРОНДЖАДЗЕ, В. К. АКИМОВ, Д. И. АНДЖАПАРИДЗЕ

НОВЫЙ ВАРИАНТ ФОТОМЕТРИЧЕСКОГО ОПРЕДЕЛЕНИЯ ВИСМУТА С ПОМОЩЬЮ КСИЛЕНОЛОВОГО ОРАНЖЕВОГО

Определение висмута с помощью ксиленолового оранжевого (КО), основанное на образовании катионного комплекса, является одним из чувствительных ($\epsilon=2,4 \cdot 10^4$) методов определения висмута и применяется на практике [1—4]. Основным недостатком метода является его малая селективность. Определению мешают Fe^{3+} , Zr^{4+} , Sn^{2+} , Sc^{3+} , Cu^{2+} .

Нами была изучена возможность повышения селективности метода путем предварительной экстракции висмута в виде хлоридных комплексов висмута диантенирилпропилметаном [5] и последующим переведением висмута в комплексы ксиленолового оранжевого непосредственно в органической фазе. Использовались следующие реактивы и приборы: раствор висмута в 1N H_2SO_4 ; титр раствора устанавливался гравиметрически — осаждением и взвешиванием BiPO_4 [6]. Диантенирилпропилметан (ДАПМ) получали, как указано в [7]; KCl — квалификации х. ч., фотоколориметр — ФЭК-56.

Нами была изучена экстракция Bi хлороформом и диэхлорэтаном в виде хлоридных комплексов с ДАПМ. Экстракция изучалась с использованием радиоактивного изотопа ^{210}Bi .

Методика работы состояла в следующем: 1 мл раствора висмута, содержащего 1 мг/мл Bi , переносили в колбу с притертой пробкой, добавляли KCl и H_2SO_4 . Концентрация KCl менялась от 0,1 до 0,5 М, концентрация H_2SO_4 — от 1,0 до 10,0 Н. Объем водной фазы составлял 10 мл. Полученный раствор встряхивали 2 минуты с 10 мл 0,2%-го раствора ДАПМ в соответствующем растворителе.

Во всех случаях от каждой фазы стабилизировали по 1 мл и измеряли β -активность на установке с малым фоном УМФ-1500 м, счетчик БТ-13.

Висмут практически полностью экстрагируется диэхлорэтаном и хлороформом в виде комплексов с ДАПМ. Степень экстракции висмута возрастает с увеличением концентрации KCl и H_2SO_4 и остается практически постоянной в интервале 1,0—1,5 М KCl , 1—2 Н H_2SO_4 . Возрастает она также и с увеличением концентрации реагента: для полной экстракции висмута необходим 50-кратный избыток ДАПМ.

При встряхивании хлороформных экстрактов хлоридных комплексов висмута с 0,4%-ным раствором КО в органической фазе сразу образуется интенсивно окрашенный в розовый цвет комплекс висмута.

Спектр поглощения имеет максимум при $\lambda=510$ нм (рис. 1), $\epsilon=2,2 \cdot 10^4$.

Спектрофотометрические параметры совпадают с данными литературы [2].

Таким образом, в органической фазе образуется комплекс висмута с КО.

Окраска экстрактов устойчива и пригодна для фотометрического определения висмута. Закон Бера соблюдается в интервале 0,5—5 мкг/мл Bi .

На основе полученных данных был разработан новый вариант фотометрического определения висмута с применением КО после экстракции висмута хлороформом из раствора H_2SO_4 и KCl.



Методика. В делительную воронку к сернокислому раствору (1,0 N H_2SO_4) висмута, содержащему 25—125 мкг Bi добавляют KCl до концентрации в водной фазе 1 М и объем доводят до 10 мл 1N H_2SO_4 М. Встряхивают 2 минуты с 0,2%-ным раствором ДАПМ в

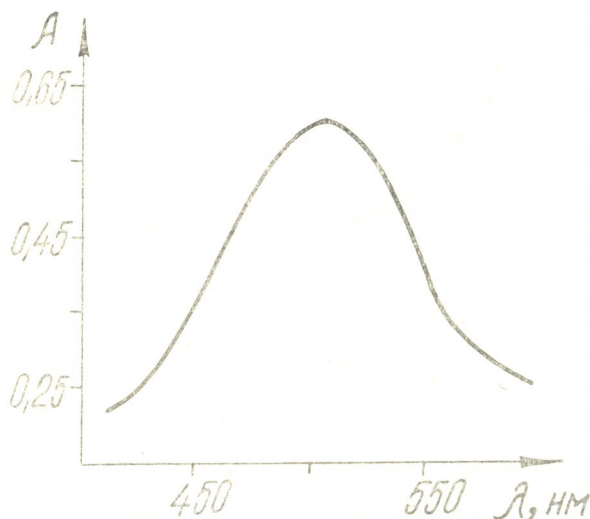


Рис. 1. Спектр поглощения хлороформного раствора комплекса КО с диантипирипропилметаном

хлороформе. Экстракт переносят в другую делительную воронку, водную фазу встряхивают с 5 мл хлороформа и экстракты объединяют. Добавляют 16 мл 0,4%-го раствора КО, 0,1 г аскорбиновой кислоты и встряхивают 2 минуты. Органическую фазу переносят в мерную колбу на 25 мл, водную фазу промывают 3 мл чистого растворителя, экстракт переносят в ту же колбу на 25 мл, раствор хлороформом доводят до метки и измеряют оптическую плотность на ФЭК-56, относительно холостого экстракта. Содержание висмута определяют по калибровочному графику.

Предлагаемый метод позволяет определить 0,5—5 мкг Bi с относительной ошибкой, не превышающей $\pm 4\%$. Определению не мешают Fe^{3+} , Zr^{4+} , Sb^{3+} , Cu^{2+} , Sn^{2+} (табл. 1).

Таблица 1

Фотометрическое определение висмута в присутствии других ионов (взято 5мкг Bi)

Введено, мг	Найдено Bi, мкг	Ошибка		Введено, мг	Найдено Bi, мкг	Ошибка	
		мкг	%			мкг	%
$20,0 \left\{ Fe^{3+} \right.$	5,2	0,2	4,0	$20,0 \left\{ Sn^{2+} \right.$	4,8	-0,2	-4,0
	5,0	0,0	0		5,0	0,0	0
	4,8	0,2	-4,0		5,0	0,0	0
$15,0 \left\{ Sb^{3+} \right.$	5,0	0,0	0	$50,0 \left\{ Zn^{4+} \right.$	5,1	0,1	2,0
	5,2	0,2	4,0		5,0	0,0	0
	5,0	0,0	0		4,8	-0,2	-4,0

150 МТ
0403654
303-1985

Полученные результаты показывают, что присутствие $20-150 \text{ мг}$ Fe^{3+} , Sb^{3+} , Sn^{2+} , Zr^{4+} не мешает определению.

Таким образом, предлагаемый новый вариант определения висмута с применением ксиленолового оранжевого, отличается от описанных в литературе тем, что позволяет, варьируя экстракционными системами, отделить висмут от других элементов и не требует сложной обработки экстрактов при переводе висмута в ксиленоловый комплекс.

Методика проверена на стандартном образце медного сплава. Результаты приведены в табл. 2.

Таблица 2

Результаты определения висмута в стандартном образце

Анализируемый образец	Содержание висмута по паспорту, %	Найдено висмута, %
STM -- 45Х	0,0023	0,0021

Тбилисский государственный университет

Поступило 18.06.1985

დ. თორონჯაძე, ვ. აკიმოვი, დ. ანჯაპარიძე

შეილენის ნარიჯით გისეულის ფოტომეტრიული განსაზღვრის ახალი ვარიანტი ქსილენოლის ნარიჯის გამოყენებით. თავდაპირველად ექსტრაგირდება ბისმუტის უფრო ქლორიდული კომპლექსი დანტიპირილბროპილმეთანან ქლოროფორმით; შემდეგ ეს კომპლექსი ქსილენოლის ნარიჯის დამატებით ორგანულ ფაზაშივე გადაგვყავს ბისმუტის კომპლექსში ქსილენოლის ნარიჯთან, რომელიც შეფერილია.

მოწოდებულია ბისმუტის ფოტომეტრიული მეთოდით განსაზღვრის ახალი ვარიანტი ქსილენოლის ნარიჯის გამოყენებით. თავდაპირველად ექსტრაგირდება ბისმუტის უფრო ქლორიდული კომპლექსი დანტიპირილბროპილმეთანან ქლოროფორმით; შემდეგ ეს კომპლექსი ქსილენოლის ნარიჯის დამატებით ორგანულ ფაზაშივე გადაგვყავს ბისმუტის კომპლექსში ქსილენოლის ნარიჯთან, რომელიც შეფერილია.

მოწოდებული მეთოდი საშუალებას იძლევა განსაზღვროს $0,5-5,0 \text{ мкг/мл}$ ბისმუტი, განსაზღვრის ცდომილება არ აღემატება $\pm 4\%$.

მეთოდი გამოიჩევა სელექტიურობით. განსაზღვრას ხელს არ უშლის ხსნარში $20-150 \text{ мг}$ Fe^{3+} , Sb^{3+} , Sn^{2+} , Zr^{4+} — იონების არსებობა.

D. D. TORONJADZE, V. K. AKIMOV, D. I. ANJAPARIDZE

A NEW VARIANT OF PHOTOMETRIC DETERMINATION OF BISMUTH BY MEANS OF XYLENOL ORANGE

Summary

A possibility of increasing the selectivity of photometric method of bismuth determination using xylanol orange has been studied by preliminary extraction of bismuth in the form of chloride complexes with diantipyrilpropilmetan and subsequent transferring of bismuth into xylanol complex in the organic phase.

The method makes it possible to determine 0.5÷5.0 mkg/ml of Bi with accuracy $\pm 4\%$. The presence of 20—150 μ g of Fe^{3+} , Sb^{3+} , Sn^{2+} , Zr^{4+} exerts no effect on the determination process.

Thus the suggested method differs from those described previously and permits varying extract systems to separate bismuth from many elements and requires no complex processing of extracts when transferring bismuth to xylene complex. The method has been used to determine bismuth in standard samples.

ЛІТЕРАТУРА — REFERENCES

1. Бусев А. И. Аналитическая химия висмута. М.: Наука, 1953.
2. Марченко З. Фотометрическое определение элементов, М.: Мир, 1971.
3. Данилова В. И., Марченко П. В. Заводск. лаборатория, 1964, т. XXVIII, № 2, с. 645.
4. Амшееева А. А., Безуглый Д. В. Ж. аналит. химии, 1970, т. XXV, № 5, с. 918.
5. Бусев А. И., Акимов В. К., Санд Алиша Сабер, Ж. аналит. химии, 1970, т. XXV, № 5, с. 918.
6. Гиллебранд В. Ф., Лендель Г. Э., Брайт Г. А., Гофман Д. И. Практическое руководство по неорганическому анализу, М.: Химия, 1957.
7. Акимов В. К., Бусев А. И., Зайцев Б. Е., Емельянова И. А. Ж. аналит. химии, 1970, т. XXV, № 3, с. 518.

ОРГАНИЧЕСКАЯ ХИМИЯ

УДК 541.6:541.128

Г. О. ЧИВАДЗЕ, Г. И. ШЕЦИРУЛИ

ОКИСЛИТЕЛЬНЫЙ АММОНОЛИЗ ПРОПИЛЕНА НА МОДИФИЦИРОВАННОМ КЛИНОПТИЛОЛИТЕ

Среди разнообразных видов синтетических волокон особый интерес представляют волокна, получаемые из сополимеров акрилонитрила, а также из его сополимеров с различными мономерными соединениями.

Как было показано исследованиями предыдущих лет, в реакции окислительного аммонолиза пропилена из изученных многочисленных катализаторов на основе гумбрина и синтетических цеолитов лучшими оказались образцы, содержащие в качестве активной фазы серебро.

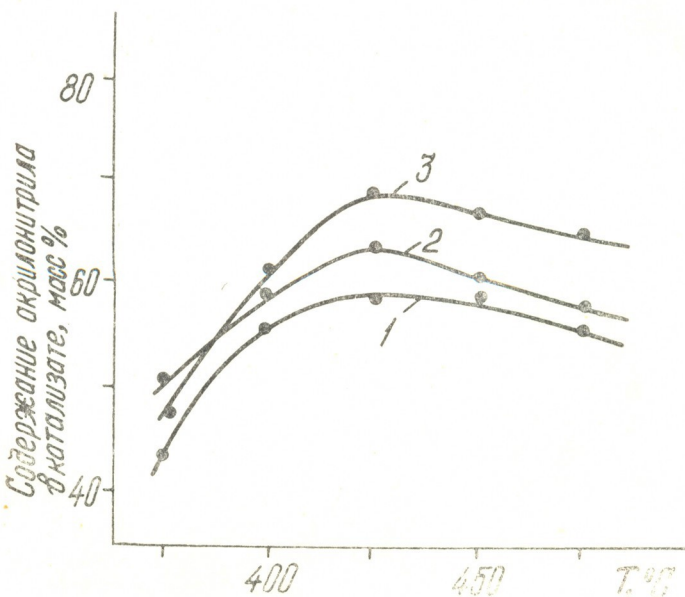


Рис. 1. Окислительный аммонолиз пропилена на модифицированном клиноптилолите. Реакция проведена при 425°, мольное отношение $\text{C}_3\text{H}_6 : \text{NH}_3 : \text{O}_2 = 1 : 2 : 6$, объемн. скорость $\text{C}_3\text{H}_6 = 60 \text{ ч}^{-1}$ 1. MnKЛХ, 2. AgKЛХ, 3. FeMnKЛХ

ро и марганец [1, 2], поэтому интересно было бы сопоставить с ними в указанной реакции модифицированный природный цеолит — клиноптилолит.

Природный цеолит-клиноптилолит месторождения Хекордзула Грузинской ССР изучен в таких катализитических реакциях, как дегидратация спиртов, алкилирование фенолов, окисление алифатических спиртов [3—5]. Что же касается реакции окислительного аммонолиза, то данных по этому вопросу в литературе не имеется.

Структурные особенности, механическая прочность и большие запасы природного клиноптилолита дают возможность для его широкого использования.

На природном клиноптилолите при оптимальных условиях реакции окислительного аммонолиза пропилена выход акрилонитрила не превышает 1,5%.

Введение в клиноптилолит сравнительно небольших количеств катионов серебра (I) или марганца (II) приводит к резкому возрастанию активности катализатора.

На рис. 1 показана зависимость содержания акрилонитрила в катализате от температуры на различных катализаторах.

Как видно из рисунка, на MnKлX максимальное количество акрилонитрила составляет 58% при 425°, на AgKлX — 64%.

Реакция окислительного аммонолиза пропилена на AgKлX была проведена в оптимальных условиях при соотношении реагирующих компонентов $C_3H_6:NH_3:O_2 = 1:2:6$, объемной скорости подачи пропилена 60 ч⁻¹.

Как показано в работе [2], максимальную активность катализатор AgNaX проявляет после 5-часовой работы, поэтому данные, приведенные на рис. 1, взяты за этот период.

Как известно из предыдущих работ [2], в случае синтетических цеолитов лучшую активность в реакциях окислительного аммонолиза проявляют бикационные цеолитные формы. Поэтому в состав MnKлX

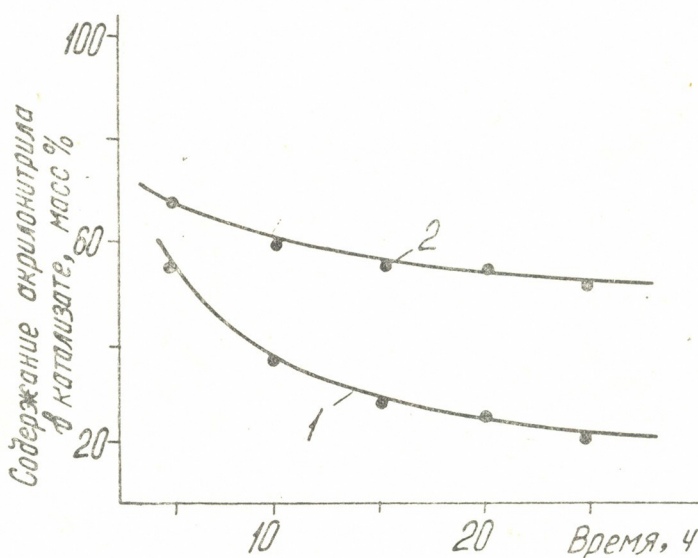


Рис. 2. Исследование продолжительности действия модифицированного клиноптилолита. Реакция проводена при 425°, мольное отношение $C_3H_6 : NH_3 : O_2 = 1 : 2 : 6$, объемн. скорость $C_3H_6 = 60$ ч⁻¹. 1. MnKлX, 2. FeMnKлX

был дополнительно введен катион железа (III), который исследован в реакции окислительного аммонолиза пропилена (рис. 1).

При этом заметно, что на катализаторе MnKлX максимальное содержание акрилонитрила в катализате составляет 58%, а на FeMnKлX — достигает 69%. Из этого следует, что введение катиона железа (III) способствует увеличению количества акрилонитрила, что, возможно, вызвано появлением новых активных центров в образце или же усилением существующих центров, способствующих протеканию реакции окислительного аммонолиза.



В процессе работы катализаторы теряют свою активность из-за образования кокса и смолистых веществ на поверхности образца. Поэтому MnKлX и FeMnKлX были испытаны на стабильность в реакции окислительного аммонолиза пропилена при температуре 425° и соотношении реагирующих компонентов C₃H₆:NH₃:O₂=1:2:6 (рис. 2).

Катализатор, содержащий катион марганца (II), сравнительно быстро теряет активность. Содержание акрилонитрила после 25 ч работы составило 22%, а образец, содержащий катионы железа (III), оказался более стабильным, и после 25 ч работы содержание акрилонитрила составило 55%.

После регенерации воздухом при 550° восстанавливается почти первоначальная активность катализатора FeMnKлX, и он стablyно работает на протяжении еще 20 часов.

Из приведенных данных видно, что природа активной фазы существенным образом влияет на активность изученных катализаторов в реакции окислительного аммонолиза пропилена.

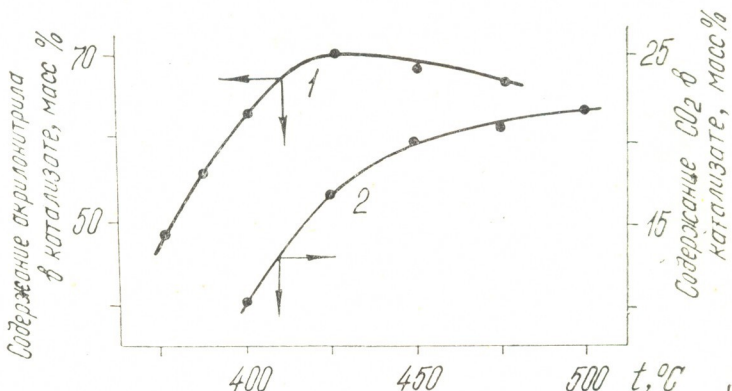


Рис. 3. Зависимость содержания акрилонитрила и CO₂ в катализате от температуры на FeMnKлX. Реакция проведена при мольном отношении C₃H₆ : NH₃ : O₂ = 1 : 2 : 6, объемн. скорости C₃H₆ = 60 ч⁻¹.

На рис. 3 показана зависимость содержания акрилонитрила и CO₂ в катализате от температуры. При оптимальных условиях (температура 425°) максимальный выход акрилонитрила в катализате составляет 69%, а выход CO₂ — 16%. При повышении температуры от 400° до 500° выход акрилонитрила снижается, а выход CO₂ повышается и достигает 22%.

Высокое содержание акрилонитрила в катализате позволяет рекомендовать катализаторы AgKлX и FeMnKлX для использования в промышленных условиях с целью получения акрилонитрила.

Институт физической и органической химии
им. П. Г. Меликишивили АН ГССР

Поступило 14.03.1986

В. Н. Задорин, В. А. Соловьев

ЗАМЕНИЛЕНЫЕ ТАБЕЛИЧНЫЕ ДАННЫЕ ОБРАЩАЮТСЯ К ИЗДАНИЮ 1986 ГОДА

Л. Е. Ч. О. У. М. Г.

УДОЛЖНЕННЫЕ ФОРМОЛЫ С МОЛЕКУЛАРНОЙ МАССОЙ 100 И БОЛЕЕ ВЫСОКОЙ
СОДЕРЖАНИЕМ АКРИЛОНITРИЛА В КАТАЛИЗАТЕ ПРИ 425° СОСТАВЛЯЕТ 69%
MnKлX, AgKлX И FeMnKлX. ОПТИМАЛЬНАЯ ВЫХОДА CO₂ ПРИ ТОМ ЖЕ УСЛОВИИ
24

ფარდობა $C_3H_6:NH_3:O_2 = 1:2:6$; მოცულობითი სიჩქარე 60 Ст^{-1}) აკრილონიტრილის რაოდენობა კატალიზატორი — შეადგენს AgCPX — 64 %, ხოლო FeMnCPX — 69 %.

აკრილონიტრილის მაღალი გამოსავლიანობის გამო შესაძლებელია რეაქტონდაცია გავუწიოთ ზემოაღნიშნული კატალიზატორების გამოყენებას.

შესწავლილია აღნიშნული კატალიზატორების მუშაობის ხასგრძლივობა პროპილენის უანგვითი ამონიატის რეაქციაში და ნაჰვენებია, რომ ბიკატიონური ფორმა იძლევა აკრილონიტრილის უკეთეს გამოსავალს და უფრო სტაბილურია მუშაობაში მონოკატიონურ ფორმასთან შედარებით.

G. O. CHIVADZE, G. I. SHETSIRULI

OXIDATIVE AMMONOLYSIS OF PROPYLENE ON MODIFIED CLINOPTILOLITE

S u m m a r y

Acrylonitrile has been obtained from the reaction of oxidative ammonolysis on modified forms of clinoptilolite (CP): MnCPX , AgCPX , and FeMnCPX under optimal conditions (425°C , the molar ratio of $C_3H_6:NH_3:O_2 = 1:2:6$; space velocity 60 h^{-1}). The content of acrylonitrile in the catalysts in the case of AgCPX is 64% and in the case of FeMnCPX is 69%. Due to the high content of acrylonitrile in the catalysts, the catalysts AgCPX and FeMnCPX can be recommended for commercial application. The working life of the above catalysts in the reaction of propylene oxidative ammonolysis has been studied. It has been shown that bicationic form gives a better yield of acrylonitrile; it is more stable compared to monocationic form.

ლიტერატურა — REFERENCES

1. Арешидзе Х. И., Чивадзе Г. О., Шецирули Г. И. Нефтехимия, 1974, 14, № 3, 456.
2. Чивадзе Г. О., Арешидзе Х. И., Наскидашвили Ц. И., Шецирули Г. И. Сообщ. АН ГССР, 1980, № 2, 345.
3. Грязнова Э. В., Иоселиани Д. К., Чивадзе Г. О., Арешидзе Х. И. Кинетика и катализ, 1975, 16, № 6, 1548.
4. Чивадзе Г. О., Арешидзе Х. И., Хахнелидзе В. В., Балахишвили Л. И. Нефтехимия, 1977, 17, № 6, 852.
5. Чивадзе Г. О., Иоселиани Д. К., Арешидзе Х. И. Природные цеолиты, Тбилиси: Мецниереба, 1979, 310.
6. Арешидзе Х. И., Чивадзе Г. О., Наскидашвили Ц. И., Хахнелидзе В. В. Нефтехимия, 1977, 17, № 1, 137.

УДК 665.7.033.28(479.22)

Б. Г. КУПРАШВИЛИ, Л. Д. МЕЛИКАДЗЕ, В. Ф. ҲАМЬЯНОВ

ПМР-СПЕКТРАЛЬНЫЙ АНАЛИЗ ПРОДУКТОВ ФОТОХИМИЧЕСКИХ ПРЕВРАЩЕНИЙ СМОЛИСТЫХ ВЕЩЕСТВ

В работах [1, 2] сообщалось, что под действием света лампы ПРК-4 нефтяные смолы и асфальтены подвергаются деструкционно-конденсационным превращениям, в результате которых образуются высокоплавкие, нерастворимые в бензole продукты.

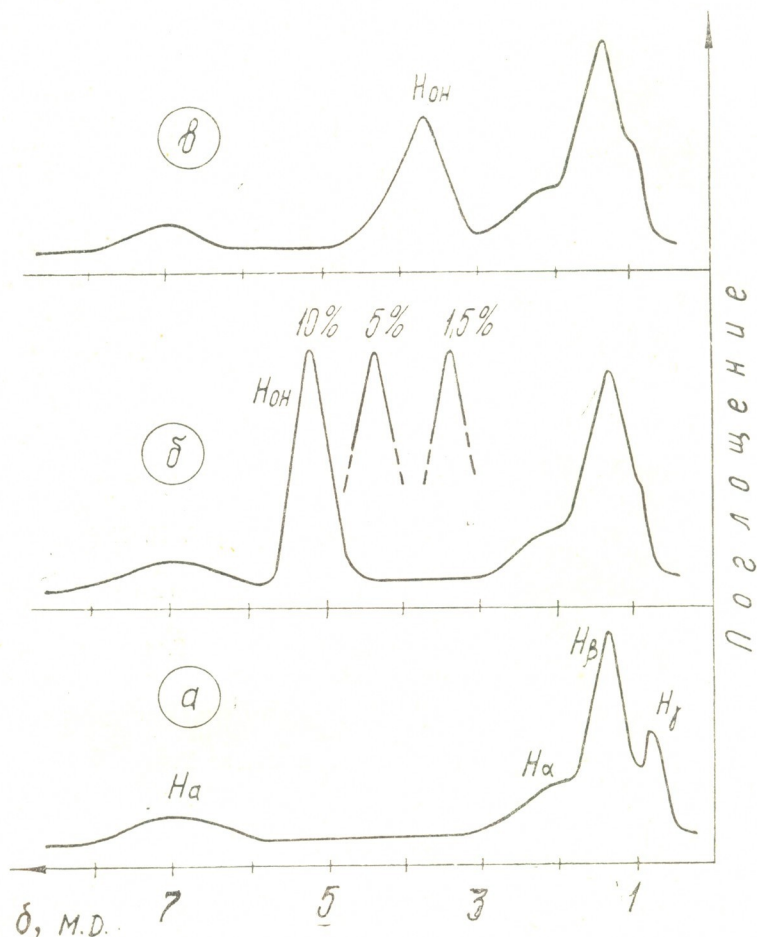


Рис. 1. Типичные спектры ПМР нативных нефтяных смол (а) и продуктов их фотохимических превращений до (б) и после (в) обработки диазометаном. Условия съемки: (а) и (в) — 10%-ные растворы в дейтерохлороформе, 60°; (б) — растворы в диметилсульфоксиде — d_6 , 20°; концентрации указаны у пиков H_{0H} .

Таблица 1

Среднее распределение протонов в молекулах продуктов фотохимического превращения нефтяных смол и остатка

Исходные вещества	Доля протонов, %						Количество протонов в средней молекуле						
	H _a	H _α	H _β	H _γ	H _{COOH}	H _{ОН}	H _a	H _α	H _β	H _γ	H _{COOH}	H _{ОН}	Всего
Продукты превращения ВМС из иорийской нефти													
Смолы фр. I	17,1	21,8	22,8	4,7	1,7	31,9	5,1	6,5	6,8	1,4	0,5	9,5	29,8
Смолы фр. II	13,6	23,0	18,9	5,0	1,6	37,9	4,3	7,3	6,0	1,6	0,5	12,0	31,7
Остаток 350°	8,2	31,7	27,7	5,0	1,2	26,3	4,1	15,9	13,9	2,5	0,6	13,2	50,2
Продукты превращения ВМС из самгорской нефти													
Смолы фр. I	10,8	25,4	29,0	6,0	1,4	27,6	4,7	11,0	12,6	2,6	0,6	13,0	43,5
Смолы фр. II	10,3	23,3	27,4	1,4	1,9	35,7	3,8	8,6	10,1	0,5	0,7	13,2	36,9
Продукты превращения ВМС из супсинской нефти													
Смолы	15,6	25,3	26,0	6,4	1,8	24,9	7,0	11,4	11,7	2,9	0,8	11,2	45,0

Найти растворитель, способный сольватизировать продукты превращения асфальтенов, не удалось. Продукты превращения смол при комнатной температуре растворяются лишь в диметилформамиде, а при нагревании — в диметилсульфоксиде. Это положение позволило провести ПМР-спектральный анализ продуктов фотохимических превращений смол норийской, самгорской и супсинской нефтей. В качестве растворителя был применен диметилсульфоксид- d_6 .

В спектрах ПМР продуктов превращения смол (табл. 1, рис. 1) по сравнению с первоначальными усиливается поглощение полосы H_α и снижается относительная интенсивность сигнала протонов H_γ , то есть в молекулах остается мало метильных групп, непосредственно не связанных с ароматическими ядрами и гетерофункциональными фрагментами. Одновременно в спектрах появляется новый мощный сигнал, максимум которого при спектрометрировании 10%-ных растворов веществ в диметилсульфоксиде- d_6 (рис. 1б) расположен при δ (5,3—5,2) и смещается к δ (3,5—3,7) после уменьшения концентрации до 1,5 масс.%. Эти величины химических сдвигов и характер смещения максимума позволяют отнести поглощающие атомы к гидроксильным (точнее, спиртовым) протонам [3]. После этерификации продуктов рассматриваемая полоса несколько уширяется, и максимум ее при 10%-ной концентрации растворов смещается к δ (3,80) (рис. 1в), что обусловливается устраниением кислот из состава веществ и заменой диметилсульфоксида- d_6 на $CDCl_3$ в качестве растворителя.

Заметим, что сигналы протонов групп CH_3 в метиловых эфирах карбоновых кислот и фенолов, которые должны были бы образоваться из кислых компонентов смол при их обработке диазометаном, обычно размещаются в диапазоне δ (3,4—4,0) и перекрываются сигналами протонов OH -групп. Однако существенного увеличения интенсивности полосы при δ (3,8) после этерификации не наблюдается. Это явно указывает на малое содержание кислот и фенолов. Действительно, из результатов интегрирования спектров ПМР неэтерифицированных продуктов (табл. 1) следует, что на гидроксильные группы приходится 83—92% и лишь в случае смол фр. I [1, 2] из норийской нефти — 71% общего количества атомов кислорода в молекулах, так что в составе остальных кислородных функций может содержаться не более 8—17% и, соответственно, 29 кислородных атомов.

Институт физической и
органической химии
им. П. Г. Меликишвили АН ГССР

Институт химии нефти
СОАН СССР

Поступило 22.04.1986

δ. პუპრაზვილი, ლ. მელიქაძე, ვ. კამიანოვი

ვისოვან ნივთიერებათა ფოტოდიალური გარდავანის
პროცესთა შესახებ ვარ-ცენტრული ანალიზის შედეგად დადგენილი, რომ გა-
მოსავალი ნიმუშების ფოტოჯიმიური უანგვა მიმდინარეობს ძირითადად სპირ-
ტული ჯგუფების წარმოქმნის გზით.

რეზიუმე

საქართველოს ნავთობებიდან გამოყოფილი ფისების ფოტოჯიმიურ გარდა-
ვნის პროცესთა პრ-ცენტრული ანალიზის შედეგად დადგენილი, რომ გა-
მოსავალი ნიმუშების ფოტოჯიმიური უანგვა მიმდინარეობს ძირითადად სპირ-
ტული ჯგუფების წარმოქმნის გზით.

THE PMR SPECTRAL ANALYSIS OF THE PRODUCTS OF PHOTOCHEMICAL CONVERSION OF RESINOUS COMPOUNDS

S u m m a r y

The PMR spectral analysis of the products of photochemical conversion of resinous compounds isolated from the crude oils of the Georgian SSR has shown that photochemical oxidation of the end products results in formation of alcoholic groups.

ლიტერატურა — REFERENCES

1. Меликадзе Л. Д., Купрашвили Б. Г., Барабадзе Ш. Ш., Бахтуридзе Г. Ш. Шатакишивили Т. Н. Тезисы докладов Всесоюзной конференции «Химический состав нефти и нефтепродуктов». Тбилиси, 1—5 октября, 1984, 69 с.
2. Меликадзе Л. Д., Купрашвили Б. Г., Барабадзе Ш. Ш., Бахтуридзе Г. Ш., Шатакишивили Т. Н. Сообщения АН ГССР, 1985, 120, № 2, 297.
3. Гордон А., Форд Р. Спутник химика, М.: Мир, 1976, 542 с.



ФИЗИЧЕСКАЯ ХИМИЯ

УДК 547.677+543.42

Н. И. ТАБАШИДЗЕ, Г. В. СЕМЬЯ, Т. А. ТЕПЛИЦКАЯ

ВЛИЯНИЕ АЛКИЛ- И АРИЛЗАМЕЩЕНИЯ НА ЭЛЕКТРОННЫЕ СПЕКТРЫ ПОГЛОЩЕНИЯ ФЕНАНТРЕНОВЫХ УГЛЕВОДОРОДОВ

В настоящее время существует большое число работ, посвященных влиянию различных заместителей на электронные спектры поглощения полициклических ароматических углеводородов. Собраны большие коллекции электронных спектров поглощения в таких атласах и справочниках как, например, [1—3]. На их основе были предприняты попытки классификации эффектов замещения в ароматических системах [1—4]. Одной из наиболее удачных и полных является классификация Р. Джонса [5], согласно которой выделяются 4 основных эффекта: тонкоструктурный, батохромный, эффект сопряжения и стерического затруднения. В связи с ростом количества новых синтезированных ароматических углеводородов представляют определенный интерес систематические исследования электронных спектров поглощения этих соединений, определение степени их соответствия и отличия от принятой ранее классификации эффектов.

В данной работе изучены спектры поглощения ряда замещенных фенантрена с целью выяснения влияния различных алкильных, арильных и более сложных заместителей на абсорбционные свойства этих молекул. Были изучены следующие замещенные фенантрена: 1-метил-(I), 9-н-пропил-(II), 9-н-бутил-(III), 9-изобутил-(IV), 9-изоамил-(V), 9-гептил-(VI), 9-додецил-(VII), 9-циклогексенил-(VIII), 1-метил-7-изопропил-(IX), 9,10-диэтил-(X), 9,10-диизоамил-(XI), 2-фенил-(XII), 9-фенил-(XIII), 2-циклогексил-(XIV), 9-флуоренилфенантрены (XV) и 1,2,3,4-дibenzo-9-фенилфлуорен (XVI). Все перечисленные вещества синтезированы в лаборатории химии нефти Института физической и органической химии им. П. Г. Меликишвили АН ГССР. Для проверки степени чистоты исследуемых соединений были использованы методы жидкостной хроматографии высокого давления (ЖХВД) и молекулярной масс-спектрометрии (МС). Сопоставление полученных результатов показало достаточную степень чистоты соединений. Исключение составляют соединения VIII и X. В соединении VIII обнаружены небольшие содержания примеси соединения с молекулярной массой 258, а в соединении X — с молекулярной массой 220. Однако небольшие количества примесных молекул в этих соединениях не оказали заметного влияния на характер их электронных спектров поглощения.

Спектры поглощения перечисленных выше веществ были записаны на спектрофотометре «Specord UV VIS» при комнатной температуре. В качестве растворителя применялся н-гексан, предварительно очищенный путем сорбции на силикагеле и перегонки. Спектры соединений I—VIII, X, XI, XIV, XV, XVI до настоящего времени в литературе не описаны. Длины волн максимумов поглощения и логарифмы молярного коэффициента поглощения ($I_{\text{lg}\epsilon}$) 16-ти замещенных фенантрена вместе со спектром исходной молекулы приведены в таблице 1.

Таблица 1

УФ - спектры поглощения фенантреновых производных



Вещество	λ (макс.) (нм.)		Вещество	λ (макс.) (нм.)	
	1	2		1	2
	1	2		1	2
фенантрен			9 - гептилфенантрен (VI)	(250)	(4,7)
	246	4,7		254	4,8
	253	4,8		272	4,2
	276	4,5		279	4,1
	283	4,4		289	4,0
	296	4,5		300	4,6
	314	2,2		319	2,3
	318	2,3		328	2,4
	326	2,4		334	2,5
	333	2,4		344	2,4
	340	2,4		352	2,6
	348	2,3			
1 - метил - — фенантрен (I)	(250)	(4,7)	9 - додецилфенантрен (VII)	(248)	(4,6)
	257	4,8		253	4,6
	278	4,1		271	3,9
	287	4,0		278	3,8
	300	4,2		287	3,7
	320	2,5		298	3,8
	328	2,5		318	2,1
	335	2,6		326	2,1
	343	2,6		335	2,3
	350	2,4		342	2,1
				350	2,3
9 - н - пропил- фенантрен (II)	(248)	(4,7)	9-циклогексенил- фенантрен (VIII)	(248)	(4,7)
	253	4,8		254	4,8
	271	4,5		(270)	(4,5)
	278	4,4		(277)	(4,2)
	287	4,3		286	4,0
	299	4,4		398	4,1
	319	3,5		327	2,5
	326	3,4		333	2,6
	334	3,6		342	2,5
	342	3,4		350	2,5
	350	3,6			
9-н-бутил- фенантрен (III)	(248)	(3,1)	1-метил-7- изопропил- фенантрен (IX)	(253)	(3,6)
	254	5,2		259	3,7
	271	3,7		281	3,4
	(278)	(3,6)		290	3,3
	287	3,5		303	3,4
	299	3,5		320	2,1
	320	3,8		328	2,4
	328	3,8		336	2,5
	335	3,0		343	2,3
	342	2,8		354	2,1
	351	3,0			
9-изобутил- фенантрен (IV)	(249)	(4,8)	9-10-диэтил- фенантрен (X)	254	5,1
	256	4,9		271	4,6
	(269,9)	(4,8)		299	4,4
	272	4,3		(303)	(4,2)
	279	4,2		320	1,8
	288	4,1		327	1,8
	300	4,2		333	1,9
	319	2,4		337	1,8
	328	2,4		342	1,8
				350	1,9
9-изоамил- — фенантрен (V)	(248)	(4,7)	9, 10-дизоамил- фенантрен (XI)	354	1,8
	253	4,8		250	4,6
	271	4,2		258	4,7
	277	4,1		273	4,2
	286	4,0		281	4,1
	299	4,1		293	4,0
	318	2,4		303	3,0
	327	2,3		324	2,4
	333	2,5		333	2,4
	341	2,3		339	2,6
	350	2,5		348	2,3
				355	2,6

1	2	3	1	2	3
2-фенилфенантрен (XII)	269 294 (303) (346) 388	4,7 4,4 (4,0) (3,2) 1,5	9-флуоренил- фенантрен (XV)	(249) 256 (296) 299 303 333 336 (344) (348) 352	(4,8) 4,8 (4,0) 4,0 4,1 2,3 2,4 (2,2) (2,2) 2,3
9-фенилфенан- трен (XIII)	253 286 297 (327) 334 342 350	4,9 4,1 4,2 (3,7) 3,8 3,6 3,7	1,2,3,4 - ди- бензо-9-фенил- фенантрен (XVI)	248 263 (270) 280 (294) (313) 326 332 (337)	4,5 4,4 (4,2) 4,2 (3,8) (3,9) 4,1 3,9 (4,0)
2-циклогексил- фенантрен (XIV)	(249) 255 (270) 278 284 296 (310) 318 327 333 342	(4,6) 4,7 (4,1) 4,1 4,0 4,0 (2,2) 2,2 2,2 2,2 2,1			

На основе полученных данных можно рассмотреть влияние на спектры поглощения замещенных фенантрена природы и положения заместителя, степени замещения.

При сравнении спектров моноалкилзамещенных в положении 9 — со спектром самого фенантрена виден небольшой батохромный сдвиг всего спектра в среднем на 2—3 нм и малые колебания Igε (см. табл. 1). Исключением является несколько больший батохромный сдвиг максимума поглощения на 283 нм, смещение которого достигает 6 нм. Спектры самих замещенных углеводородов в этой группе при переходе от метила к додецилу сходны между собой и практически не различаются в пределах ошибки измерений. Следовательно, эффектом действия насыщенных заместителей является небольшой батохромный сдвиг, независимость его от размеров алкильного замещения (т. е. от молекулярной массы), малые колебания Igε и сохранение общего числа линий в спектрах. Аналогичные выводы содержатся в работе [6], где рассмотрены спектры люминесценции и возбуждения люминесценции ряда алкилзамещенных фенантрена. Спектры поглощения производных фенантрена с более сложными заместителями (циклогексенил, фенил, флуоренил) в положении 9 претерпевают большие изменения по сравнению со спектрами простых алкилзамещенных. Колебательная структура спектров сглажена, хотя положение основных характерных для фенантрена максимумов поглощения сохраняется с небольшим батохромным сдвигом (β -полоса, перегибы в области ρ -полосы и α -полосы). С увеличением сложности заместителя потеря колебательной структуры сильнее. Это происходит, очевидно, за счет увеличения сопряжения в молекуле.

Соединение XVI можно рассматривать как производное фенантрена со сложным замещением в положении 9,10 — (рис. 1). Об этом го-

вирует удовлетворительное соответствие максимумов поглощения в области 246—253 и 280—340 нм в спектре данного соединения и в спектре самого фенантрена. Кроме этого, $Ig\epsilon$ для длинноволновых максимумов (313 нм, 326 нм, 337 нм) примерно в 2 раза больше, чем $Ig\epsilon$ в спектре фенантрена (314 нм, 326 нм, 340 нм). Подобное увеличение интенсивности вдвое в спектре поглощения молекул со сложным замещением для фенантреновых ядер смешанного типа было отмечено в работе [7].

Увеличение числа алкильных заместителей фенантрена до 2-х не сказывается существенно на виде спектра. Результатом является

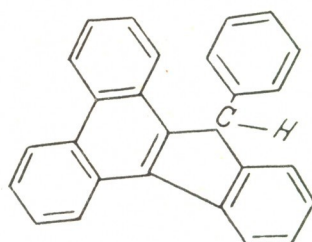


Рис.1. 1,2,3,4-дibenzo -9- фенилфлуорен

лишь увеличение батохромного сдвига до 7—9 нм и небольшое изменение общего числа линий. Введение второй алкильной группы в положение 9,10 фенантренового ядра вызывает большие изменения в спектре по сравнению с аналогичным замещением в других положениях. Количественной корреляции между величиной сдвига и степенью замещения в этих молекулах не наблюдается.

Вид электронного спектра в некоторой степени зависит от положения заместителя. При алкилзамещении позиционный эффект мал, однако при переходе к арилзамещению он становится существенным. Примером этого является хорошо известное различие спектров 2-фенил- и 9-фенилфенантрена.

При рассмотрении большого числа спектров поглощения алкилзамещенных фенантрена, описанных в атласах эталонных соединений [1—4], можно отметить одну особенность: появление нового максимума на длине волны 271 ± 1 нм при замещении в положении 9- и 9,10. Этот максимум может служить спектральным признаком алкилзамещения в этих положениях.

Таким образом, электронные спектры поглощения рассмотренной группы производных фенантрена показывают, что в данном случае превалирующая роль в изменении характера спектра принадлежит в большей степени позиционному эффекту, чем эффекту, связанному с природой заместителя. Особенно наглядно это проявляется при арилзамещении. Многоалкилзамещение в положении 9- дает небольшой батохромный сдвиг, не зависящий от размера алькильного замещения, малые колебания $Ig\epsilon$ и сохранение общего числа линий в спектрах. Диалкильное замещение лишь увеличивает батохромный сдвиг до 7—9 нм. Введение замещения в положение 9,10- приводит к большим изменениям в спектрах. В спектрах алкилзамещенных фенантрена в положениях 9- и 9,10- появляется новый максимум при длине волны 271 ± 1 нм.

Учет перечисленных выше особенностей электронных спектров поглощения производных фенантрена необходим для формализации метода безэталонного определения типа молекулярной структуры неизвестных соединений, входящих в состав сложных смесей [8].

Институт физической и органической химии
Г. М. П. Г. Меликишивили АН ГССР
Московский государственный университет
им. М. В. Ломоносова

Поступило 12.03.1985

Б. Табашидзе, Г. Семёнова, Т. Теплицкая

კლიმულ- და არილ-ჩანაცვლებლების გავლენა ფენანტრენული
ნაზირების უთანოების ელექტრონულ სპექტრებზე

რეზიუმე

შესწავლითა ფენანტრენული ნახშირწყალბადების 16 ალკილ- და არილ- ჭარმოებულის შთანთქმის ელექტრონული სპექტრი. მიღებულია მათი ფგულური იღენტიფიკაციის კრიტერიუმები და დაღვენილია ფენანტრენის მოლეკულაში ჩამნაცვლებლის ხასიათისა და მდგომარეობის მიხედვით სპექტრალური ქცევის თავისებურებანი.

N. I. TABASHIDZE, G. V. SEM'YA, T. A. TEPLITSKAYA

THE EFFECT OF ALKYL- AND ARYL-SUBSTITUTION ON
ELECTRON ABSORPTION SPECTRA OF PHENANTHRENE
HYDROCARBONS

Summary

Electron absorption spectra of 16 alkyl- and aryl-substituted derivatives of phenanthrene have been studied. The criteria of their group identification have been revealed as well as some unique peculiarities of the spectral pattern depending on position and substitution behaviour in the phenanthrene molecule.

ლიტერატურა — ЛИТЕРАТУРА — REFERENCES

1. Friedel J. R. and Orchin M., UV Spectra of aromatic compounds, N. Y., 1958
2. Hirayama K., Handbook of UV and Visible Absorption Spectra of Organic compounds, N. Y., 1967
3. Hershenson, Herbert M. UV and Visible Absorption Spectra. N. Y., 1958.
4. Laffey H. H., Orchin Milton., Theory and Applications of UV Spectroscopy. N. Y., 1964
5. Jones R. N. J. Am. Chem. Soc., 1945, 67, 21,27
6. Алексеева Т. А., Табашидзе Н. И., Теплицкая Т. А., Уткина Л. Ф., Меликадзе Л. Д. Сообщения АН ГССР, 1978, 90, 1, 73.
7. Сирюк Л. Г., Зимица К. И., Химия и технология топлив и масел, 1963, № 5, 23.
8. Алексеева Т. А., Теплицкая Т. А., Спектрофлуориметрические методы анализа ароматических углеводородов в природных и техногенных средах, Л.: Гидрометеоиздат, 1981, 76.

УДК 537.311.33.661.7

Д. Н. АНЕЛИ, М. И. ТОПЧИАШВИЛИ

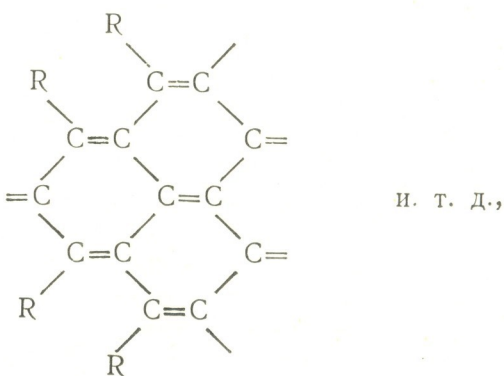
ОБРАЗОВАНИЕ ВЫСОКОМОЛЕКУЛЯРНОГО СОЕДИНЕНИЯ С ПОЛУПРОВОДНИКОВЫМИ СВОЙСТВАМИ ПРИ ПОЛИМЕРИЗАЦИИ ПОЛИХЛОРБУТАДИЕНА ПОД ВЫСОКИМ ДАВЛЕНИЕМ

Полимеры с полупроводниковыми свойствами с низкой термической энергией активации проводимости (меньше 0,1 Эв), как правило, получают в процессе термолиза синтетических полимеров в инертной атмосфере при высоких ($300-800^\circ$) температурах в результате образования двойных сопряженных связей по известному механизму [1]. В публикуемой литературе нет сведений о получении высокомолекулярных соединений с полупроводниковыми свойствами при высоких давлениях и относительно низких температурах (относительно диапазона температур термолиза).

При синтезе полихлорбутадиена на основе 1,1,2,3 — тетрахлорбутадиена — 1,3 в условиях высоких давлений (1400 МПа) при температуре 50° без инициатора нами был получен нерастворимый продукт темно-коричневого цвета.

По данным элементного анализа содержание углерода в продукте — 75%, водорода — 0,79%, хлора — 20%. ИК-спектр имеет вид, характерный для карбонизованных полимеров с системой сопряжения связей. Методом рентгенографического анализа при комнатной температуре обнаружены следы кристаллических областей в продукте. Электропроводность при комнатной температуре около $4 \cdot 10^{-3} \Omega^{-1} \cdot \text{м}^{-1}$. Температурная зависимость электропроводности описывается формулой $\sigma = \sigma_0 \exp(-\Delta E/RT)$, известной для органических полупроводников с двойными сопряженными связями.

Экспериментальные данные позволяют предположить, что полученное вещество представляет собой высокомолекулярное соединение с развитой системой двойных сопряженных связей, фрагмент молекулярной структуры которого гипотетически можно представить в следующем виде:



где $R = Cl, H$

Методом ЭПР зарегистрировано наличие в веществе парамагнитных центров (ПЦ). Сигналы ЭПР как исходного образца в присутствии атмосферного кислорода, так и образца в вакууме (10 МПа) видели одиночной линии с g-фактором, близким к чисто спиновому значению (рис. 1). Интенсивность линий ЭПР в обоих случаях меняется согласно закону Кюри в интервале температур от -196°C до 20°C . Различие наблюдается в ширине и интенсивности линий.

Для вакуумированного образца ширина линии значительно меньше ($0,9$ мТ), чем исходного (8 мТ), а концентрация ПЦ в первом образце ($5 \cdot 10^{22}$ спин/кг) почти на порядок выше, чем во втором.

Анализ формы линий, проведенный методом линейных анаморфоз [2], показал, что синглетная линия ЭПР поглощения, соответствующая веществу в вакууме, имеет смешанную форму (в центральной ча-

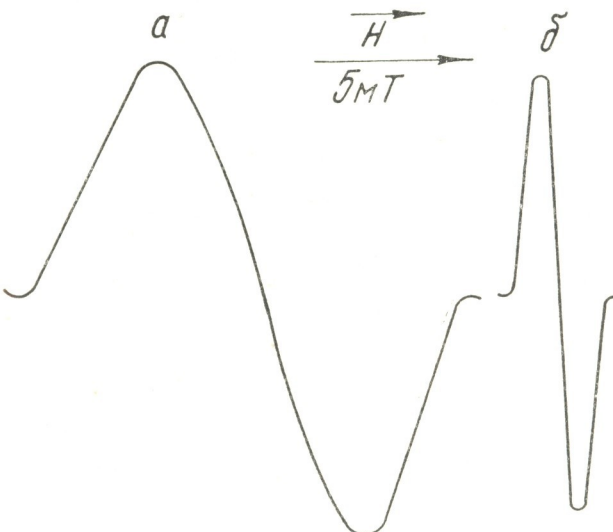


Рис. 1. Спектры ЭПР полимера в присутствии воздуха (а) и в вакууме (10 МПа) (б).

сти Лоренцова, а на крыльях — Гауссова). Лоренцова форма и узость линии ЭПР свидетельствуют о значительной делокализации ПЦ, т. е. о наличии в веществе областей полисопряжений [3].

Опыты по насыщению линий ЭПР показали, что в интервале мощностей СВЧ от 0 до 50 децибелл сигнал не насыщается, и ширина не меняется. Кислородный эффект обратим: при нарушении вакуума исходный сигнал восстанавливается.

На основе этих факторов можно сделать вывод, что уширение линий имеет неоднородный характер.

Вероятно, адсорбированные молекулы кислорода локализуются вблизи областей делокализации ПЦ (полисопряжения) и усиливают взаимодействие между ними (по методу, предложенному в работе [2], оценка частоты обмена дает значение $H_e = 0,4$ мТ). Так как при введении воздуха в образец одновременно с уширением линии происходит уменьшение концентрации ПЦ, можно предположить, что кислород образует непарамагнитный комплекс, в котором перекрываются орбитали двух неспаренных π -электронов одной молекулы кислорода и двух неспаренных π -электронов адсорбента. Однако обратимость кислородного эффекта указывает на его физический характер и в данном случае хемосорбция должна протекать без разрыва связей молекулы кислорода.

Такая интерпретация согласуется с представлением о природе обратимой низкотемпературной хемосорбции [4].

В целом сигнал ЭПР и свойства соответствующих ему ПЦ в исследуемом нами веществе во многом схожи с таковыми для термолизованных высокомолекулярных соединений с развитой системой полисопряжения [3]. Механизм структурных превращений исследуемого высокомолекулярного соединения и образования в нем ПЦ, вероятно, определяется особенностями формирования молекулярной и надмолекулярной структур в условиях высоких давлений.

Грузинский научно-исследовательский институт
энергетики и гидротехнических
сооружений (ГрузНИИЭГС)

Поступило 21.05.1985

ჯ. ანელი, მ. თოჭიაშვილი

ნახევრადგამთარული თვისებების მაღალმოლეკულური ზენართის
წარმოქმნა გადალი ფენის პირველში პოლიალორბულის
პოლიალიზაციის დროს

ელექტრული პარამეტრის რეზონანსის ხაზის ფორმისა და სიგანის
ექსპრიმენტული მოზაცემების და ელექტროგამტარობის ტემპერატურაზე
დამოკიდებულების შესწავლის შედეგად დადგენილია, რომ მაღალი წნევისა
და შედარებით დაბალი ტემპერატურის პირობებში 1, 1, 2, 3-ტეტრაქლორბუ-
ტადიენ-1, 3-ის პოლიმერიზაციისას წარმოიქმნება ნახევრადგამტარული თვა-
სებების მქონე პოლიმერი.

D. N. ANELI, M. I. TOPCHIASHVILI

PRODUCTION OF A HIGH-MOLECULAR COMPOUND WITH SEMICONDUCTING PROPERTIES BY POLYMERIZATION OF POLYCHLORBUTADIENE UNDER HIGH PRESSURE

Summary

Electroconductive and magnetic properties of a high-molecular compound produced by polychlorbutadiene polymerization under high pressure have been investigated.

A possibility of formation of a polymeric semiconducting material with high electroconductivity as a result of polymerization of monomers under high pressure is shown on the basis of experimental data on the temperature dependence of electroconductivity and EPR line shape and width.

ლიტერატურა — ЛИТЕРАТУРА — REFERENCES

1. Паушкин Я. М., Вишнякова Т. П., Лунин А. Ф., Низова С. А. Органические полимерные полупроводники. М., Химия, 1971, с. 43.
2. Тихомирова Н. Н., Воеводский В. В. Оптика и спектроскопия, 1959, т. 7, № 4, с. 829.
3. Пеньковский В. В. Теор. и эксп. химия, 1967, т. 3, № 1, с. 37.
4. Сыркин Я. К. Ж. структурной химии, 1960, т. 1, № 5, с. 872.

УДК 541.135

А. Ш. АВАЛИАНИ, И. В. ХАРЧИЛАДЗЕ, З. Д. ДЖМУХАДЗЕ

ИССЛЕДОВАНИЕ УСЛОВИЙ ЭЛЕКТРОЛИЗА В СИСТЕМЕ $\text{Cu-Al-Ca}/\text{CaCl}_2, \text{NaCl}/\text{Cl}_2(\text{C})$

Несмотря на многочисленные области применения кальция и его сплавов [1, 2], объем его производства по сравнению с другими легкими металлами мал. Это объясняется технологическими сложностями получения кальция [3, 4].

Изучение процессов сплавообразования на жидкокометаллических катодах представляет интерес и в связи с получением металлического кальция дистилляцией сплава Cu—Al—Ca. Сам сплав рекомендован для раскисления сталей.

Целью работы является установление возможности и условий получения тройного сплава Cu—Al—Ca электролизом ионных расплавов, в частности, влияния различных факторов на величину выхода по току.

Исследования проводили в электролитической ячейке в корундовороном стакане с исследуемым электролитом и жидкокометаллическим катодным сплавом. В качестве такового служил медно-алюминиевый сплав (33:67 по массе). Токоподводом к сплаву служила молибденово-

Таблица 1

Состав отходов содового
производства

Компонент	Содержание, масс. %
CaCl_2	66—68
NaCl	27—29
$\text{Ca}(\text{OH})_2$	0,2—0,4
CaCO_3	0,4—0,5
CaSO_4	0,5—0,6
NH_4OH	остальны

вая проволока, изолированная фарфоровой трубкой, а анодом — стеклографит марки СУ-1200; в качестве электролита была взята смесь CaCl_2 — NaCl — отход содового производства (табл. 1).

С целью определения оптимальных условий ведения процесса электролиза была изучена зависимость величины выхода по току от изменения катодной плотности тока, температуры, степени насыщения кальцием катодного сплава и его толщины.

Как видно из рис. 1, с увеличением катодной плотности тока в пределах от 0,1 до 0,5 A/cm^2 кривая зависимости $S=f(D_k)$ проходит через максимум, что характерно для процессов электролиза с жидким катодом: с ростом величины плотности тока повышается скорость выделения кальция, выход по току при этом растет до достижения плотности тока 0,4 A/cm^2 . Выше этого предела выход по току падает из-за превышения скорости выделения кальция над скоростью диффузии его в глубину катода, что способствует увеличению потерь кальция.

Величина выхода по току уменьшается при увеличении продолжительности опыта (рис. 2), причиной чего является перенасыщение катодного сплава кальцием и повышение его активности в сплаве, что способствует растворению кальция в расплавленном электролите.

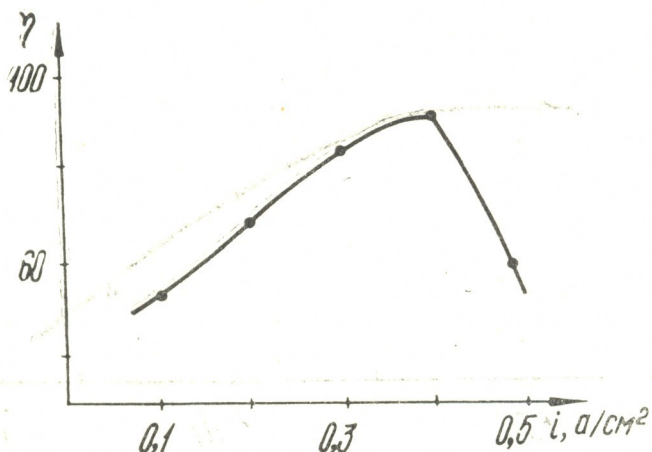


Рис. 1. Зависимость выхода по току от катодной плотности тока

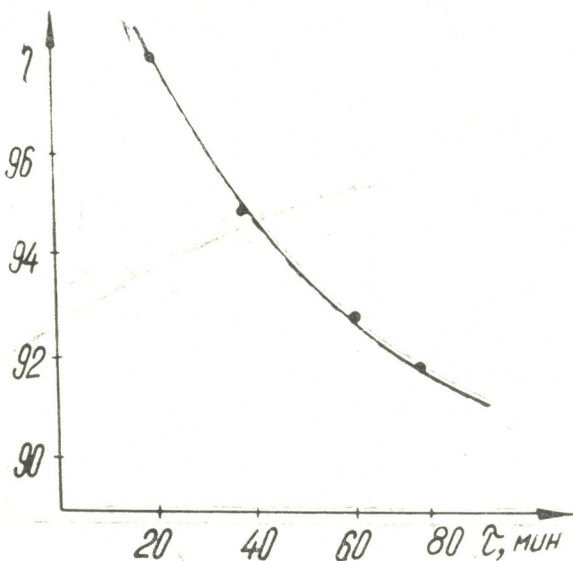


Рис. 2. Зависимость выхода по току от продолжительности опыта $D_k=0,4 \text{ A}/\text{cm}^2$

Из анализа данных по зависимости величины выхода по току от температуры (рис. 3) следует, что с повышением температуры растет величина диффузии кальция, при этом, однако, растет и химическое взаимодействие металла с солевой фазой, что является причиной уменьшения величины выхода по току.

Степень выхода по току понижается при увеличении толщины катодного слоя при неизменной концентрации (рис. 4), т. к. при увеличении продолжительности опыта повышается вероятность взаимодей-

ствия кальция с солевой фазой. При постоянной концентрации сплава с увеличением толщины катода увеличивается время контакта сплава с электролитом, способствуя понижению концентрации сплава.

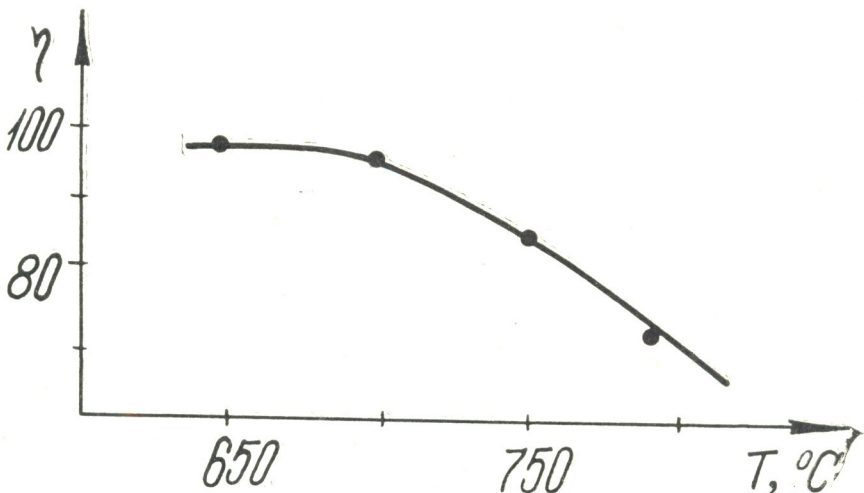


Рис. 3. Зависимость выхода по току от температуры

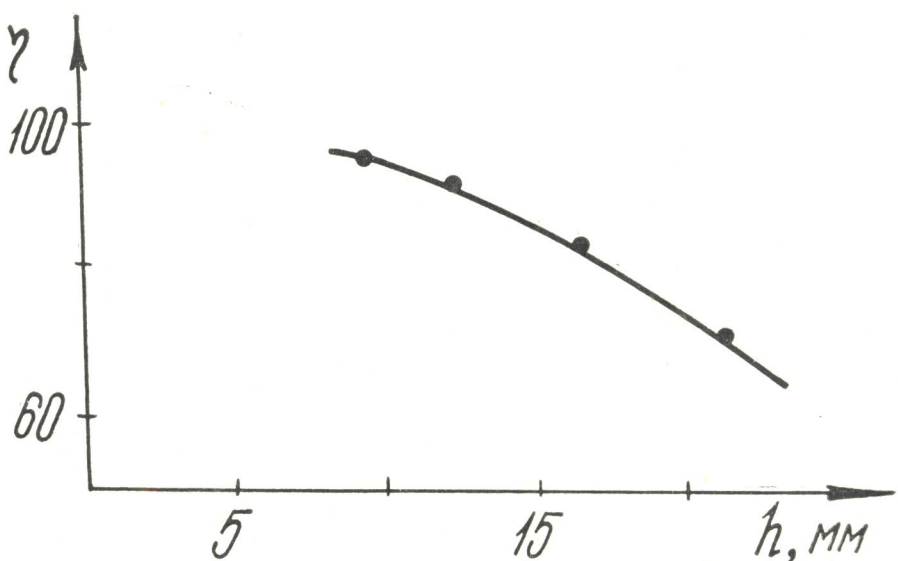


Рис. 4. Зависимость выхода по току от толщины катода

Подобраны оптимальные условия процесса: температура 700°C, плотность тока 0,4 А/см², толщина катода 12 мм. При этих условиях величина выхода по току составляет 90%.

ელექტროლიზის პროცესის პირობების გამოკვლევა დისტანციაზე

Cu-Al-Ca/Ca Cl₂, NaCl/Cl₂(C)

რეზიუმე

შესწავლილია სპილენძ-ალუმინის გამლოვალ კათოდზე იონური ლლობილებიდან კალციუმის ელექტროქიმიური აღდგენის შესაძლებლობა და პირობები.

ელექტროლიზის პროცესის ჩასატარებლად ოპტიმალურად არის მიჩნეული: ტემპერატურა — 700°, დენის სიმკვრივე კათოდზე 0,4 ა/სმ², თხევადი კათოდის ფენის სისქე — 12 მმ.

ფაქტორები, რომლებიც ხელს უწყობენ გამოლექილი კალციუმის დაფანგვას და ხსნადობას ელექტროლიტში (ტემპერატურის გაზრდა, კათოდის ზედაპირის გაფერება კალციუმით და სხვ), მეცირებს პროდუქტის გამოსავლის სიღილეს.

A. Sh. AVALIANI, I. V. KHARCHILADZE, Z. D. JMUKHADZE

STUDIES OF ELECTROLYSIS CONDITIONS IN THE
Cu-Al-Ca, /CaCl₂, NaCl/ Cl₂(C) SYSTEM

Summary

A possibility and conditions of calcium electrochemical reduction from ion-melt at the copper-aluminum pool cathode have been studied.

It has been shown that the factors contributing to oxidation and dissolution of the extracted calcium in the electrolyte (rise in temperature, cathode surface oversaturation with calcium, etc,) result in the decrease of the product yield.

The optimal conditions for electrolysis appear to be as follows: temperature — 700°C, cathode current density—0.4A/cm², cathode layer thickness —12mm).

ლიტერატურა — REFERENCES

1. Морачевский А. Г., Авалиани А. Ш., Миндин В. Ю. Жидкие катоды, Тбилиси: Мецниереба, 1978, с. 116.
2. აგლაძე ხ., ავალიანი ა., იონურ ლლობილთა ელექტრომეტალურგია, თბილისი: მეცნიერებელი განვითარების აკადემია, 1983, გვ. 171.
3. Родякин В. В. Кальций, его соединения и сплавы. М.: Металлургия, 1967, с. 84.
4. Доронин Н. А. Кальций. М.: Госатомиздат, 1962, с. 84.
5. ავალიანი ა., ლლობილთა ელექტროლიზი. თბილისი: მეცნიერებელი განვითარების აკადემია, 1972, გვ. 84.



УДК 666.11.01

А. В. САРУХАНИШВИЛИ, В. Ю. МИНДИН, Ж. С. ГАЛУАШВИЛИ,
М. Я. ЗЕВИН

РАСЧЕТ ТЕРМОДИНАМИЧЕСКИХ ПАРАМЕТРОВ ИНКОНГРУЭНТНО И ҚОНГРУЭНТНО ПЛАВЯЩИХСЯ СИЛИКАТОВ НА ОСНОВЕ АЛГОРИТМА Н. А. ЛАНДИЯ

Задача прогнозирования результатов синтеза новых материалов, в том числе и силикатных, является весьма актуальной, так как позволяет в сжатые сроки и без существенных материальных затрат определить оптимальные соотношения исходных материалов и оптимальные условия проведения синтеза.

Очевидно, что одним из основных условий, определяющих достоверность прогноза, является использование достаточно точных термодинамических параметров всех веществ, которые учтены при прогнозировании.

В настоящее время источниками термодинамических параметров являются справочные издания, прямые экспериментальные определения и расчетные методы, использующие корреляции различного рода.

Первые два источника во многих случаях удовлетворяют реальные потребности в малой степени, поэтому единственный путь получения недостающей информации — генерация термодинамических параметров с помощью приближенных методов расчета [1].

Среди относительно большого числа этих методов привлекает внимание метод академика АН ГССР Н. А. Ландия [2] расчета высокотемпературной теплоемкости по стандартной энтропии.

Сущность метода Ландия заключается в том, что теплоемкость вещества и его энтропия являются функциями одного и того же аргумента — Θ/T (Θ — характеристическая температура вещества, T — абсолютная температура). Это позволяет определять среднюю характеристическую температуру вещества, исходя из стандартной энтропии, а далее, с поправками, учитывающими особенности конкретного класса веществ, рассчитывать изохорную теплоемкость. Последняя пересчитывается в изобарную теплоемкость (теплоемкость рассчитывается в трех температурных точках). Решением системы линейных уравнений получаются коэффициенты аппроксимирующего полинома для теплоемкости.

Алгоритм метода Н. А. Ландия [2] привлекателен по целому ряду обстоятельств; он охватывает широкий класс веществ, детально проработан и содержит четкие логические критерии, отдельные «ветви» алгоритма Ландия полностью автономны, что, в свою очередь, позволяет создавать автономные программы, ориентированные на конкретные запросы и, наконец, в [2] приведено много тщательно подобранных числовых параметров, позволяющих, как показал опыт, быстро отлаживать программы. Вместе с тем необходимо отметить, что практическая реализация алгоритма Ландия требует большого объема работы, т. к. реализация только двух ветвей этого алгоритма — по конгруэнтно и инкогруэнтно плавящимся кислородным соединениям потребовала в общей сложности 159 операторов на языке ФОРТ-РАН-IV и приблизительно такого же количества операторов на

БЕЙСИК е. Наличие большого числа операторов объясняется тем, что было признано рациональным организовать указанные программы как диалоговые (рис. 1), так как только при таком подходе, по нашему мнению, реализуются те возможности, которые содержатся в методе Ландия, а именно — возможность уточнения получаемых результатов на основании их критической оценки и последующей корректировки ответов на запросы ЭВМ.

```

.R LANDIA
ФОРМУЛА В-ВА И КОММЕНТ. [ДО 50 СИМВ.] :? MG2[SI04]
ВНИМАНИЕ!
ОТВЕТЬ НА СЛЕДУЮЩИЕ ВОПРОСЫ, ОТВЕТЫ ВВОДИ С ТОЧКОЙ ПОСЛЕ ЦИФРЫ [2.]:
ТЕМПЕРАТУРА ПЛАВЛЕНИЯ СОЕДИНЕНИЯ=? 216.
ПЛАВЛЯЕТСЯ ИНКОНГРУЕНТНО [1=ДА, 0=НЕТ]? 0.
ЧИСЛО АТОМОВ В СОЕДИНЕНИИ?= 7.
ОБЩЕЕ ЧИСЛО АТОМОВ В КАТИОНАХ?= 2.
ОБЩЕЕ ЧИСЛО АТОМОВ В АНИОНАХ?= 5.
ЧИСЛО АТОМОВ [ С ] В СОЕДИНЕНИИ?= 0.
ЧИСЛО АТОМОВ [ В ] В СОЕДИНЕНИИ?= 0.
ЧИСЛО АТОМОВ [ О ] В СОЕДИНЕНИИ?= 4.
ЧИСЛО АТОМОВ [ F ] В СОЕДИНЕНИИ?= 0.
ЧИСЛО АТОМОВ [ SI ] В СОЕДИНЕНИИ?= 1.
ЧИСЛО АТОМОВ [ P ] В СОЕДИНЕНИИ?= 0.
ЧИСЛО АТОМОВ [ S ] В СОЕДИНЕНИИ?= 0.
СУММАРНОЕ ЧИСЛО АТОМОВ ОСТАЛЬНЫХ
ЭЛЕМЕНТОВ В СОЕДИНЕНИИ = 2.0
СУММА АТОМНЫХ ТЕПЛОЕМКОСТЕЙ = 32.28800
ЕСТЬ НАДЕЖНОЕ ЗНАЧЕНИЕ НАДКОТЕМПЕРАТУРН. ТЕПЛОЕМКОСТИ [1=ДА, 0=НЕТ] ? 0.
СТАНДАРТНАЯ ЭНТРОПИЯ(G298, ККАЛ/МОЛ)=? 22.75
СТАНДАРТНАЯ ЭНТАЛЬПИЯ(H298, ККАЛ/МОЛ)=? -519.1
СТАНДАРТНАЯ ЭНЕРГИЯ ГИББСА(G298, ККАЛ/МОЛ)=? -490.66
АТОМНАЯ ЭНТРОПИЯ= 3.25260
ТЕПЛОЕМКОСТИ ПРИ 298 К, 673 К, Т ПЛ.= 28.80301 38.48222 47.52456
КОЭФ.ПОЛИН. С(Т)=44.3*T+С/(T**2); А?= 0.37059E+02 В?= 0.49303E+02
С?= -0.35033E+05

PAUSE -- ВКЛЮЧИ АЦП

```

Рис. 1. Фрагмент протокола работы с программой (подчеркнута информация, вводимая оператором в ответ на вопросы ЭВМ).

Воздерживаясь от анализа ряда интересных аспектов, отметим, что при осуществлении расчетов с четкой «практической» направленностью (например прогнозирование тех или иных технологических процессов) реализация программ по алгоритму Ландия перестает быть самоцелью, а становится частью программного комплекса исследования сложных химических взаимодействий. Для этих целей, как показывает опыт, наиболее важными являются данные не по высокотемпературным теплоемкостям, а взаимосвязанные с этими величинами значения энергий Гиббса и энталпии.

При практическом проведении расчетов необходимо решить ряд конкретных вопросов [3], связанных, в частности, с выбором стандартной температуры, схема вычисления энергии Гиббса, а также процессов организации вычислений.

Наиболее сложным представляется выбор схемы вычисления энергии Гиббса. Мы остановились на расчете так называемой «приведенной энергии Гиббса» (ПЭГ), использованной в работе [4]:

$$C_t^\circ = \frac{G_t^\circ}{RT}, \quad (1)$$

где G_t° — энергия Гиббса,

R — универсальная газовая постоянная,

T — температура, К

Выбор ПЭГ для проведения расчетов удобен по ряду обстоятельств, среди которых два, на наш взгляд, весьма существенны. Во-первых, для химических реакций константа равновесия связана



с ПЭГ простым соотношением (2), позволяющим определять константу равновесия процесса простым суммированием (с учетом стехиометрических коэффициентов):

$$\ln K_r = -\Delta C_r , \quad (2)$$

где ΔC_r — изменение ПЭГ химической системы в результате установления равновесия.

Второе — при расчетах на ЭВМ предпочтительно пользоваться числами не слишком большими по абсолютной величине — этому требованию ПЭГ полностью удовлетворяет.

Дополнительно отметим, что с изменением температуры ПЭГ меняется в значительно меньших пределах, чем энергия Гиббса [5, стр. 26, сноска].

Особо следует остановиться на расчете величины G_r° , входящей в (1). Известно, что определение абсолютного значения этой величины невозможно, речь может идти лишь об определении изменения этой величины при образовании данного вещества из исходных веществ (обычно — простых веществ), если относительно некоторого состояния этих веществ имеется определенная договоренность (так называемое «стандартное состояние»).

Мы остановились на схеме расчета, предложенной в [6]. По этой схеме для каждого вещества рассчитывается величина, использование которой при расчете равновесий, естественно, дает такие же результаты, как и G_r° :

$$g_r^\circ = \Delta G_f^\circ,_{298} + [G_r^\circ - G^\circ,_{298}] , \quad (3)$$

где $\Delta G_f^\circ,_{298}$ — изменение энергии Гиббса в результате образования вещества из простых веществ в стандартных условиях; $G_r^\circ - G^\circ,_{298}$ — изменение энергии Гиббса вещества при повышении температуры до T , К.

Известно [3]:

$$G_r^\circ - G^\circ,_{298} = -T \int_{298}^T \frac{dT}{T^2} \int_{298}^T C_p dT , \quad (4)$$

где C_p — теплоемкость вещества.

Так как обычно зависимость теплоемкости от температуры выражают полиномом:

$$C_p = a + bT + cT^2 \quad (5)$$

то для расчета по (3) необходимо подставить (5) в (4) и проинтегрировать полученное выражение.

Относительно несложные преобразования приводят к следующему уравнению:

$$G_r^\circ - G^\circ,_{298} = -S^\circ,_{298}(T - 298) + M_0 Ta + M_1 Tb + M_{-2} Tc , \quad (6)$$

где M_0 , M_1 , M_{-2} — коэффициенты Темкина и Шварцмана [3], которые с точностью до множителя T совпадают с коэффициентами A_g , B_g , C_g [6]

Для расчетов на ЭВМ удобно преобразовать коэффициенты, входящие в (6); сделаем это, используя символику [6] и введя обозначение $X = T/T_0$. Тогда:

$$\begin{aligned} A_g &= T_0(X \ln X - X + 1) \\ B_g &= 0,5[T_0(X - 1)]^2 \\ C_g &= (X - 1)^2/2T_0 X \end{aligned} \quad (7)$$

Аналогично записываем уравнения и коэффициенты для расчета изменения энталпии и энтропии:

$$H_f^\circ - H_{298}^\circ = aA_h + bB_h + cC_h \quad (8)$$

$$A_h = T_0(X - 1) \quad (9)$$

$$B_h = 0,5T_0A_h(X + 1)$$

$$C_h = A_h/T_0^2 X$$

$$S_f^\circ - S_{298}^\circ = aA_s + bB_s + cC_s \quad (10)$$

$$A_s = \ln X$$

$$B_s = A_h$$

$$C_s = 0,5(X^2 - 1)/T_0^3 X^2 \quad (11)$$

НЕШЕСТВУЮЩИЕ СОСТОЯНИЯ

ТЕМП. ПЛАВЛН. 2168,0 К, 1887,0 С
 №2952 -519,10 3298# 22,75 6298# -490,66
 КОЭФ. ПОЛИН. С(T)=4484+6/(T+21)
 #= 8,37859E+02 0E 0,49303E-02 C= -0,85853E+00

РАЗМЕРНОСТИ: СР И ST [КАЛ/МОЛ*К], НТ И GT [КАЛ/МОЛ], G/GT = БЕЗРАЗМЕРНАЯ

T, K	T, C	СР	НТ	ST	GT	G/GT
298,0	25,0	28,853	-514049,469	22,750	-490660,0	-828,558
323,0	50,0	30,125	-518358,107	25,140	-491198,7	-765,267
348,0	75,0	31,687	-517581,250	27,450	-491678,6	-710,985
373,0	100,0	32,724	-516775,625	29,691	-492101,6	-663,903
423,0	150,0	34,340	-515096,562	33,913	-492785,2	-580,240
473,0	200,0	35,555	-515347,687	37,620	-493265,6	-524,781
523,0	250,0	36,582	-51545,406	41,441	-493558,0	-474,892
573,0	300,0	37,270	-509700,502	44,009	-493675,7	-433,556
623,0	350,0	37,914	-507820,457	47,955	-493630,7	-398,724
673,0	400,0	38,482	-5055910,094	50,904	-493435,5	-368,954
723,0	450,0	38,982	-505975,250	53,080	-493493,2	-343,201
773,0	500,0	39,434	-506212,087	56,302	-492618,1	-320,693
823,0	550,0	39,850	-5060030,540	59,786	-492815,3	-300,041
873,0	600,0	40,237	-498028,107	61,148	-491291,5	-283,194
923,0	650,0	40,602	-498007,125	63,399	-490452,4	-267,395
973,0	700,0	40,950	-495968,281	65,550	-488953,2	-253,163
1023,0	750,0	41,285	-491912,406	67,611	-488448,8	-248,271
1073,0	800,0	41,604	-485840,187	69,580	-487293,5	-228,533
1123,0	850,0	41,915	-487752,187	71,490	-486641,3	-217,797
1173,0	900,0	42,219	-485646,812	73,323	-484695,7	-207,936
1223,0	950,0	42,515	-483550,406	75,091	-483260,1	-198,844
1273,0	1000,0	42,806	-481397,375	76,861	-481737,5	-190,432
1373,0	1100,0	43,373	-477088,512	80,059	-478442,8	-175,355
1473,0	1200,0	43,926	-472723,250	83,127	-474832,1	-162,217
1573,0	1300,0	44,468	-466330,549	86,030	-470922,4	-150,654
1673,0	1400,0	45,001	-463830,000	88,787	-466730,9	-140,388
1773,0	1500,0	45,528	-459303,500	91,415	-462269,8	-131,205
1873,0	1600,0	46,049	-454724,556	93,927	-457551,8	-122,951
1973,0	1700,0	46,566	-450093,844	96,330	-452587,8	-115,434
2073,0	1800,0	47,080	-445411,551	98,651	-447387,8	-108,683
2162,0	1887,0	47,525	-441296,219	100,395	-442678,6	-103,152

Рис. 2. Распечатка результатов работы программы

Для $T_0 = 298,16$ К выражения (7), (9) и (11) принимают следующий вид:

$$\begin{aligned}
 A_g &= 298,16(X\ln X - X + 1) \\
 B_g &= 44450(X - 1)^2 \\
 S_g &= 1,677 \cdot 10^{-3}(X - 1)^2/X \\
 A_h &= 298,16(X - 1) \\
 B_h &= 149,08 \cdot A_h(X + 1) \\
 C_h &= 1,1249 \cdot 10^{-5} \cdot A_h/X \\
 A_s &= \ln X \\
 B_s &= A_h \\
 C_s &= 1,8863 \cdot 10^{-8}(X^2 - 1)/X^2
 \end{aligned} \quad (12)$$

Эти соотношения использованы в программе расчета термодинамических параметров конгруэнто и инконгруэнто плавящихся веществ на основе метода Ландия.

Результатом работы программы являются значения коэффициентов a , b , c аппроксимирующего полинома и табулированные значения термодинамических параметров. На рис. 2 приведены результаты расчета

Таблица 1

Значения коэффициентов аппроксимирующего $C_p = a + bT + cT^{-2}$
ряда силикатов

Вещество	Коэффициенты		
	a	$b \cdot 10^3$	$c \cdot 10^{-5}$
Конгруэнто плавящиеся			
$2\text{MgO} \cdot \text{SiO}_2$ форстерит	37,06	4,93	— 8,58
$\text{CaO} \cdot \text{MgO} \cdot 2\text{SiO}_2$ диопсид	53,24	8,00	— 13,88
$2\text{CaO} \cdot \text{MgO} \cdot 2\text{SiO}_2$ окерманит	63,26	9,86	— 12,5
$2\text{CaO} \cdot \text{Al}_2\text{O}_3 \cdot \text{SiO}_2$ геленит	62,1	10,8	— 10,22
$\text{Na}_2\text{O} \cdot \text{Al}_2\text{O}_3 \cdot 6\text{SiO}_2$ альбит	107,63	38,01	— 15,97
$2\text{MnO} \cdot \text{SiO}_2$ тифроит	35,94	7,83	— 4,997
$\text{MnO} \cdot \text{SiO}_2$ родонит	26,04	5,28	— 5,57
$\text{Li}_2\text{O} \cdot \text{SiO}_2$	27,08	8,29	— 3,93
Инконгруэнто плавящиеся			
$3\text{CaO} \cdot \text{MgO} \cdot 2\text{SiO}_2$ мервинит	71,14	17,24	— 12,38
$2\text{MgO} \cdot 2\text{Al}_2\text{O}_3 \cdot 5\text{SiO}_2$ кордиерит	15,76	18,93	— 43,67
$\text{CaO} \cdot \text{FeO} \cdot 2\text{SiO}_2$ геленбергит	43,22	16,3	— 5,42
$3\text{CaO} \cdot \text{FeO} \cdot 2\text{SiO}_2$ ранкинит	62,10	13,05	— 12,17
$\text{CaO} \cdot \text{MgO} \cdot \text{SiO}_2$ монтличелит	36,58	6,05	— 7,44
$\text{CaO} \cdot \text{FeO} \cdot \text{SiO}_2$ кирштайнит	36,13	7,26	— 6,1

для $2\text{MgO} \cdot \text{SiO}_2$ (форстерит). Данные для расчета заимствованы из [7]. Аналогичные данные были получены для ряда других конгруэнто и инконгруэнто плавящихся силикатов. Часть этих результатов, а именно значения коэффициентов уравнения (5), сведены в табл. 1.

Грузинский политехнический институт
им. В. И. Ленина
Геологический институт АН ГССР
им. А. И. Джанелидзе

Поступило 16.10.1985

А. Саджебашвили, В. Морозов, З. Гагуашвили, В. Чебано

კონგრუენტულად და ინკონგრუენტულად ლილიანი სილიკათების
თერმოდინამიკური პარამეტრების გაანგარიშება 6. ლანდიას
ალგორითმის საფუძვლზე

რეზუმე

თერმოდინამიკური პარამეტრების ტემპერატურისაგან დამოკიდებულების დასადგენად გამოყენებულია 6. ლანდიას მეთოდი. ამ მეთოდის არსი მდგომარეობს იმაში, რომ ნივთიერების სითბოტევადობა და მისი ენტროპია ერთი და იგივე არგუმენტის Θ/T ფუნქციას შეადგენს.

ნაშრომში განხილულია თერმოდინამიკური პარამეტრების განსაზღვრის საანგარიშო სქემების ავების პრინციპი 6. ლანდიას ალგორითმის საფუძველზე. 6. ლანდიას პროგრამაში სითბოტევადობის პროცესირებული პოლინომი: $C_p = a + bT + cT^{-2}$ a, b, c კოეფიციენტებთან ერთად ხდება H_T და G_T სი-

დიდების და გიბსის დაყვანილი ენერგიის $C_T^0 = G_T^0/RT$ გაანგარიშება 298- $\div T_{\text{fuse}}$ ტემპერატურის ინტერვალში კონგრუენტულად და ინკონგრუენტულად ღოლბადი ნივთიერებებისათვის. პროგრამა, რომელიც მუშაობს ღიალოგურ-ჩექიში, დაწერილია „ზორტრან-4“, და „გეისიტის“ ენებზე და რეალიზებულია ელექტრონულ გამომოვლელ მანქანზე CM—4 და „ელექტრონიკა—D3—28“.

6. ლანდია დიონ პროგრამა შემდგომში საშუალებას მოგვცემს გამოვიდვლით რთული ქიმიური ურთიერთქმედებანი სხვადასხვა სილიკატური მასალების სინთეზის დროს.

A. V. SARUKHANISHVILI, V. Yu. MINDIN, Zh. S. GALUASHVILI,
M. Y. ZEVIN

COMPUTATION OF THERMODYNAMIC PARAMETERS FOR CONGRUENTLY AND INCONGRUENTLY FUSING SILICATES ON THE BASIS OF LANDIA'S ALGORITHM

Summary

Landia's method has been used to establish the dependence of thermodynamic parameters on temperature. The essence of the method lies in the fact that the heat capacity of a substance and its entropy are functions of one and the same argumentation Θ/T .

A principle of constructing computational schemes to determine thermodynamic parameters on the basis of Landia's algorithm has been considered. The coefficients a , b , c of the approximated heat capacity polynomial $C_p = a + bT + cT^{-2}$, the values H_T , G_T , and Gibbs reduced energy $C_T^0 = G_T^0/RT$ in the temperature interval $298 \div T_{\text{fuse}}$ have been calculated in Landia's program for congruently and incongruently fusing materials.

The program executed in the dialogue mode has been written in the FORTRAN—4 and BASIC languages and realised on the SM—4 and „Elektronika D3—28“ computers.

In the future Landia's program will make it possible to study complex chemical interactions of the synthesis of various silicates.

ლიტერატურა — ЛИТЕРАТУРА — REFERENCES

1. Бабушкин В. И., Матвеев Г. М., Мчедлов-Петросян О. П. Термодинамика силикатов. М.: Стройиздат, 1968, 408 с.
2. Ландия Н. А. Расчет высокотемпературных теплоемкостей твердых неорганических веществ по стандартной энтропии. Тбилиси: изд. АН ГССР, 1962, 221 с.
3. Карапетянц М. Х. Химическая термодинамика. М.: Госхимиздат, 1953, 612 с.
4. White W. B., Jonson S. M., Dantzig G. B. J. Chem. Phys., 1958, **28**, № 5, 751.
5. Киреев В. А. Методы практических расчетов в термодинамике химических реакций. М.: Химия, 1970, 520 с.
6. Карпов И. П., Киселев А. И., Летников Ф. А. Моделирование природного минералообразования на ЭВМ. М.: Недра, 1976, 256 с.
7. Термические константы веществ, М.: ВИНТИ, вып. VII, 1974, 341 с., вып. IX, 1979, 574 с., вып. X. 1981, 299 с.

УДК 541.1

М. Н. КОБИДЗЕ, Н. С. ГАЧАВА

ХРОМАТОГРАФИЧЕСКОЕ РАЗДЕЛЕНИЕ СМЕСЕЙ ПРЕДЕЛЬНЫХ И НЕПРЕДЕЛЬНЫХ УГЛЕВОДОРОДОВ (C_1-C_4) НА УЛЬТРАСИЛЕ

В последнее время особое внимание ученых привлекают синтетические сверхвысококремнеземные (СВК) цеолиты.

В начале 70-ых годов был предложен прямой метод гидротермального синтеза сверхвысококремнеземных цеолитов. В этих цеолитах модуль SiO_2/Al_2O_3 меняется от 5 до 100. Этот новый вид цеолитов сокращенно обозначают через ZSM [1] (Z—Zeolite; S—Socony; M—Mobil). В настоящее время известны цеолиты ZSM—5; 8; 11; 12 [1, 2].

Цеолиты типа ZSM из-за особой структуры и геометрической формы входных «окон» проявляют способность селективной адсорбции углеводородов, в зависимости от объемного расположения, формы и величины органических молекул. Они характеризуются малым сродством к полярным молекулам и не адсорбируют воду.

В отличие от обыкновенных высококремнеземных цеолитов (ВК) поры цеолита типа ZSM главным образом обеспечивают проникновение молекул парафиновых ациклических, нормальных и слаборазветвленных (монометилзамещенных) углеводородов.

Форма кристаллов цеолита ZSM близка к ромбической системе. Диаметр входного «окна» ZSM=6 Å, а объем пор значительно меньше объема пор цеолита типа фожазита. Существенное отличие ВК цеолитов от СВК обусловлено специфичностью строения кристаллов, суммарным объемом пор и невысокой катионной плотностью.

В научной и патентной литературе исследованию хроматографических свойств СВК цеолитов посвящено незначительное количество работ, поэтому мы решили изучить адсорбционно-хроматографические свойства цеолита ультрасил (модуль 171), аналога ZSM-5. На этом цеолите производили хроматографическое разделение смесей предельных и непредельных (C_1-C_4) углеводородов. Эксперименты проводили на хроматографе типа ЛХМ—7А. Детектором использовали катарометр. Хроматографическая колонка представляла U-образную трубку из нержавеющей стали, длина (l) которой = 1 м, а диаметр (d) — 0,4 см.

До начала опыта проводили предварительную термическую обработку образца при температуре 773 К. С целью повышения механической прочности зерен цеолита к последнему добавляли аскангилину, в количестве 10% от массы цеолита. В качестве газа-носителя использовали азот.

Ультрасил со связующей аскангилиной прессовали, диспергировали механически и для хроматографических анализов отбирали фракцию 2–2,5 мм. До начала опыта колонку с цеолитом нагревали до 573 К.

Нами изучены модельные смеси углеводородов C_1-C_4 : метан, этан, пропан, н-бутан, изобутан, этилен и пропилен.

Опыты проводились при температуре нагрева колонки: 383, 403, 433, 453, 473 К. Оптимальная объемная скорость газа-носителя азота равнялась 50 мл/мин.

Время удерживания компонентов (t_R) измерялось при разных значениях температур и величин дозы адсорбтива. Было установлено, что время удерживания увеличивается в гомологическом ряду пре-

Таблица 1

Коэффициент разделения K_1 на цеолите ZSM — 5

Наименование смеси	Температура, К	K_1
Метан — этилен	433	2,20
	453	—
	473	—
Метан — пропилен	433	2,82
	453	—
	473	—
Этан — пропилен	433	2,60
	553	—
	473	—
Пропан — пропилен	433	1,41
	453	1,21
	473	—
Н-бутан — этилен	433	2,22
	453	2,03
	473	—
Изобутан — этилен	433	3,71
	453	2,22
	473	1,58
Этилен — пропилен	433	2,13
	453	—
	473	1,78

дельных углеводородов от метана до бутана, и от этилена до пропилена (в гомологическом ряду непредельных углеводородов). На основе полученных хроматограмм вычислены коэффициенты разделения (K_1).

Коэффициент разделения применяется при полном разделении бинарных смесей. Он вычисляется по уравнению Жуховицкого

$$K_1 = \frac{\Delta x}{\eta_1 \times \eta_2} \quad [3]$$

Δx — расстояние между максимумами двух соседних пиков;
 η_1 и η_2 — ширина первого и второго пика на полувысоте.

Вычисленные нами коэффициенты разделения представлены в таблице 1.

Кроме этого мы вычисляли [4] удельные удерживаемые объемы V_g см³/г. Результаты представлены в таблице 2. Из таблицы видно, что при переходе в гомологическом ряду с метана на следующие, их удерживаемый объем (V_g) увеличивается. Этот факт объясняется ростом взаимодействия между молекулами адсорбтива и адсорбента.

Рост адсорбционных сил можно объяснить размерами молекул, ростом дисперсного взаимодействия стенок пор цеолита.

Газовая хроматография успешно применяется для определения некоторых термодинамических параметров (например, для теплоты адсорбции, свободной энергии, изменения энтропии и др.). Эти параметры дают возможность характеризовать взаимодействия между адсорбентом и адсорбтивом.

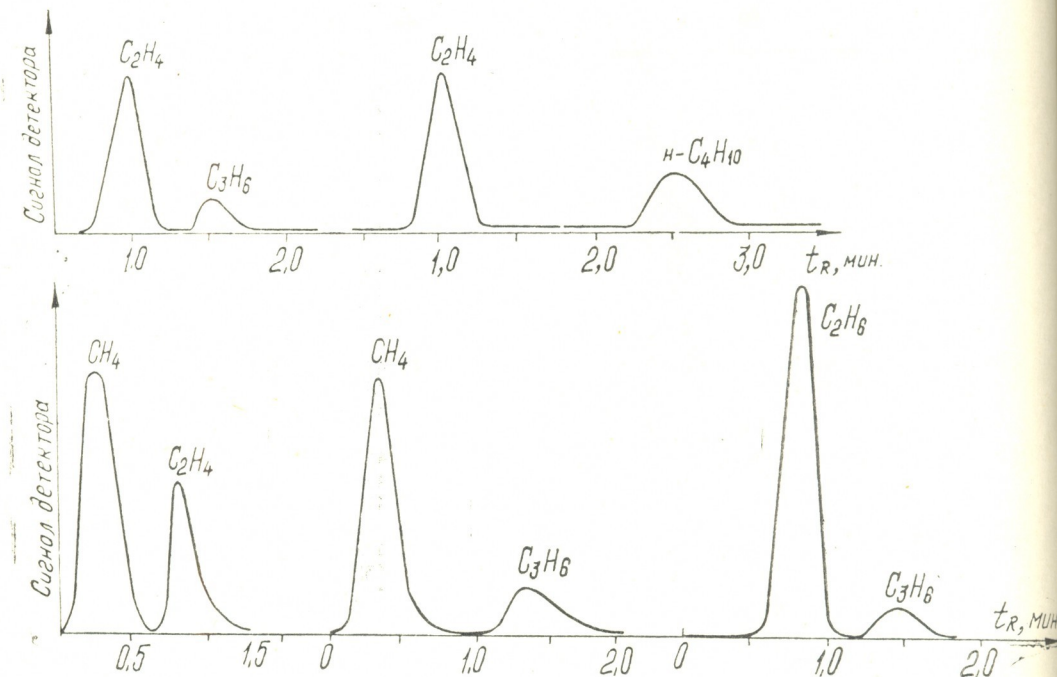


Рис. 1. Хроматографическое разделение смесей насыщенных и ненасыщенных углеводородов на ультрасиле при температуре 433 К.

Графическим методом [4] вычисляли теплоту адсорбции (Q). Опыты проводились при разных температурах нагрева колонки и постоянной объемной скорости газа-носителя (W). Результаты исследования представлены в таблице 2. Показано, что теплота адсорбции возрастает с увеличением молекулярного веса углеводородов. Углеводороды с двойной связью характеризуются более высокими значениями теплот адсорбции, чем предельные углеводороды, что можно объяснить взаимодействием π -электронного облака с адсорбционными центрами цеолита.

На основании полученных экспериментальных данных установлено, что на сверхвысококремнеземном цеолите аналоге ZSM-5 в интер-

Удельные удерживаемые объемы V_g см³/г и теплоты адсорбции
 Q ккал/моль на неолите ZSM — 5

Адсорбтив	Температура, К	V_g	$\frac{V_g}{T}$	$\frac{1}{T} \cdot 10^3$	$\lg \frac{V_g}{T}$	Q , ккал
метан	383	2,55	0,00666	2,61	-2,1765	3,3
	403	2,04	0,00606	2,48	-2,2953	
	423	1,96	0,00464	2,37	-2,3335	
этан	383	5,79	0,01510	2,61	-1,8210	5,5
	403	5,21	0,01290	2,48	-8,8834	
	423	4,40	0,01040	2,37	-1,9830	
пропан	383	16,62	0,04340	2,61	-1,3625	8,6
	403	13,90	0,03450	2,48	-1,4622	
	423	9,74	0,02930	2,37	-1,5253	
	443	5,17	0,01175	2,26	-1,3281	
	463	3,15	0,00690	2,16	-2,1612	
	483	2,49	0,00510	2,07	-2,2924	
этилен	433	4,79	0,00111	2,31	-1,9547	9,1
	453	3,26	0,00720	2,21	-2,1427	
	473	2,52	0,00530	2,11	-2,2757	

вале температур 433—453 К можно разделить бинарные смеси: метан-этан, метан-пропилен, этилен-пропилен, этилен-н-бутан, этилен-изобутан, и что теплота адсорбции углеводородов увеличивается с ростом числа углеродных атомов в молекуле.

Тбилисский государственный университет

Поступило 15.04.1985

В. КОБИДЗЕ, Н. ГАЧАВА

ქრომატოგრაფიული მათოდით ნაჯერი და უნაჯერი (C_1-C_4) ნაზირებალბადების ნარევის დაყოფა

რეზიუმე

შესწავლით ცეოლით ულტრასილის დამყოფი უნარიანობა ნაჯერი და უნაჯერი (C_1-C_4) ნაზირებალბადების ნარევის მიმართ. არგადამტანად გამოყენებულია აზოტი მოცულობითი სიჩქარით 50 მლ/წ. დაღგენილია, რომ ულტრასილზე ტემპერატურულ ინტერვალში 433—453 K ხდება ნაჯერი და უნაჯერი ნაზირებალბადების ნარევის: მეთან-ეთოლენის, მეთან-პროპილენის, ეთან-პროპილენის, ეთოლენ-პროპილენის, პროპან-პროპილენის, ეთოლენ-იზობუტანის, ეთოლენ-ნ-ბუტანის დაყოფა.

დადგენილია, რომ ცეოლითი ულტრასილი შეიძლება გამოვიყენოთ ნაჯერი და უნაჯერი (C_1-C_4) ნაზირებალბადების ნარევის დამყოფად.

M. N. KOBIDZE, N. S. GACHAVA

CHROMATOGRAPHIC SEPARATION OF SATURATED AND UNSATURATED (C_1-C_4) HYDROCARBON MIXTURES ON ULTRASIL

Summary

Separational properties of ultrasil have been studied by gas chromatography for saturated and unsaturated (C_1-C_4) hydrocarbon mixtures when nitrogen is used as a carrier with space velocity 50 ml/min.

It has been established that the mixtures of methane—ethylene, methane—propylene, ethane-propylene, ethilene-propylene, propane-propylene, ethylene—isobutane, propane-ethylene, n-butane-ethylene are separated on ultrasil in the temperature range 433—453 K.

Thus ultrasil zeolite can be used as a separator of saturated (C_1-C_4) and unsaturated (C_1-C_4) hydrocarbon mixtures.

ლიტერატურა — REFERENCES

1. Пигугова Л. Н. Новые сверхвысококремнеземные цеолиты и их применение в нефтепереработке, М.: ЦНИИТЭ, нефтехимия, 1977, с. 172.
2. Брек Д. Цеолитовые молекулярные сита, М.: Мир, 1976, с. 323.
3. Цицишвили Г. В., Адроникашвили Т. Г., Сабелашивили Ш. Д., Бежашвили К. А. Сб.: Адсорбционные хроматографические и катализитические свойства цеолитов, Тбилиси: Мецниереба, 1972, с. 123.
4. Экспериментальные методы в адсорбции и молекулярной хроматографии. Изд. МГУ, 1973, с. 321.

ТЕХНОЛОГИЯ

УДК 546.714:542.942.6

Р. И. АГЛАДЗЕ, Дж. Г. ШЕНГЕЛИЯ, С. В. ДЕЛИБАШВИЛИ

КАТОДНОЕ ВОССТАНОВЛЕНИЕ ОКСИДНЫХ МАРГАНЦЕВЫХ РУД В СЕРНОКИСЛЫХ РАСТВОРАХ, СОДЕРЖАЩИХ ИОНЫ ЖЕЛЕЗА

Разработка способов выщелачивания марганца из оксидных руд с использованием катодного тока [1—4], восстанавливавшего диоксид марганца руды в кислой среде до ионов Mn^{2+} , дает возможность исключить из технологической схемы трудноосуществимую стадию высокотемпературного восстановления оксидных руд.

Предложенный нами метод гидроэлектрометаллургической переработки марганцевых оксидных руд [5] предусматривает проведение выщелачивания марганца из руд в катодной части диафрагменного электролизера при концентрации ионов железа в растворе ниже 1 г/л. Отработанный католит после очистки от железа (III) и других примесей подается в анодную часть электролизера для получения электролитического диоксида марганца (ЭДМ).

В данном сообщении приводятся результаты исследования процессов, протекающих в катодной части электролизера.

Восстановлению подвергался Чиатурский оксидный марганцевый флотоконцентрат следующего состава, %: Mn — 31,94; MnO_2 — 29,84; CaO — 5,01; SiO_2 — 21,72; P_2O_5 — 0,44; Fe_2O_3 — 1,66; Al_2O_3 — 1,83. Методика эксперимента аналогична описанной в [6].

Содержащийся в руде MnO_2 восстанавливается как непосредственно на катоде (электрохимическое восстановление), так и в объеме раствора ионами Fe^{+2} , полученными катодным восстановлением ионов Fe^{3+} (химическое восстановление). Скорости обоих процессов рассчитывались по разработанной ранее методике [6].

Скорость электрохимического восстановления MnO_2 (i эл.) зависит от ряда факторов, в том числе от частоты соударений рудных частиц с поверхностью катода. На эту величину, кроме скорости перемешивания пульпы и степени дисперсности рудных частиц, оказывает влияние соотношение массы руды к объему выщелачивающего раствора, т. е. соотношение твердого к жидкому — Т/Ж. Варьирование Т/Ж производилось путем изменения объема выщелачивающего раствора — при постоянном стехиометрическом соотношении Mn/H_2SO_4 менялась концентрация раствора H_2SO_4 .

С увеличением Т/Ж скорость электрохимического восстановления MnO_2 возрастает, что обусловлено повышением концентрации рудных частиц в объеме раствора и соответствующим увеличением частоты соударений их с поверхностью катода. С ростом Т/Ж повышается концентрация ионов Fe^{3+} , перешедших из руды в раствор в процессе выщелачивания, что приводит к увеличению скорости химического восстановления MnO_2 (i хим.). Следовательно, рост Т/Ж дает возможность резко увеличить суммарную скорость восстановления содержащегося в руде MnO_2 (i_Σ) (рис. 1).

Однако с увеличением Т/Ж ухудшаются условия для перемешивания и фильтрации пульпы. Оптимальное значение Т/Ж равно 0,2—0,3.

Требуемое значение Т/Ж можно достичь при проточном режиме электролиза, согласно которому обогащенный серной кислотой анолит через диафрагму непрерывно переходит из анодного пространства в катодное, а католит, обогащенный ионами Mn^{2+} , вытекает из катодного пространства. Скорость циркуляции растворов следует регулировать таким образом, чтобы католит имел pH около 1,8—2. Выше этого значения pH скорость выщелачивания резко снижается, а также образуются гидроксиды железа (III).

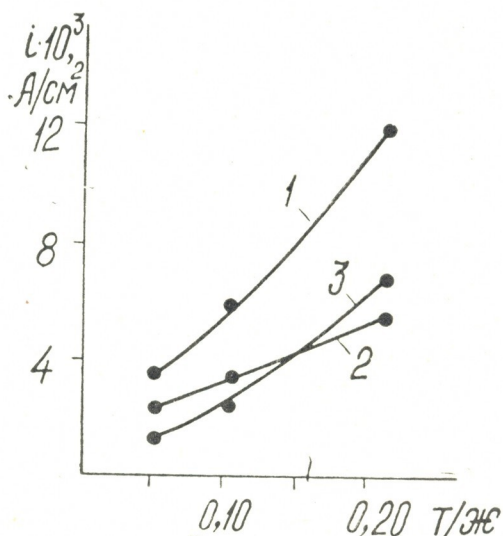


Рис. 1. Зависимость скорости суммарного (1), электрохимического (2) и химического (3) восстановления MnO_2 от величины Т/Ж. $t=95^\circ C$; стехиометрическое соотношение $\frac{Mn}{H_2SO_4} = \frac{1}{1,6}$, $S_k = 80 \text{ см}^2$.

С повышением температуры суммарная скорость восстановления MnO_2 увеличивается (рис. 2). Особенно резко растет скорость электрохимического восстановления при повышении температуры от 60 до 95° (и эл. увеличивается примерно в 10 раз). Оптимальной температурой для исследуемого процесса следует считать $90-95^\circ$.

С уменьшением поверхности катода (при прочих равных условиях) суммарная скорость восстановления MnO_2 растет (рис. 3). Увеличение скорости одного из составляющих суммарного процесса — химического восстановления — обусловлено повышением скорости катодного восстановления ионов Fe^{3+} , наблюдаемым при уменьшении размера катода по направлению движения раствора [6, 7]. В случае электрохимического восстановления обнаруженная зависимость имеет более сложную природу, так как при этом следует учесть всю совокупность факторов, лимитирующих скорость твердофазного восстановления MnO_2 на катоде. Одним из таких факторов является соотношение массы руды к поверхности катода.

Так как снижение поверхности катода вызывает уменьшение производительности электролизера, для интенсификации процесса следует увеличивать массу руды в объеме раствора при оптимальных размерах электродов, т. е. увеличивать соотношение Т/Ж.

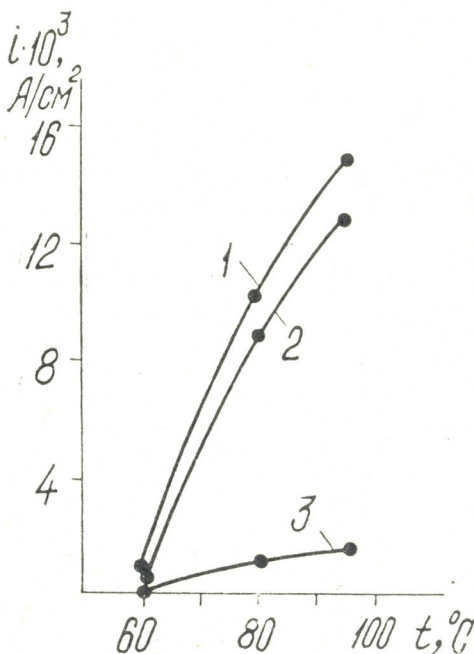


Рис. 2. Зависимость скорости суммарного (1), электрохимического (2) и химического (3) восстановления MnO_2 от температуры. $T/JK = 0,053$; стехиометрическое соотношение $\frac{Mn}{H_2SO_4} = \frac{1}{1,6}$; $S_k = 10 \text{ см}^2$.

становления MnO_2 при 95° , $T/JK = 0,2/1$ и $C_{Fe^{3+}} = 0,66 \text{ г/л}$ составляет $1,2 \cdot 10^{-2} \text{ А/см}^2$. Изменением условий электролиза можно добиться равенства $i_a = i_\Sigma$ и, тем самым, замкнуть баланс по ионам Mn^{2+} .

При возрастании кислотности равновесный потенциал водородного электрода сдвигается в электроположительную сторону в соответствии с выражением $\frac{dE}{d_p H} = \frac{2,3RT}{\alpha kF}$ на 118 мВ (если $\alpha_k = 0,5$), и вероятность выделения водорода увеличивается [8]. Равновесный потенциал электродной реакции $MnO_2 + 4H_3O^+ + 2e \rightarrow Mn^{2+} + 6H_2O$ можно выразить уравнением:

$$E = E^0 + \frac{2,3RT}{2F} \lg \frac{a^4 H_3O^+}{a_{Mn^{2+}}}$$

При $a_{Mn^{2+}} = \text{const}$, с изменением pH на единицу равновесный потенциал будет смещаться также на 118 мВ. Следовательно, с повышением кислотности вероятность выделения водорода будет нарастать с такой же скоростью, что и вероятность восстановления MnO_2 . Так как стандартные потенциалы электродных реакций восстановления MnO_2 до Mn^{2+} и ионов Fe^{3+} до Fe^{2+} соответственно равны 1,23 и 0,171 В, то эти процессы при любой кислотности раствора должны протекать без катодного восстановления ионов H_3O^+ .



Согласно данным табл. 1, когда измеряемая катодная плотность тока i_k превышает i_ε , из-за высокой катодной поляризации ~~создается~~ создается условие для выделения водорода, и выход по току процесса восстановления MnO_2 меньше 100%. Снижением i_k достигается равенство $i_k = i_\Sigma$ и выход по току процесса восстановления MnO_2 равен ~100%.

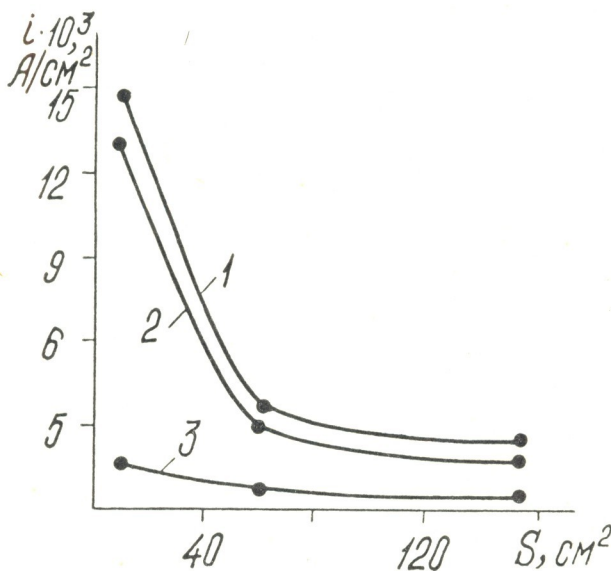


Рис. 3. Зависимость скорости суммарного (1), электрохимического (2) и химического (3) восстановления MnO_2 от поверхности катода (S_k). $t=95^\circ\text{C}$; $T/\text{Ж}=0,053$; стехиометрическое соотно-

$$\text{шение } \frac{\text{Mn}}{\text{H}_2\text{SO}_4} = \frac{1}{1,6}; C_{\text{Fe}^{2+}} = 0,06 \text{ г/л.}$$

Таблица I

Зависимость выхода по току процесса восстановления MnO_2 от катодной плотности тока

Условия опыта: $t=95^\circ$; $\frac{T}{\text{Ж}} = 0,053 \text{ г/мл}$

стех. соот. $\frac{\text{Mn}}{\text{H}_2\text{SO}_4} = \frac{1}{1,6}$

$C_{\text{H}_2\text{SO}_4} = 50 \text{ г/л}$

$i_k \cdot 10^3, \text{A}/\text{cm}^2$	$C_{\text{Fe}^{3+}}, \text{г/л}$	$i_{\text{хим}} \cdot 10^3, \text{A}/\text{cm}^2$	$i_{\text{эл. хим.}} \cdot 10^3, \text{A}/\text{cm}^2$	$i_\varepsilon \cdot 10^3, \text{A}/\text{cm}^2$	Выход по току, %
70,0	2,29	43,50	9,00	52,50	75,4
53,0	2,29	43,50	9,00	52,50	99,1
7,0	0,39	4,68	0,97	5,65	80,7
5,7	0,39	4,68	0,97	5,65	99,1
7,0	0,06	0,83	2,87	3,70	52,8
3,7	0,06	0,83	2,85	3,68	99,5

Для восполнения расхода H_2SO_4 в основном на связывание кальция руды в виде $CaSO_4$ целесообразно использовать отработанные травильные растворы, получаемые на металлургических заводах. Эти

растворы, кроме H_2SO_4 , содержат $FeSO_4$ и тем самым являются источником ионов железа, которые согласно предлагаемой технологии следует непрерывно вводить в католит. Промышленное использование отработанных травильных растворов решает также проблему их утилизации.

Институт неорганической химии
и электрохимии АН ГССР

Грузинский политехнический институт
им. В. И. Ленина

Поступило 07.05.1985

რ. აგლაძე, ჯ. შენგელია, ს. დელიბაშვილი

მანგანუმის ორსილური მაღალადური კათოლური ალფანა რაინის იონების
უძლეველ გოგირდოვანა სხერავი

რეზიუმე

განხილულია მანგანუმის ოქსიდური მაღნების გადამუშავების პიდროვექტრომეტალურებული მეთოდი, რომელიც ითვალისწინებს მანგანუმის უამოტუტვას მაღნებიდან დიაფრაგმიანი ელექტროლიტების კათოლურ ნაწილში 1 გ/ლ-მდე რკინის იონების თანაობისას. ნამუშევარი კათოლიტი რკინისა (III) და სხვა მინარევებისაგან გაწმენდის შემდეგ მიეწოდება ანოლურ ნაწილს ელექტროლიტური მანგანუმის დიოქსიდის მისაღებად.

მაღნის MnO_2 -ის ილდგვნის სიჩქარე მატულობს სსნარის მოცულობის ერთეულში შეტანილი მაღნის მასისა და სსნარის ტემპერატურის გაზრდით. პროცესის ოპტიმალურ პირობებში ჩატარებისას მყარი და თხევადი ფაზების ფარდობა შეაღენს 0,2—0,3, ხოლო სსნარის ტემპერატურა $90—95^{\circ}\text{C}$, ალდგნის პროცესის დენით გამოსავალი 100%-ს აღწევს.

R. I. AGLADZE, J. G. SHENGEGLIA, S. V. DELIBASHVILI

CATHODIC REDUCTION OF MANGANESE OXIDE ORES IN SULPHATE SOLUTIONS CONTAINING IRON IONS

S u m m a r y

A method of hydroelectrometallurgic processing of manganese oxide ores has been proposed which involves manganese leaching from ores in the cathodic part of diaphragmatic electrolyzer when the ion concentration in the solution is less than 1 g/l. After removal of iron and other impurities the exhausted catholyte is supplied to the anodal part of the electrolyzer to produce electrolytic manganese dioxide.

The reduction rate of MnO_2 in the ore increases with a rise in temperature and the ratio of ore mass to solution volume (S/L). It is established that the process temperature should be kept at $90—95^{\circ}\text{C}$ and $S/L=0,2—0,3$. The process of MnO_2 reduction is proved to provide 100% current efficiency.

1. Everett P. K., Заявка Великобритании № 1354577. Заявл. 11.05.70. Опубл. 30.05.74 (1974).
2. Everett P. K. Патент США № 3951765. Заявл. 11.12.74. Опубл. 20.04.76 (1976).
3. Классен В. И., Шафеев Р. Ш., Матвеев Ю. Н., Полтавцев Б. Я., Чантурия В. А., Шахова В. В. Авт. свид. СССР № 377378. (1973).
4. Dufour R., Varron M., La Mogoagou A. G., Заявка Франции № 1142605. Заявл. 08.02.56. Опубл. 20.09.57.84. (1957).
5. Агладзе Р. И., Шенгелия Дж. Г., Шаллякина Н. В., Делибашвили С. В. Авт. свид. СССР № 1104179. Заявл. 06.05.83. Опубл. 23.07.84. БИ № 27 (1984).
6. Agladze R. I., Shengelia J. G., Shalyakina N. V., Delibashvili S. V. 37 th Meeting Extended Abstracts V. IV, Vilnius, USSR, 1986, p. 270—272.
7. Делахей П. Новые приборы и методы в электрохимии. М.: ИЛ, 1957, 277.
8. Ротинян А. Л., Тихонов К. И., Шошина И. А. Теоретическая электрохимия, Л.: Химия, 1981, 342.

УДК 666.112.3

О. Е. МОДЕБАДЗЕ, И. Э. ВАССЕРМАН

СТЕКЛА ДЛЯ СПАИВАНИЯ С МЕДЬЮ, СЕРЕБРОМ И НИКЕЛЕМ

Ранее [1] сообщалось о составах стекол для спаивания с золотом: в настоящей работе изложены результаты синтеза и применения спаев стекла с медью, серебром и никелем. Все составы стекол, приведенные в данной работе, в первую очередь, применялись для изготовления электрохимических ячеек с металлическими вводами. В некоторых случаях в одной и той же вакуумнаполненной оболочке отдельные ее участки могут быть выполнены из меди взамен дорогостоящего серебра.

Медь, как и серебро, является металлом с высокой проводимостью, но обладает меньшей стойкостью к нагреванию. В некоторых случаях возникает необходимость одновременного спаивания одного и того же стекла как с серебром, так и медью, что обеспечивает соединение между собой этих металлов.

Экспериментальные исследования показали, что можно разработать составы таких стекол, которые одновременно будут давать достаточно надежные спаи как с серебром, так и с медью (т. е. спай, не разрушающийся при нагревании до 200—300°). Эти стекла должны обладать таким коэффициентом линейного термического расширения (КЛТР), значение которого лежит между КЛТР серебра и меди, т. е. в пределах $16,2 \div 17,8 \cdot 10^{-6} \text{K}^{-1}$ в температурном интервале от 20 до 500°.

Таблица 1

Составы стекол для одновременного спаивания с серебром и медью

№№ стекол	Содержание оксидов, масс. %								
	SiO ₂	Al ₂ O ₃	ZnO	B ₂ O ₃	BaO	SrO	Na ₂ O	K ₂ O	Li ₂ O
СМ—1	51,5	2,3	1,2	2,5	10,2	1,2	15,5	10,2	5,4
СМ—2	52,5	1,2	2,3	1,3	10,8	2,1	13,2	13,4	3,2
СМ—3	53,5	1,1	1,3	1,4	9,6	3,3	14,3	12,5	3,0
СМ—4	50,4	3,4	2,1	1,5	8,1	3,5	14,4	11,3	5,3
СМ—5	49,2	2,1	1,4	4,8	9,2	2,2	14,5	11,4	5,2

Таблица 2

Некоторые физико-химические параметры стекол для одновременного спаивания с серебром и медью

№№ стекол	КЛТР $\alpha \cdot 10^{-6}$, K^{-1}	Температура варки, °C	Температура отжига, °C	Температура стеклования, °C	Температура спаивания, °C	Гидролити- ческий класс
СМ—1	17,8	1380	580	600	620	III
СМ—2	16,2	1450	590	610	640	III
СМ—3	17,5	1350	560	590	620	III
СМ—4	16,9	1420	570	610	640	III
СМ—5	16,5	1430	590	610	640	III



В таких спаях медь находится в состоянии растяжения, а серебро — в состоянии сжатия. Из-за того, что разница КЛТР стекла и металлов не превышает допустимые пределы, возникающие при этом напряжения не превышают прочность спая, что обеспечивает их достаточную надежность (такие спаи не разрушаются при многократном нагревании до 200—300°) и термостойкость.

В таблице 1 приведены составы стекол для одновременного спаивания с серебром и медью, а в таблице 2 — их некоторые физико-химические параметры.

Все составы стекол, приведенные в таблице 1, дают возможность одновременного их спаивания с серебром и медью. На данный факт, в частности, указывают кривые термического расширения меди, серебра и стекла СМ-1, приведенные для примера на рис. 1. Однако следует отметить, что наилучшей адгезией к рассматриваемым металлам характеризуются составы СМ-1 и СМ-2 (краевой угол смачивания лежит в пределах 12—38°); наибольшую термостойкость спая обеспечивают со-

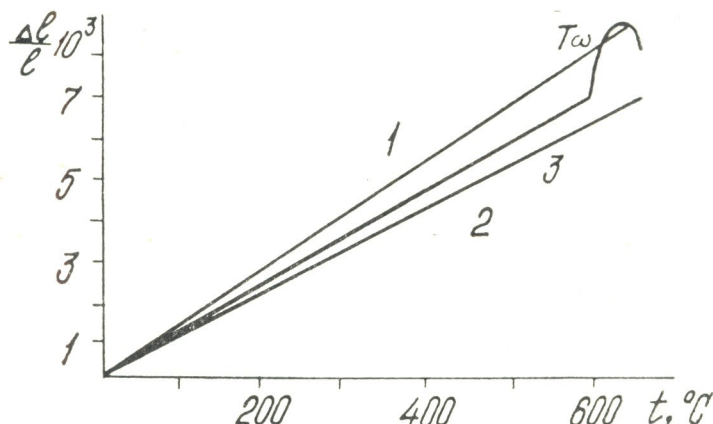


Рис. 1. Кривые термического расширения меди (1), стекла СМ - 1 (2) и серебра (3).

ставы СМ-4 и СМ-5 (максимальная температура сохранения спая 400—450°); наилучшими выработочными свойствами характеризуется состав СМ-3 (осветляется при 1350°, не кристаллизуется в процессе выработки и в процессе обжига при 560° в течение 0,5—2,5 ч).

Стекла варятся в электрической печи в алундовых тиглях емкостью 100 мл и осветляются в течение 1,5÷3,1 ч. Выдержка при максимальной температуре — 0,5 ч. Все составы легко обрабатываются на газовой горелке. Средняя скорость охлаждения спаев с использованием разработанных составов стекол составляет 20÷50 град/ч.

Вакуумплотные оболочки с никелевыми вводами с успехом могут быть применены в электронной промышленности в связи с большой стойкостью никеля к коррозии и к различным агрессивным средам. Вместе с тем, никель не относится к металлам, имеющим очень большие значения КЛТР (КЛТР никеля $13,3 \cdot 10^{-6} \text{K}^{-1}$ в интервале температур от 20 до 200°), что позволяет разработать составы стекол с аналогичными величинами КЛТР и достаточно стойкие к агрессивным средам, в первую очередь, к атмосферной влаге.

Разработанные составы стекол для спаивания с никелем приведены в таблице 3, а их некоторые физико-химические параметры — в таблице 4.

Стекла варились в электрической печи в алундовых тиглях емкостью 100 мл. Продолжительность варки составляла 2,2—3,5 часа.

Выдержка при максимальной температуре составляла 0,45 часа.

Наиболее стойким по отношению к разрушающему воздействию влажной атмосферы является стекло Н-4, однако из-за существенного различия его КЛТР с КЛТР никеля, их спай после отжига не следует нагревать выше 100°. Следует отметить, что этот спай может разрушаться как в процессе отжига, так и при длительной эксплуатации вакуумплотной оболочки.

Самый надежный спай образуется при применении стекла Н-5, характеризующегося равной с никелем величиной КЛТР. Вместе с тем, данное стекло характеризуется недостаточной химической устойчивостью.

Оптимальным является стекло Н-1, которое в течение длительного времени не разрушается на воздухе, и его спай с никелем не подвержен саморазрушению.

Таблица 3

Составы стекол для спаивания с никелем

№№ стекол	Содержание оксидов, масс. %								
	SiO ₂	B ₂ O ₃	BaO	SrO	Na ₂ O	Al ₂ O ₃	K ₂ O	WO ₃	ZnO
Н-1	39,0	20,1	6,1	8,2	17,1	1,2	6,0	1,3	1,1
Н-2	38,5	20,6	7,2	7,1	15,1	1,3	7,9	1,2	1,2
Н-3	37,2	21,6	6,2	10,7	14,2	1,1	6,5	1,1	1,5
Н-4	36,8	25,1	6,1	9,5	14,2	2,3	3,1	0,9	1,7
Н-5	36,2	15,7	7,1	10,1	19,1	2,1	7,2	1,1	2,1

Таблица 4

Некоторые физико-химические параметры стекол для спаивания с никелем

№№ стекол	КЛТР, $\alpha \cdot 10^{-6}$ K ⁻¹	Температура варки, °C	Температура отжига, °C	Температура стеклования, °C	Температура спаивания, °C	Гидролити- ческий класс
Н-1	12,1	1140	520	545	560	II
Н-2	12,3	1150	560	590	620	III
Н-3	11,8	1310	580	610	650	II
Н-4	11,7	1420	610	630	660	I
Н-5	13,3	1110	490	510	540	III

Все стекла хорошо смачивают никель, размягчаются при низких температурах и дают вакуумплотный спай. Перед спаиванием следует тщательно очистить поверхности никеля и стекла, а спаивание производить при возможно низких температурах с целью избежания образования газовых пузырей на границе стекло—металл и тем самым предохранить спай от разрушения.

Таким образом, можно сделать вывод, что при определенных условиях возможно применение спаев стекла с теми металлами, у которых КЛТР превышает $12 \cdot 10^{-6} K^{-1}$.

Образование спая стекла с данными металлами можно объяснить общепринятыми соображениями [2—4]. При снижении вязкости стекла до 10^{13}П происходит взаимная диффузия металла и стекла и образование переходного слоя. Смачивание серебра стеклом начинается при вязкости $10^4 - 10^6 \text{П}$. Образование оксидной пленки или другого химического соединения на поверхности металла не обнаружено.

Можно предположить, что оксидные пленки не могут сыграть значительную роль при образовании спая в случае таких металлов, как серебро, золото, платина и т. п.

Для данных металлов, не подвергающихся окислению при высоких температурах, прочность спая не должна меняться в зависимости от промежуточной оксидной пленки. Платина образует прочный спай стеклом. Не меньшей прочностью характеризуется спай стекла с золотом и серебром [1].

Проведенные эксперименты показали, что и в случае никеля надежный спай образуется без промежуточного оксидного слоя. Наиболее прочные спаи стекла с никелем образуются в том случае, когда поверхность последнего подвергается термической обработке (при 100° в течение 0,5 ч в вакууме до 10^{-4} мм рт. ст.) с целью удаления газов, поглощенных никелем из воздуха, и полируется.

По мнению других авторов [2], стекло с никелем легко спаивается, когда на поверхности последнего образуется достаточный слой оксидов никеля. В литературе [2] рекомендуется проводить спаивание при температурах порядка 1000° в жесткой окислительной атмосфере до образования оксидной поверхностной пленки от серо-зеленого до зеленого цвета нестехиометрического состава.

По-видимому, качество спая, в первую очередь, определяется не толщиной оксидной пленки, а составом стекла, его физико-химическими свойствами, а также ее состоянием и свойствами поверхности спаиваемого металла. При одновременном спаивании стекла с серебром и медью более прочный спай с медью образуется при полированной, несильноокисленной поверхности меди, что совпадает с данными [3], где предпочтение отдается безоксидным спаям стекла с вольфрамом и молибденом.

По мнению некоторых авторов [3], когда металл кажется неокисленным, на его поверхности всегда можно обнаружить оксидную пленку, способствующую образованию надежного спая. В [2] указывается на то, что никель с отполированной поверхностью непрочно склеивается со стеклом в условиях вакуума, что доказывается измерением краевого угла смачивания.

По полученным в данной работе результатам, прочный спай никеля со стеклом образуется и в случае окисления поверхности никеля, когда толщина пленки достигает $5 \div 15$ мкм, и прирост веса на единицу поверхности (при нагревании до температур порядка $900 \div 1000^{\circ}$ в течение 0,5—0,6 ч) составляет $0,3 \div 0,9$ мг/см².

В случаях никеля и меди при спаивании со стеклом важное значение имеет обработка поверхности до спаивания. Дело в том, что например, никель имеет пористую структуру и легко поглощает газы из воздуха. При спаивании эти газы выделяются и обусловливают образование пузырей в области спая, что является причиной его разрушения. Поэтому перед спаиванием никель следует нагреть в вакууме или в какой-либо другой, инертной среде (например, в среде аргона), но при этом следует учитывать, что при выделении растворенных газов оксидная пленка на поверхности никеля разрушается.

Как уже отмечалось, известно [3], что при некоторых видах спаев (например, металлические вводы в электрохимическую ячейку) напряжения в стекле возникают и в том случае, когда металл и стекло имеют одинаковые КЛТР. В таком спае радиальное напряжение сжатия достигает максимального значения на границе ввода со стеклом. Касательное напряжение по всей длине спая имеет одно и то же значение, а разность радиального и касательного напряжений уменьшается по мере удаления от ввода к наружной поверхности стекла и обратнопропорционально квадрату радиуса.

Исходя из сказанного, для получения качественного спая стекла, например, с серебром, КЛТР металла должен быть больше, чем КЛТР стекла. При этом при нагреве напряжения сжатия уменьшаются и при определенной температуре становятся равным нулю. Как уже отмечалось, выше данной температуры напряжение меняет знак и при дальнейшем нагревании спай быстро разрушается. При нагре-



вании спая в условиях, когда вдоль оси действует напряжение сжатия, давление на стекло со стороны металла уменьшается, так как серебро при нагревании расширяется, и именно поэтому при определенной температуре напряжения снижаются до нуля. При охлаждении спая напряжения сжатия увеличиваются, а так как чаще всего охлаждение происходит медленно, то при изготовлении серебряного ввода в стекле КЛТР последнего должен быть меньше КЛТР серебра, что обеспечивает в процессе спаивания возникновение осевого напряжения сжатия.

Для получения надежного спая рассмотренных металлов со стеклом следует не только варировать в определенных пределах значения КЛТР, но в каждом отдельном случае определять знак и величину возникающих напряжений в интервале от комнатной температуры до температуры стеклования.

Поскольку комбинированные стеклометаллические ячейки в настоящее время широко применяются в производстве электровакумных приборов высокой надежности, а также в различных агрессивных средах, к ним предъявляются требования в отношении надежности, прочности, стойкости к таким средам, как колебаниям температуры и к высокой радиации. Металлы, которые применяются в таких условиях, не должны окисляться под влиянием различных физико-химических факторов и должны полностью сохранять конструкционные формы. Именно такими металлами являются серебро, а также, в определенной мере, никель. Отмеченное указывает на важное практическое значение спаев стекла с данными металлами.

Следует отметить, что в исключительных случаях, когда необходимо придать большую стойкость по отношению к агрессивным средам, поверхность стекла следует подвергать гидрофобизации. Тщательно очищенная поверхность, например, стекла СМ-5 (75%-ным раствором серной кислоты) обрабатывается силиконовыми соединениями. При этом образуются гидрофобные алкиловые группы. В дальнейшем поверхность, адсорбирующую гидроксильные группы, подвергают воздействию гидрофобизирующих материалов. При этом гидроксильные группы замещаются силоксановыми группами, и поверхность стекла СМ-5 становится стойкой по отношению к воздействию агрессивных сред.

Поскольку спай стекла с вышеуказанными металлами мало исследованы, то соблюдение рекомендуемых условий необходимо для образования вакуумплотного и надежного спая.

Разработанные стекла для спайивания с никелем и медью в настоящее время могут быть с успехом применены для изготовления активных и пассивных элементов электронных приборов.

Институт кибернетики АН ГССР

Поступило 27.03.1985

ଓ. সন্তোষকুমাৰ, ড. প্ৰিয়েন্দুৱাৰী

მისამართი სკოლების განვითარებისა და მოვალეობის მისამართი

၁၂၈၀၇ မေ

ჩატარებულია ვერცხლთან, სპილენძთან და ნიკელთან მისარჩილავი მინების სინოეზი. მიღებული მინები და ლითონები საშუალებას გვაძლევს დავამზადოთ ვაკუუმურად მედევი და ოგრესიულ პირობებში სამუშაოს ვარგისა მინარჩილი. კერძოდ, ორნიშნული მინები და მათ საფუძველზე მიღებული მინარჩილი არ იშლება ჰაერში შემავალი წყლის ორთქლის ზემოქმედების შედეგად.

КРАТКИЕ СООБЩЕНИЯ

УДК 541.15:667.281.1

Г. О. ВАРДОСАНИДЗЕ, Н. Д. ЧАЧУА, Г. Г. ЧИРАКАДЗЕ

РАДИАЦИОННО-ХИМИЧЕСКИЕ ПРЕВРАЩЕНИЯ
КРЕМНИЙСОДЕРЖАЩЕГО АЗОКРАСИТЕЛЯ

Изучение свойств синтетических красителей радиационными методами играет существенную роль в установлении причин их обесцвечивания [1].

Облучение красителя проводили на установках К-60 (стационарный радиолиз—SR, ИНХиЭЛ АН ГССР) и импульсного радиолиза—IR на основе ускорителя электронов У-12, работающего в режиме одиночных импульсов со спектрофотометрической регистрацией сигналов оптического поглощения (ОП) промежуточных частиц (ИЭЛ АН СССР). Длительность импульсов электронов с энергией 4,5 МэВ составляла 2,2 мкс. Поглощенную дозу измеряли с помощью ферросульфатной (SR и IR) и родамидной (IR) дозиметрии [2]. Мощность дозы γ-лучей 4,2 Гр/с; потока электронов—40 Гр/имп. Образцы облучали в молибденовых ампулах (SR) и в кварцевых ячейках (IR) с оптическими окнами из специального кварцевого стекла КУ-1 при комнатной температуре в средах воздуха, He и N₂O.

Анализ продуктов радиолиза проводили методами УФ и ИК спектрометрии, хроматографии (TCX, колоночная) и др.

Краситель (Кр) диметил-бис(4'-метил-2'-гидрокси-1-бензолово-4-фенокси)силан (CH₃)₂Si[OC₆H₄—N=N—2,5—(OH)(CH₃)(C₆H₃)]₂, полученный по методу (3), использован в виде водного раствора (8,1·10⁻⁵М, бидистиллят). Максимумы ОП Кр—при 413 нм ($\bar{\epsilon} = 3,85 \cdot 10^3$) и 280 нм ($\bar{\epsilon} = 5,84 \cdot 10^3$). Широкий максимум при 413 нм указывает на возможность существования для Кр равновесных тautомерных форм [4]. При облучении малыми дозами (450 Гр) спектр ОП изменяется: максимум при 413 нм гипсохромно сдвигается ($\lambda = 355$ нм, $\bar{\epsilon} = 3,14 \cdot 10^3$), что указывает на переход анти-формы Кр в син-форму. Расчеты концентраций Кр проведены при $\lambda = 355$ нм.

При облучении Кр в зависимости от природы насыщающего газа его обесцвечивание протекает с различной интенсивностью (рис. 1). Полное обесцвечивание при дозе 16—17·10³ Гр происходит в среде He, медленнее же—в среде N₂O. Примечательно, что в воздушной среде после обесцвечивания при дозе 0,8·10³ Гр наблюдается частичная регенерация Кр. Затем Кр вновь обесцвечивается. Следует отметить, что «вторичный» процесс обесцвечивания протекает медленно, и концентрация Кр (1/4 от исходной) остается неизменной вплоть до поглощения 6·10³ Гр.

Радиационный выход обесцвечивания Кр соответственно равен G(Kr)_{возд} = 0,091 ± 0,010; G(-Kр)N₂O = 0,850 ± 0,10; G(-Kр)He = 1,42 ± 0,15. Среди стабильных жидкофазных продуктов радиолиза обнаружены фенол, о-крезол, алкилсиланы и др. В среде He заметно возрастает количество анилина.

Спектры ОП короткоживущих частиц, построенные на основании осцилограмм, полученных при пропускании одиночных импульсов электронов через раствор Кр (рис. 2а, б), содержат три максимума, два из которых сдвинуты батохромно по сравнению со спектром ОП необлученного красителя. Оба максимума одинаковы сразу после импульса и после достижения максимального значения ОП (600 мкс) и,

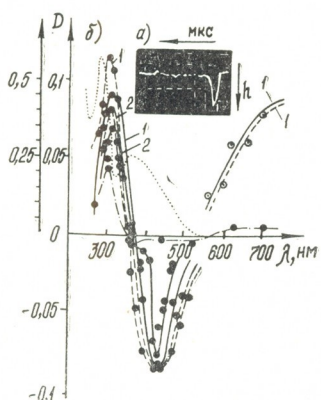


Рис. 1. Оптическая плотность γ — облученного водного раствора красителя, насыщенного воздухом (—), N_2O (—·—), He (— —); 1— $5.8 \cdot 10^3$ Гр, 2— $16.8 \cdot 10^3$ Гр, исходный раствор (...)

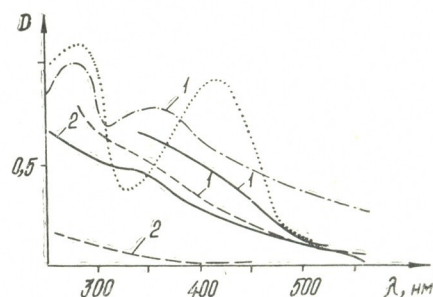


Рис. 2 а) Осцилограмма сигнала поглощения водного раствора красителя, насыщенного He ($\lambda=440$ нм), б) короткоживущее поглощение продуктов радиолиза водного раствора красителя в средах He (— —), N_2O (—·—), воздуха (—). Исходный раствор (...). 1—10 мкс и 2—150 мкс после окончания импульса

следовательно, принадлежат двум промежуточным частицам. Третий максимум при $\lambda > 550$ нм, образующийся во время импульса и исчезающий в течение 10—15 мкс, принадлежит \bar{e}_{aq} [5]. Можно предположить, что ОП при 440 нм относится к гидразильному радикалу, константа скорости превращения которого $k = (0.7 \pm 0.1) \cdot 10^9$ л/моль·с. При $\lambda = 310$ нм $k = (1.1 \pm 0.1) \cdot 10^9$ л/моль·с.

На основании полученных результатов можно заключить об ингибировании протекающих процессов в среде кислорода.

Грузинский политехнический институт

им. В. И. Ленина

Поступило 10.02.1986

გ. ვარდოსანიშვი, ნ. ჩაჩუა, გ. პირამიდი

სილიციუმების აზოსალებრის რადიაციულ-ქიმიური
გარდაქმნები

რეზიუმე

შესწავლითი დიმეთილ-ბის(4'-მეთილ-2'-ჰიდროქსი-1'-ბენზოლაზო-4-ფენოქსი) სილანის წყალსხმარი ($8.1 \cdot 10^{-5}$ გრ/ლ) რადიაციულ-ქიმიური გარდაქმნები სტაციონალურ და იმპულსურ გამოსხივების პირობებში. დანაღვარები K-60, γ-სხივების დოზის სიმძლავრე 4.2 გრ/ს და ელექტრონების ამაჩქარებლის Y-12 საფუძველზე (იმპულსური რადიოლიზი) დოზის სიმძლავრე 40

გრ/იმპულსი; იმპულსის ხანგრძლივობა 2,2 მქს, ელექტრონების ენერგია 4,5 მევ. ხსნარების გასხივება ჩატარებულია He, O₂ და N₂O არეში.

დადგენილია საღებრის გაუფერულება ყველა არეში, მაგრამ უანგბადის არეში ღოზის განსაზღვრულ ინტერვალში გაუფერულებასთან ერთად მიმდინარეობს საღებრის რევენერაცია. რადიოლიზის ერთ-ერთი ხანმოკლე სიცოცლის მქონე პროდუქტია ჰიდრაზილის რადიკალი.



G. O. VARDOSANIDZE, N. D. CHACHUA, G. G. CHIRAKADZE

RADIATION CHEMICAL TRANSFORMATIONS OF SILICON CONTAINING AZOIC DYE

Summary

Radiation chemical transformations of the aqueous solution of dimethyl-bis (4'-methyl-2'-hydroxy-1-benzeneazo-4-phenoxy) silane under stationary and pulse radiolysis conditions have been studied. The samples placed in special ampules filled with air, nitrogen oxide or helium were irradiated ($8 \cdot 1 \cdot 10^5$ M) on the K-60 plant (dose rate 4.2 Gy) and pulse radiolysis plant based on the electron accelerator Y-12 (pulse duration $2.2\mu\text{s}$, electron energy 4.56 MeV, dose per pulse 40 Gy).

Decoloration of the dye has been observed in all cases, but in atmosphere along with oxidation in a certain dose interval regeneration of the dye takes place. One of the short-lived product of radiolysis is a hydrazyl radical.

ლიტერატურა — REFERENCES

1. Grossweiner L. J. Radiation Res. Rev., 1970, v. 2, p. 345—379.
2. Пикаев А. К. Дозиметрия в радиационной химии. М.: Наука, 1975, с. 254.
3. Вардосанидзе Г. О., Тамух Абу Хелал, Чачуа Н. Д., Каркусашвили Т. Г., Чиракадзе Г. Г. Изв. АН ГССР, сер. хим. Сб. 1988, 125.
4. Giles C. H., Rahman S. M., Smith H., J. Chem. Soc., 1961, p. 1209—1215.
5. Swallow A. J., Photochem. and Photobiology, 1968, v. 7, p. 683—694.

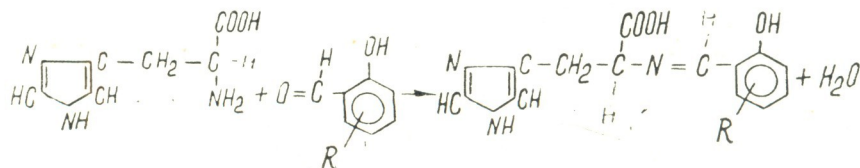
УДК 541.49+546.6

Т. Н. САКВАРЕЛИДЗЕ

КОМПЛЕКСНЫЕ СОЕДИНЕНИЯ ДВУХВАЛЕНТНЫХ КОБАЛЬТА И НИКЕЛЯ С АЗОМЕТИНОВЫМИ ПРОИЗВОДНЫМИ ГИСТИДИНА

Известно, что амины и альдегиды вступают в реакцию конденсации с образованием азометиновых производных. Тетradентатные лиганды типа салицилалэтилениамина используются для получения хелатов, моделирующих определенные биологические соединения [1]. Шиффовые основания (ШО) являются потенциальными противораковыми агентами, переносчиками кислорода [2]; некоторые из них применяются как индикаторы в комплексометрическом титровании [3].

При конденсации гистидина с салициловым альдегидом и его ортопроизводными нами получены основания Шиффа [4]:



которые представляют собой потенциальные тетрадентатные лиганды. Местом локализации с металлом может выступать азот имидазольного кольца и азометиновой группы, кислород карбоксильной группы и гидроксильной группы фенольного кольца.

Для комплексных соединений с тетрадентатными ШО возможна как бициклическая структура со свободной карбоксильной группой, так и трициклическая структура с координированной COO^- [5].

Синтез соединений двухвалентных никеля и кобальта с азометиновыми производными гистидина был описан ранее [6].

ИК-спектры поглощения комплексов типа $M(APG) \cdot H_2O$ (АПГ — азометиновое производное гистидина, $n=1,2$) регистрировали на спектрофотометре «SPECORD 75IR». Образцы исследованы в виде суспензии в вазелиновом масле. Спектры комплексов с азометиновыми производными гистидина резко отличаются от гистидиновых [7]; отличие выражается в появлении интенсивной полосы в области $1650-1670\text{ cm}^{-1}$, которая смешена на $25-30\text{ cm}^{-1}$ по сравнению со свободным лигандом, что свидетельствует о координации азометиновой группы; не наблюдается полоса поглощения депротонированной карбоксильной группы.

Кроме того, в ИК-спектрах поглощения соединений с АПГ отсутствует широкая полоса при $2660-2640\text{ cm}^{-1}$, относящаяся к колебанию группы OH-лиганда, что указывает на замещение водорода в фенольном гидроксиле.

В области $440-550\text{ cm}^{-1}$ в спектрах комплексов имеются полосы поглощения, отнесенные преимущественно к валентным колебаниям связей металл-азот и металл-кислород.

Проведено магнетохимическое изучение синтезированных комплексов. Статическая магнитная восприимчивость измерялась относительным методом Фарадея. Эталоном служил $\text{Co}(\text{Hg}(\text{NCS})_4)$. Эффективный магнитный момент $\mu_{\text{эфф}}$ вычислен по формуле $\mu_{\text{эфф}} = 2.84 \sqrt{\chi' T}$ М. Б. с учетом поправок на диамагнетизм и температуронезависимый парамагнетизм. Значения эффективных магнитных моментов комплексов двухвалентных никеля и кобальта с АПГ приведены в таблицах 1 и 2.

Таблица 1

Значения $\mu_{\text{эфф}}$ для соединений никеля (II)

Соединение	T, K	$\chi'_M \cdot 10^6$	$\mu_{\text{эфф}}$
$\text{Ni}(3,5\text{Br}_2\text{Sal His})_2 \cdot 2\text{H}_2\text{O}$	292	3905	3,01
$\text{Ni}(5\text{Br Sal His})_2 \cdot 3\text{CH}_3\text{OH}$	292	3559	2,88
$\text{Ni}(3,5\text{Br}_2\text{Sal His})_2 \cdot 2\text{H}_2\text{O}$	292	3545	2,98

Таблица 2

Значения $\mu_{\text{эфф}}$ для соединений кобальта (II)

Соединение	T, K	$\chi'_M \cdot 10^6$	$\mu_{\text{эфф}}$
$\text{Co}(3,5\text{Br}_2\text{Sal His})_2 \cdot 2\text{H}_2\text{O}$	292	1079	1,59
$\text{Co}(5\text{Br Sal His})_2 \cdot 4\text{H}_2\text{O}$	292	409	0,98
$\text{Co}(3\text{Br}_2\text{Sal His})_2 \cdot 2\text{H}_2\text{O}$	292	3436	2,83
$\text{Co}(5\text{Br Sal His})_2 \cdot 3\text{CH}_3\text{OH}$	292	2029	2,17

Известно, что значения $\mu_{\text{эфф}}$ октаэдрических и псевдооктаэдрических комплексов находятся в интервале 2,90—3,30 М.Б. и слабо зависят от температуры. Исследования дают возможность считать ближайшее окружение никеля (II) близким к октаэдрическому.

Малые значения эффективного магнитного момента соединений кобальта (II) с азометиновыми производными (табл. 2) и слабая температурная зависимость его показывают, что в данном случае исключается возможность интерпретации магнитных свойств на основе учета обменного взаимодействия. Понижение эффективного магнитного момента можно объяснить трудноконтролируемым частичным переходом кобальта (II) в кобальт (III).

Из полученных данных следует, что хотя при модификации гистидина о-оксиальдегидами происходит изменение спектральных и магнитных свойств, однако во всех случаях для комплексов Со и Ni с гистидином и указанными ШО характерна октаэдрическая симметрия.

На основании ИК-спектров поглощения и магнитных свойств предпочтение дано бициклической структуре с шестичленными металлокиклами, где связь с центральным атомом осуществляется атомами азота имидазольного кольца и азометиновой группировкой и кислородом фенольного кольца.

ორგანიზაციაში კოგალტისა და ნიკელის კომპლექსების
კიბილის აზომეთინურ ნაწარმებთან

რ ე ზ ი უ მ ე

ჰისტიდინის და ორთო-ოქსიალდეპიდების ნაწარმების კონდენსაციის შედეგად მიღებულია შიფის ფუქსები, რომლებიც პოტენციურ ტეტრალენტურ ლიგანდებს წარმოადგენენ.

იუ-სკექტრების საფუძველზე დადგენილია, რომ $M(ADH)_n \cdot H_2O$ ტიპის ნაერთებში (ADH — ჰისტიდინის აზომეთინური ნაწარმები) ლიგანდი კონდინირებს აზომეთინური ჯგუფისა და ჰისტიდინის მესამეული აზოტით, ფენოლის ჯგუფის უანგბადით.

ეფექტური მაგნიტური მომენტების მნიშვნელობათა საფუძველზე გამოიყოფილია მოსაზრება ალნიშნული ნაერთების აღნაგობის შესახებ. ეფექტური მაგნიტური მომენტების დაბალი მნიშვნელობები გაპირობებულია $Co^{(II)}$ -ის ნაწილობრივი დაუანგვით.

T. N. SAKVARELIDZE

COMPLEX COMPOUNDS OF BIVALENT COBALT AND NICKEL
WITH AZOMETHINE DERIVATIVES OF HISTIDINE

S u m m a r y

Schiff bases representing potential tetradeinate ligands have been obtained by condensation of histidine with salicyl aldehyde and its ortho-derivatives.

The IR absorption spectra of $M(ADH)_n \cdot H_2O$ type complexes (ADH azomethine derivatives of histidine, $n=1,2$) differ from those of histidine complexes mainly in the region $1650-1670\text{cm}^{-1}$ there appears an intensive band, which is shifted by $25-30\text{cm}^{-1}$ compared with free ligand pointing to azomethine group coordination.

Therefore, the above mentioned compounds are characterized by the bicyclic structure with six-member metallocycles in which bond with the central atom is realized through nitrogen atoms of imidazole ring and azomethine grouping as well as through oxygen of phenol ring.

ლიტერატურა — ЛИТЕРАТУРА — REFERENCES

- Vogt L. H., Taigenbaum N. M., Wieberly S. E., Chem. Revs., 1963, 63, 3, 269
- Sabnis S. S., Kulkarni K. D., Indian J. Chem., 1963, 1, 10, 447
- Roddar S. N., Sengupta N. R., Dey Kamalendu, Sci. and Cult., 1963, 29, 5, 257
- Сакварелидзе Т. Н., Дисс. канд. хим. наук, Ленинград, 1981, 131 с.
- Nakao Lasuo, Nakahara Akitsugu, Bull. Chem. Soc., Jap., 1973 46, 1, 187
- Гогоришвили П. В., Сакварелидзе Т. Н., Каркарашвили М. В., Строеску А. К., Зеленцов В. В. Сообщения АН ГССР, 1979, т. 93, 2, 341.
- Сакварелидзе Т. Н., Мачхошвили Р. И., Гогоришвили П. В., Каркарашвили М. В. Изв. АН ГССР, сер. химич., 1979, 5, 1, 79.



М. И. ГВЕРДЦИЕЛИ, Р. О. ДЕВДАРИАНИ

ФОРМАЛЬНО-АЛГЕБРАИЧЕСКАЯ ХАРАКТЕРИСТИКА ТРИАДНОЙ ПРОТОЧНОЙ ТАУТОМЕРИИ

Таутомерия является особым случаем изомерии функциональной группы [1]. Если таутомерия связана с переносом атома водорода (или протона), то говорят о прототропной таутомерии. Особенна распространена триадная прототропная таутомерия, которая протекает по общей схеме:



где А, В и С — некоторые поливалентные атомы. Важными представителями триадной прототропной таутомерии являются [2]: кето-енольная, нитро-изонитро, нитрозо-изонитрозо, лактим-лактамная, кетимид-энаминная, азо-гидразо и др.

Разработан алгебраический метод записи органических молекул в виде квадратных симметричных матриц, диагональными элементами которых являются порядковые номера входящих в молекулу химических элементов, недиагональными элементами — кратность образованных ими связей (ПНС-матрицы) [3, 4]. Матричная запись вышеприведенной схемы триадной прототропной таутомерии в рамках нашего подхода имеет вид:

$$\begin{array}{c}
 \left[\begin{array}{cccc}
 1 & 1 & 0 & 0 \\
 1 & Z_A & 1 & 0 \\
 0 & 1 & Z_B & 2 \\
 0 & 0 & 2 & Z_C
 \end{array} \right] \xrightarrow{\hspace{1cm}} \left[\begin{array}{cccc}
 Z_A & 2 & 0 & 0 \\
 2 & Z_B & 1 & 0 \\
 0 & 1 & Z_C & 1 \\
 0 & 0 & 1 & 1
 \end{array} \right] \\
 (I) \qquad \qquad \qquad (II)
 \end{array}$$

В матрице (I) первый столбец начинается цифрой «1», означающей порядковый номер водорода; вторая цифра «1» означает ординарную связь атома водорода с атомом А; две следующие цифры «0» означают, что водород не связан с атомами В и С. Второй столбец начинается цифрой «1», указывающей на ординарную связь между водородом и атомом А; далее следует Z_A — порядковый номер атома А; далее стоит цифра «1», указывающая, что атом А связан с атомом В ординарной связью; столбец заканчивается цифрой «0», фиксирующей, что атом А не связан с атомом С. Аналогично построены и другие столбцы матриц.

УДК 547.918:547.926

М. Д. АЛАНИЯ

ЦИКЛОГАЛЕГИНОЗИД А ИЗ *ASTRAGALUS FALCATUS LAM.*

Из спиртно-водочного экстракта надземной части *Astragalus falcatus* Lam. сем. Fabaceae L. (*Laguminosae L.*), произрастающего на территории Грузинской ССР, выделено вещество тритерпеновой природы, состава $C_{37}H_{60}O_{10}$, т. пл. 224—226° (из смеси хлороформ—метанол, 1 : 1), $[\alpha]_D^{24} +40 \pm 2^\circ$ (с 1,0; пиридин); $\nu_{\text{KBr}}^{\text{max}}$, см⁻¹: 3045 (CH_2 циклопропанового кольца), 1755, 1245 (сложноэфирная группа); ПМР (C_5D_5N , м. д.): 0,39 (1 H при C—19, д, $^2J=4$ Гц); 0, 86 (3H, с, CH_3), 1,11 (3H, с, CH_3), 1,15 (3H, с, CH_3), 1,21 (3H, с, CH_3), 1,37 (3H, с, CH_3), 1,52 (3H, с, CH_3), 1,52 (3H, с, CH_3), 1,63 (3H, с, CH_3), 1,97 (3H, с, CH_2 —COO), 4,68 (2H, H—1', д, $^3J \approx 8$ Гц и H—16, м.), 5,41 (1H, т, $^3J \approx 15$ Гц, H—2'). Вещество это метанольным раствором разбавленных кислот расщепляется на агликон, состава $C_{30}H_{50}O_5$ с т. пл. 195—196° (из метанола), $[\alpha]_D^{22} +29 \pm 2^\circ$ (с 1,2; метанол), который идентифицировали как циклогалегигенин [1]. В углеводной части гидролизата найдена D—ксилоза. Продукт омыления гликозида отождествляли с циклогалегинозидом В [2].

На основании полученных результатов вещество-1 охарактеризовано, как циклогалегигенин-3-0- β -D-(2'-0-ацетил)-ксилопиранозид (циклогалегинозид А), выделенный нами ранее из *Astragalus galeginosus* L. [2].

Институт фармакохимии им. И. Г. Кутателадзе
АН ГССР, Тбилиси

Поступило 26.12.1985

მ. ალანია

ციკლოგალეგინოზიდ A-ს მიღება *Astragalus falcatus* Lam-დან

რ ე ზ ი უ მ ე

საქართველოში მოზარდი ნამგალნაყოფა ასტრაგალუსიდან — *Astragalus falcatus* lam. გამოყოფილია ტრიტერპენული საპონინების ბუნების ნივთიერება, რომელიც იღენტიფიცირებულია როგორც ციკლოარტანული გლიკზიდი — ციკლოგალეგინოზიდ A სტრუქტურით: ციკლოგალეგინ-3-0- β -(2'-0-აცეტილ)-ქსილოპირანოზიდი.

CYCLOGALEGINOSIDE A FROM *ASTRAGALUS FALCATUS LAM.*

Summary

Cycloartan glycoside $C_{37}H_{60}O_{10}$, $T_m=224-226^\circ C$ (from dichloroform-methanol mixture, 1:1), $[\alpha]_D^{24}+40\pm2^\circ$ (with 1,0; pyridine) has been extracted from *Astragalus falcatus* growing in the Georgian SSR. On the base of analysis data the obtained glycoside has been characterized as cyclogalegigenine-3-O- β -D-(2'-O-acetyl)-xylopyranoside.

ლიტერატურა — REFERENCES

1. Алания М. Д., Исаев М. И., Горовиц М. Б., Абдуллаев Н. Д., Кемертелидзе Э. П., Абубакиров Н. К. Химия природ. соедин., 1983, № 3, 332.
2. Алания М. Д., Исаев М. И., Горовиц М. Б., Абдуллаев Н. Д., Кемертелидзе Э. П., Абубакиров Н. К., Химия природ. соедин., 1984, № 4, 477.

УДК 541.128.4

М. К. АБУЛАДЗЕ, Г. С. БЕЗАРАШВИЛИ, З. Г. ДЗОЦЕНИДЗЕ,
Д. Н. ЛОРДКИПАНИДЗЕ, В. Г. МАМАГУЛАШВИЛИ

ГЕТЕРОГЕННОЕ ИНГИБИРОВАНИЕ ПЛАМЕНИ ВОДОРОДА

Воздействие твердых частиц порошковых составов, как огнетушащих агентов, на процесс горения водорода («горючего будущего») до сегодняшнего дня остается крайне малоизученным (см., например, [1]). Между тем, новые запросы ряда отраслей народного хозяйства уже давно ставят на повестку дня вопрос о проведении систематических научных исследований в этом направлении.

В данной работе методом «вертикальной трубы» [2] изучено давление распространения ламинарного кинетического пламени в бедных водородно-воздушных смесях при атмосферном давлении частицами CaCO_3 (эта соль является составным компонентом огнетушащего порошка «Novo-Troxin-SV» (ФРГ) [3]). Установлены критические (предельные) массовые концентрации твердых частиц в газовой фазе при различном процентном составе исходной реакционной

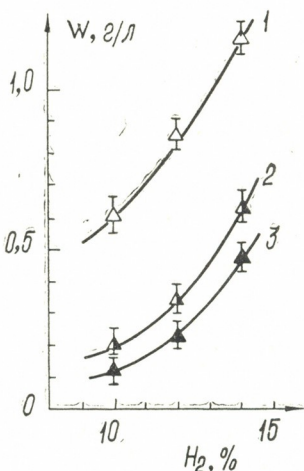


Рис. 1. Зависимость предельной массовой концентрации порошка CaCO_3 в газовой фазе от процентного содержания водорода в исходной смеси при различных дисперсностях твердых частиц (в m^2/kg): 1 — 99; 2 — 43; 3 — 50.

смеси и различных дисперсностях порошка. Полученные результаты представлены на рис. 1.

Зависимость предельной концентрации порошка от дисперсности его частиц (при заданном % H_2) в данном случае имеет экстремальный характер, проходит через минимум. Как показали микроскопические исследования, это можно объяснить агломерацией высокодис-

персных частиц в более крупные агрегаты, что приводит к снижению эффективности их ингибирующего действия.

На основе проведенных нами теоретических расчетов с помощью формулы Стокса можно заключить, что в зоне горения водорода первоначальная скорость твердых частиц заметно меняется. С учетом этого обстоятельства были рассчитаны кондуктивный разогрев и степень «испарения» частиц в пламени. Оказалось, что повышение температуры твердой фазы в условиях данного эксперимента не превышает $200 \pm 300^\circ$, что является весьма малой величиной для того, чтобы частицы CaCO_3 могли разлагаться в сколько-нибудь значительном количестве. Это доказывается и термогравиметрическими исследованиями.

Полученные результаты показывают, что подавление процесса горения в данном случае обусловлено гетерогенными, а не гомогенными факторами. Оценочные расчеты величин тепловых потоков, а также скоростей гетерогенной гибели активных центров реакции горения на поверхности твердых частиц позволяют сделать заключение о первостепенном значении охлаждения пламени водорода при ингибировании его частицами порошков неорганических солей. Такой же результат получен нами и при моделировании данного процесса на ЭВМ.

Тбилисский государственный университет

Поступило 16.01.1986

ა. აბულაძე, გ. ბეზარაშვილი, ჟ. ძოთსენიძე, დ. ლორქიპანიძე,
გ. მამაგულაშვილი

მულგადის ალის პეტერგანული ინიციატივა

რეზიუმე

„ვერტიკალური მილის“ მეთოდით შესწავლილია წყალბადისა და ჰაერის ღარიბ ნარევებში ალის გავრცელების ჩახშობა კალციუმის კარბონატის ნაწილაკებით. თეორიულად შეფასებულია მყარ ნაწილაკთა კონდუქტიური გახურება, აგრეთვე მათი თერმული დაშლისა და ალის გაცივების ხარისხები. გამოვლათა შედეგები ცხადყოფენ, რომ მოცემულ შემთხვევაში ინპიტირების ეფექტი ძირითადად გაპირობებულია თერმული და არა ქიმიური ფაქტორებით.

M. K. ABULADZE, G. S. BEZARASHVILI, Z. G. DZOTSENIDZE,
D. N. LORDKIPANIDZE, V. G. MAMAGULASHVILI

HETEROGENEOUS INHIBITION OF HYDROGEN FLAME

S u m m a r y

The effect of powdered calcium carbonate particles on the flame propagation in poor hydrogen-air mixtures under atmospheric pressure has been studied by the “vertical tube” method. The heating¹ up of the particles, the rate of heterogeneous decomposition of the reaction active centres as well as the degree of combustion zone cooling are calculated. The obtained results show that heterogeneous inhibition of the poor hydrogen flame is mainly caused by thermal rather than chemical factors.



1. Mitani T. Combustion and Flame, 1983, v. 50, № 2, p. 177.
 2. Баратов А. Н., Вогман Л. П., Кобзарь В. Н., Азатян В. В., Мусс-ридзе М. Д., Дзоценидзе З. Г., Петвиашвили Д. И. Горючесть веществ и химические средства пожаротушения. Сб. № 2, 1974, с. 4.
 3. Баратов А. Н., Иванов Е. Н. Пожаротушение на предприятиях химической и нефтеперерабатывающей промышленности. М.: Химия, 1979, с. 112.
-

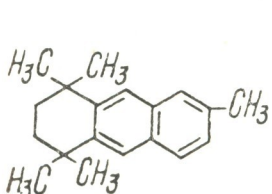
УДК 547.6:547.672:547.68

Д. Д. ГВЕРДЦИЕЛИ, Ш. Ш. БАРАБАДЗЕ

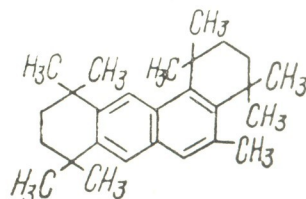
ЦИКЛОАЛКИЛИРОВАНИЕ 2-МЕТИЛНАФТАЛИНА 2,5-ДИХЛОР-2,5-ДИМЕТИЛГЕКСАНОМ

Полициклические гидроароматические углеводороды являются основными компонентами высококипящих фракций нефти, поэтому синтез и изучение физико-химических свойств их индивидуальных соединений имеет научное и практическое значение [1].

В данной работе изучена возможность получения полициклических гидроароматических углеводородов путем циклоалкилирования 2-метилнафталина с 2,5-дихлор-2,5-диметилгексаном в присутствии безводного хлористого алюминия. Таким путем впервые были синтезированы гидроароматические углеводороды: 1,1,4,4,7-пентаметил-1,2,3,4-тетрагидроантрацен (I) и 1,1,4,4,5,8,8,11,11- nonаметил-1,2,3,4,8,9,10,11-октагидробенз-[a]-антрацен (II).



(I)



(II)

Исходный продукт-2,5-дихлор-2,5-диметилгексан (III) был получен из 2,5-диметилгексан-2,5-диола по методикам [2—4].

Конденсацией (III) с 2-метилнафталином в присутствии безводного хлористого алюминия получен жидкий маслообразный конденсат, из которого выделены две фракции: с т. кип. 137—150°/1,5—2 мм и 150—175°/2 мм. Первую из них растворяли в петролейном эфире и хроматографировали на колонке Al_2O_3 (II степени активности по Брокману). После удаления растворителя и вторичной перегонки получено вещество с т. кип. 142—144°/2 мм. Полученный продукт подвергали анализу методом ГЖХ, УФ- и ИК-спектроскопии. ГЖХ анализ проводили на хроматографе «Цвет-102», колонка 6 м × 3 мм, жидккая фаза — $\text{LiCl}-5\%$ на Хромосорбе W, газ-носитель — водород, температура колонки 100—300° (10°/мин), температура испарителя 380°. Хроматограмма вышеуказанного продукта содержит один пик. По данным элементного анализа, по молекулярной массе и молекулярной рефракции соединение с т. кип. 142—144°/2 мм отвечает составу $\text{C}_{19}\text{H}_{24}$.

Вторая фракция с т. кип. 150—175°/2 мм после непродолжительного стояния закристаллизовалась. Продукт растворяли в смеси бензол-петролейный эфир 1:5 и подвергали хроматографической очистке на колонке с окисью алюминия. Перекристаллизацией из смеси спирт-бензол (3:1) выделено вещество с т. пл. 272—273°, которое по данным

элементного анализа и по молекулярной массе отвечает составу $C_{27}H_{38}$.

Строение полученных соединений устанавливалось по ультрафиолетовым и инфракрасным спектрам поглощения.

УФ-спектры синтезированных соединений имеют вид поглощения, характерный для полизамещенных производных нафталина со значительным батохромным сдвигом. В ИК-спектрах поглощения наблюдаются все полосы поглощения, характерные для валентных и деформационных колебаний ароматического ядра, метильных и метиленовых групп.

Получение соединений (I) и (II). Смесь 7,6 г 2-метилнафталина, 11 г 2,5-дихлор-2,5-диметилгексана, 25 мл петролейного эфира (с температурой кипения 80—90°) предварительно подогревали до 30—40°. Охлаждали и при комнатной температуре небольшими порциями при перемешивании приблизительно в продолжение 0,5 ч добавляли 1,2 г безводного хлористого алюминия. Реакция начинается выделением HCl. При этой же температуре смесь перемешивали в продолжение 4 ч и оставляли на ночь. На другой день реакционную смесь нагревали до 80—85° в продолжение 5 ч, охлаждали, разлагали подкисленной водой и органический слой отделяли. Продукт из водного слоя экстрагировали эфиром. Объединенные вытяжки промывали водой, высушивали над Na_2SO_4 и растворитель отгоняли. Конденсат в количестве 8,5 г, который представляет собой густую массу темно-коричневого цвета, перегоняли под вакуумом. После очистки на колонке с Al_2O_3 и вторичной перегонки получено 1,8 г (I) (выход 13,3%), т. кип. 142—144°/2 мм, n_D^{20} 1,5800. Найдено, %: C 90,13, 90,30; H 10,00, 9,66; M 256. Молекулярная рефракция 80,40. $C_{19}H_{24}$. Вычислено, %: C 90,47; H 9,53. M 252. Молекулярная рефракция 81,01.

Соединение II выделено из второй фракции в количестве 3,2 г (выход 24%). Найдено, %: 89,30, 89,44; H 10,60, 10,52; M 350. $C_{27}H_{38}$. Вычислено, %: C 89,50; H 10,50. M 362.

Институт физической и органической химии
им. П. Г. Меликишвили АН ГССР

Поступило 15.07.1985

დ. გვერდიშვილი, შ. ბარაბაძე

2-ეთოლნაფთალინის ციკლოალკილირება 2,5-დიქლორ-2,5-დიალკილ-1,1,4,4,7-პენტამეთილ-1,2,3,4,8,9,10,11-ოქტაჰიდროანტრაცენი

რ ე ზ ი უ ბ ე

შესწავლით 2-მეთილნაფთალინის ციკლოალკილირება 2,5-დიქლორ-2,5-დიმეთილჰექსანით უწყლო ქლორიანი ალუმინის თანაობისას. მიღებულია და შესწავლილი ახალი პიდროანომატული ნაერთები: 1,1,4,4,7-პენტამეთილ-1,2,3,4-ტეტრაჰიდროანტრაცენი და 1,1,4,4,5,8,8,11,11-ნონამეთილ-1,2,3,4,8,9,10,11-ოქტაჰიდროანტრაცენი.

D. D. GVERDTSITELI, Sh. Sh. BARABADZE

CYCLOALKYLATION OF 2-METHYLNAPHTHALENE BY 2.5-DICHLORO-2.5-DIMETHYLHEXANE

S u m m a r y

Cycloalkylation of 2-methylnaphthalene by 2.5-dichloro-2.5-dimethylhexane in the presence of anhydrous aluminium chloride has been studied. Two substances have been separated and characterized: 1,1,4,4,7-pentamethyl-1,2,3,4-tetrahydroanthracene (yield 13.3%; $T_b = 142—144^\circ C/2\text{mm}$)



and 1,1,4,4,5,8,8,11,11-nonamethyl-1,2,3,4,8,9,10,11-octahydrobenzo-[α]-anthracene (yield 24%, $T_b = 272-273^\circ\text{C}$ (from alcohol—benzol). The composition of the resulting substances has been established by the UV-and IR-absorbtion spectra.

ЛІТЕРАТУРА — REFERENCES

1. Петров Ал. А. Углеводороды нефти, М.: Наука, 1984, 149.
2. Bruson H. A., Kroeger I. W., J. Am. Chem. Soc. 1940, 62, 36.
3. Захарова А. И., Ильина Г. Д., ЖОХ, 1954, 24, 2144.
4. Гвердцители И. М., Микадзе Ш. Г. ДАН СССР, 1953, 83, 361.

К СВЕДЕНИЮ АВТОРОВ

1. В журнале «Известия АН Грузинской ССР, серия химическая» публикуются оригинальные статьи и краткие сообщения, содержащие результаты исследований теоретического и экспериментального характера по основным направлениям современной химии и технологии, а также обзорные статьи, написанные по заданию редакционной коллегии.

Периодически публикуется краткая хроника о конференциях, совещаниях, семинарах и других научно-организационных мероприятиях, проводимых в республике.

2. Объем статьи, включая таблицы, рисунки (3 рисунок приравниваются к одной странице), подписи к рисункам, список использованной литературы, резюме на грузинском и английском языках и реферат, не должен превышать 12 страниц машинописного текста, отпечатанного через два интервала. С левой стороны оставляются поля шириной 3—5 см.

3. Объем кратких сообщений не должен превышать 4 страницы машинописного текста (включая список использованной литературы и краткое резюме). Сообщения могут быть иллюстрированы 1—2 рисунками.

Резюме на английском и грузинском языках, список использованной литературы, таблицы и подписи к рисункам исполняются на отдельных листах.

Резюме и реферат не должны содержать без пояснения термины и формулы, смысл которых можно понять только из текста статьи.

4. Статьи (краткие сообщения) представляются в двух экземплярах с направлением учреждений, решением Ученого совета (кафедры, отдела, лаборатории) об их публикации, с заключением экспертной комиссии и авторскими справками.

В начале статьи (слева вверху) пишется индекс УДК, справа вверху указывается раздел журнала, в котором должна быть опубликована статья, затем следуют инициалы и фамилии авторов, заглавие и текст статьи. В конце текста с левой стороны указывается полное название учреждения, в котором выполнена работа. Статья должна быть подписана всеми авторами с указанием на отдельном листе их адресов и телефонов.

5. Изложению экспериментального материала должно предшествовать краткое введение, излагающее цель работы. Далее должно быть приведено описание и обсуждение полученных результатов и краткое заключение. Таблицы, приведенные в тексте статьи, следует озаглавливать.

6. Формулы и буквенные обозначения должны быть вписаны четко и аккуратно от руки чернилами или тушью. Особое внимание следует обратить на тщательное изображение индексов и показателей степеней. Во избежание ошибок следует делать ясное различие между прописными и строчными буквами латинского алфавита: заглавные буквы подчеркнуть снизу двумя черточками, а строчные — сверху; греческие буквы обвести красным карандашом.

7. Рисунки должны быть исполнены на белой бумаге или на кальке тушью, с минимальным количеством обозначений. В тексте следует обязательно указать место для рисунков, вынося номер рисунка на поля. На обороте каждого рисунка карандашом должны быть написаны фамилии авторов, заглавие статьи, к которой относится рисунок. Рисунки и таблицы должны быть представлены в двух экземплярах (в надписанном конверте).

8. Цитируемая литература приводится на отдельной странице в конце статьи. Все ссылки даются в оригинальной транскрипции. Иностранные фамилии в статье даются в транскрипции основного текста.

Цитируемая литература приводится в следующем порядке:

а) для **журнальных статей**: фамилии и инициалы всех авторов, название журнала, год, том, номер (серия), страница;

б) для **книг**: фамилии и инициалы авторов, точное название книги, место издания, издательство, год, том (подчеркнуть) и страница.

При ссылке на патентную литературу указываются фамилия автора, наименование охранных документов, его номер, название страны (в скобках), сведения об изданнии, в котором опубликован документ.

Ссылки на неопубликованные работы (кроме диссертаций) не допускаются.

Использованная литература должна быть расположена в порядке последовательности цитирования.

9. Обозначение и сокращение физических величин должны соответствовать Международной системе единиц «СИ». Кроме них можно использовать лишь единицы, допускаемые к применению наравне с единицами СИ.

10. К статье должен был приложен реферат в двух экземплярах, составленный по форме ВИНТИИ.

11. Рукописи, не отвечающие настоящим правилам, редакцией не принимаются.

12. В журнале статьи публикуются в порядке поступления в редакцию. В случае возвращения автору статьи для доработки текста датой представления считается день получения редакцией окончательного текста. В одном номере журнала может быть опубликована лишь одна статья автора.

13. Редакция посыпает автору одну корректуру статьи. В авторской корректуре исправлению подлежат только ошибки типографии, никакие дополнения или изменения первоначального текста не допускаются.

Редакция бесплатно выдает авторам 12 отдельных оттисков статьи.

693/9

Цена 90 коп.

Индекс

76203

СОВЕТСКАЯ
ЗАГСОМОСТЬ

